

2. 植物代謝に関する試験成績

(1) ジエトフェンカルブのきゅうりにおける代謝試験

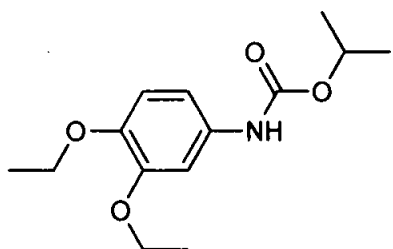
(資料 II-1)

試験機関：住友化学工業株式会社

報告書作成年：1988年

供試標識化合物：[フェニル-¹⁴C]ジエトフェンカルブ

構造式：



* : 標識位置

化学名：イソプロピル-3,4-ジエトキシカルバニラート

比放射能：

放射化学的純度：

供試植物：きゅうり（品種：相模半白）（温室栽培）

方法：

処理液の調製：フェニル標識体のメタノール溶液を調製し、処理液とした。

処理方法：播種 50 日後のきゅうりの果実の表面にマイクロシリンジを用いて処理液を一様に塗布した。処理量は 250 µg ai/果実¹⁾であった。

採取時期：処理 3、7、10 および 14 日後に果実を採取した。

分析方法：採取した果実の抽出および分析方法のスキームを図 1 に示した。

1) 申請者注：処理量について

ジエトフェンカルブのきゅうりにおける単回施用量は 25 g ai/10 a [グッター水和剤およびスミブレンド水和剤 (12.5%)、1500 倍、300L/10 a、6 回、散布]である。本試験で用いた果実処理における処理量 28 g ai/10 a (果実を仮に直径 2.5cm、長さ 10 cm の円柱と見立てて表面積を 88 cm²とした場合) は単回施用量と同等である。

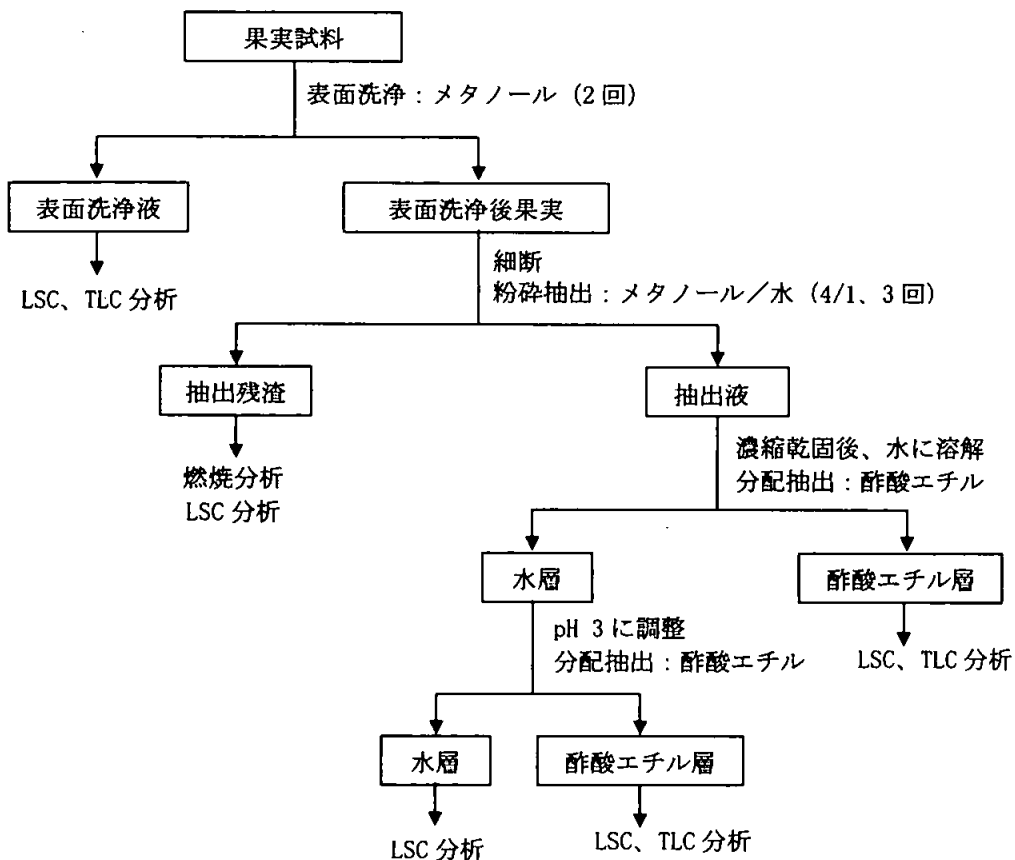


図1 きゅうり果実の抽出および分析スキーム

ジエトフェンカルブおよびその代謝物は、標品との TLC コクロマトグラフィーにより同定・定量した。

ベンゼン/ジエチルエーテル (7/3) の展開溶媒系で TLC の原点に留まった抱合体代謝物は、単離後、セルラーゼ (pH 4.5, 37°C, 12 時間) で加水分解し、遊離したアグリコンを酢酸エチルで抽出して標品と TLC コクロマトグラフィーを行うことにより抱合体の同定を行った。

結果：

¹⁴C 分布：きゅうり果実の各抽出画分における放射能分布および代謝物分布を表1に示した。

表面洗浄液、抽出液および抽出残渣中の放射能は、2 連の平均でそれぞれ処理量に対して、68.7~75.2% (69.8~81.8%TRR, TRR : 総残留放射能)、14.3~24.2%

(15.6~24.4%TRR) および 2.5~5.7% (2.7~5.8%TRR) であった。

代謝：きゅうり果実における主要残留物は未変化のジエトフェンカルブであり、処理量に対して 70.9~78.1% (76.0~85.0%TRR) 残存した。代謝物として、3-OH-DFC およびその抱合体、4-OH-DFC の抱合体、DFC-COOH の抱合体、DFC-CH₂OH およびその抱合体、および DPO が検出されたが、いずれの代謝物も処理量の 2.1% (2.1%TRR) 以下であった。これらの抱合体はセルラーゼによって加水分解されるため、グルコシド抱合体であると考えられた。DPO は極性代謝物の酵素処理 (pH 4.5) 中に、またシリカリゲル薄層板上のような酸性条件下で、分子内環化反応により DFC-COOH から生成すると考えられた。他にセルラーゼで加水分解されない抱合体代謝物（表 1 中に「原点」として記載）が処理量に対して 1.9~5.8% (2.1~5.8%TRR) 存在した。

推定代謝経路：ジエトフェンカルブのきゅうりにおける推定代謝経路を図 2 に示した。

ジエトフェンカルブはきゅうり果実において、イソプロピルメチル基の水酸化とそれに続くカルボン酸への酸化、およびフェニル環の 3 あるいは 4 位の脱エチル化を経て代謝され、生成した代謝物はさらに糖との抱合反応を受けると考えられた。

表1 フェニル標識体を処理したきゅうり果実における代謝物分布

	処理 ^{14}C に対する割合 (%) (括弧内の数値は%TRR)			
	3	7	10	14
表面洗浄	74.5 (74.6)	68.7 (73.7)	69.0 (69.8)	75.2 (81.8)
ジエトフェンカルブ	74.0 (74.1)	68.4 (73.3)	68.6 (69.4)	74.8 (81.4)
DFC-COOH (抱合体)	<0.1 (<0.1)	<0.1 (<0.1)	ND	<0.1 (<0.1)
3-OH-DFC	0.1 (0.1)	ND	<0.1 (<0.1)	<0.1 (<0.1)
DPO *	<0.1 (<0.1)	0.1 (0.1)	0.1 (0.1)	<0.1 (<0.1)
TLC 原点	0.1 (0.1)	0.1 (0.1)	0.2 (0.2)	0.1 (0.1)
その他	0.3 (0.3)	0.2 (0.2)	0.2 (0.2)	0.3 (0.3)
抽出液	21.1 (21.1)	20.4 (21.9)	24.2 (24.4)	14.3 (15.6)
ジエトフェンカルブ	3.8 (3.8)	2.5 (2.7)	7.3 (7.4)	3.3 (3.6)
DFC-COOH (抱合体)	0.5 (0.5)	1.4 (1.5)	1.4 (1.4)	1.1 (1.1)
4-OH-DFC (抱合体)	0.8 (0.8)	0.8 (0.9)	0.5 (0.5)	0.6 (0.7)
3-OH-DFC (抱合体)	1.0 (1.0)	1.9 (2.0)	2.1 (2.1)	1.4 (1.5)
DPO *	0.2 (0.2)	0.1 (0.1)	0.1 (0.1)	ND
DFC-CH ₂ OH	0.1 (0.1)	0.2 (0.2)	0.2 (0.2)	<0.1 (<0.1)
DFC-CH ₂ OH (抱合体)	1.0 (1.0)	1.0 (1.1)	1.0 (1.0)	0.7 (0.8)
原点	5.8 (5.8)	4.5 (4.8)	3.8 (3.8)	1.9 (2.1)
その他	8.0 (8.0)	8.2 (8.8)	7.9 (8.0)	5.4 (5.9)
抽出残渣	4.3 (4.3)	4.2 (4.5)	5.7 (5.8)	2.5 (2.7)
合計	99.8 (100.0)	93.3 (100.0)	98.8 (100.0)	91.9 (100.0)

数値は2連の平均値(申請者が計算)

括弧内の数値(%TRR)は、処理量に対する割合をもとに申請者が計算した。

ND: 検出せず。

a:DPOは、分析操作中におけるDFC-COOHの分子内環化反応により生成したと考えられた。

図2 ジエトフェンカルブのきゅうりにおける推定代謝経路

(2) ジエトフェンカルブのきゅうりおよびぶどうにおける代謝試験

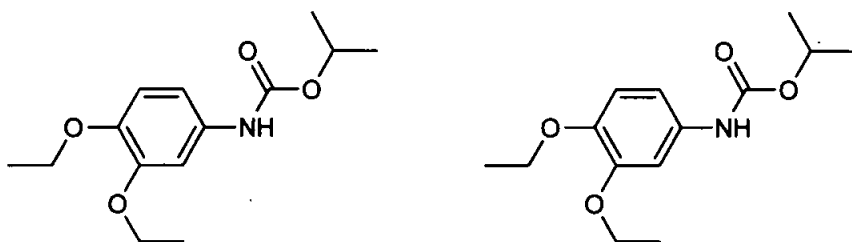
(資料 II-2)

試験機関：住友化学工業株式会社

報告書作成年：1986年

供試標識化合物：[フェニル-¹⁴C]ジエトフェンカルブ
[イソプロピル-¹⁴C]ジエトフェンカルブ

構造式：



*：標識位置

化学名：イソプロピル-3,4-ジエトキシカルバニラート

	フェニル標識体	イソプロピル標識体
標識位置		
比放射能		
放射化学的純度		

供試植物：きゅうり（品種：霜不知地道）

ぶどう（品種：ネオマスカット）

両植物とも、処理前は屋外で栽培し、処理後は温室で栽培した。

方法：

処理液の調製：各標識体のメタノール／水（1/1）溶液を調製し、処理液とした。

処理方法：

きゅうり；果実形成期の葉の表面にマイクロピペットを用いて、処理液を苗1本あたり葉2枚に1250 µg ai/葉の割合で塗布した。

ぶどう；7~8葉期の葉の表面にマイクロシリンジを用いて、処理液を苗1本あたり葉2枚に125 µg ai/葉の割合で塗布した。

採取時期：以下の時点で植物の地上部分を切断し、処理葉、処理葉以外の地上部および果実に分け、分析試料とした。

きゅうり；処理 3、7、14、21 および 30 日後

ぶどう； 処理 3、7、14、21、30、45、60 および 90 日後

分析方法：採取した処理葉の抽出および分析方法のスキームを図 1 に示した。

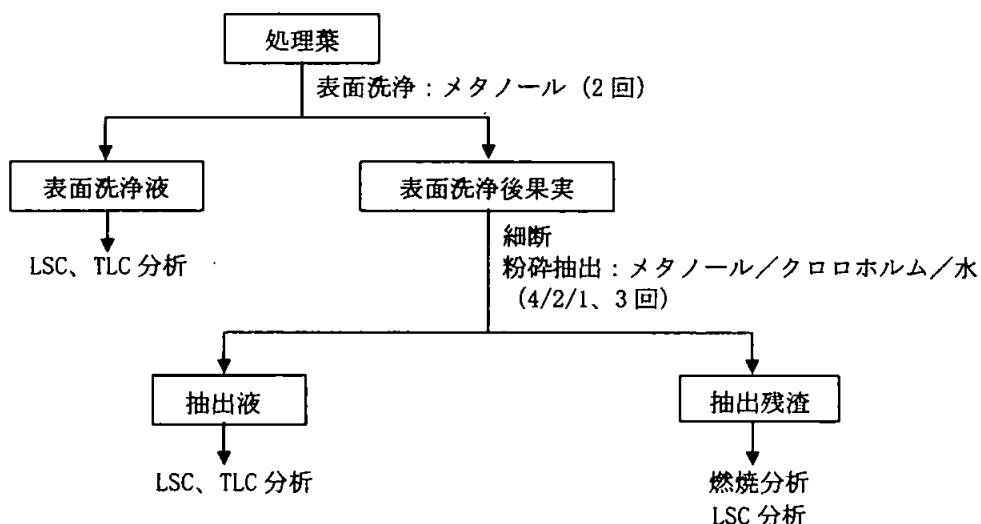


図 1 きゅうりおよびぶどう処理葉の抽出および分析スキーム

処理葉以外の地上部および果実は、表面洗浄以外は処理葉と同様に抽出した。

ジエトフェンカルブおよびその代謝物は、標品との TLC コクロマトグラフィーにより同定・定量した。

ベンゼン／ジエチルエーテル (7/3) の展開溶媒系で TLC の原点に留まる抱合体代謝物は、単離後、セルラーゼ (pH 4.5、12 時間) で加水分解し、遊離したアグリコンを酢酸エチルで抽出して標品と TLC コクロマトグラフィーを行うことにより抱合体の同定を行った。

結果：

吸収・移行：きゅうりおよびぶどうにおける放射能分布をそれぞれ表 1～2 および表 3～4 に示した。

きゅうりにおいては処理した ^{14}C は処理葉表面から速やかに減少するとともに、処理葉内部に浸透した ^{14}C は経時的に増加した。一方、ぶどうから回収された ^{14}C のほとんどは処理葉表面に存在した。

処理30日後のきゅうり処理葉における¹⁴C量は、表面洗浄液、抽出液および抽出残渣中でそれぞれ処理量に対して12.4～13.6、26.0～28.9および6.8～10.3% (22.2～27.4、51.8～52.4および13.7～18.5%TRR) (%TRRは残留放射能量に対する割合を示す) であった。処理30日後のきゅうりにおいて、処理葉以外の地上部から処理量に対して2.2～2.7%、果実に0.5～2.0%の¹⁴Cが検出された。

処理90日後のぶどう処理葉における¹⁴C量は、表面洗浄液、抽出液および抽出残渣中でそれぞれ処理量に対して21.1～28.0、5.7～6.0および2.0～3.6% (67.6～76.5、15.6～19.2および5.5～11.5%TRR) であった。処理葉から他の植物部位へ移行した¹⁴Cは少量であり、処理90日後のぶどうにおいて、処理葉以外の地上部から検出された¹⁴Cは処理量に対して0.5～0.9%であった。

代謝： 処理葉における主要残留物は未変化のジエトフェンカルブであり、処理葉から経時的に減少し、きゅうり（処理30日後）およびぶどう（処理90日後）において、それぞれ処理量に対して9.9～13.0% (17.8～26.2%TRR)、および19.2～26.0% (61.6～71.0%TRR) 残存しており、ジエトフェンカルブの消失半減期は、きゅうりおよびぶどうでそれぞれ、約9日および約34日であった。

きゅうり処理葉における主要代謝物は、DFC-COOH抱合体および3-OH-DFC抱合体であり、処理30日後に最高値を示し、それぞれ処理量の7.6～9.1% (15.3～16.3%TRR) および処理量の6.4～7.7% (11.4～15.5%TRR) 生成した。その他の代謝物としては、3-OH-DFC、4-OH-DFC抱合体およびDPOが検出されたが、いずれも処理量の2.2% (4.0%TRR) 以下であった。

ぶどう処理葉における代謝物は、DFC-COOH抱合体、3-OH-DFC抱合体、およびDPOであったが、いずれも処理量の1.7% (4.2%TRR) 以下であった。

これらの抱合体はセルラーゼによって加水分解されるため、グルコシド抱合体であると考えられた。DPOは酸性条件下でDFC-COOHの分子内環化反応により生成すると考えられた。他にセルラーゼで加水分解されない抱合体代謝物（表1～4中に「原点」として記載）が存在したが、別途行ったin vitro実験の結果から、システインあるいはグルタチオン抱合体であることが示唆された。

きゅうりにおいて、ジエトフェンカルブは処理部以外の地上部および果実に少量存在したが、移行した放射能の主要成分は抱合体代謝物と考えられた。

推定代謝経路：ジエトフェンカルブのきゅうりおよびぶどうにおける推定代謝経路を図2に示した。

ジエトフェンカルブはきゅうりおよびぶどうにおいて、イソプロピルメチル基の水酸化とそれに続くカルボン酸への酸化、およびフェニル環の3あるいは4位の脱エチル化を経て代謝され、生成した代謝物はさらに糖との抱合反応を受けると考えられた。

表1 きゅうりにおける放射能分布（フェニル標識体）

	処理 ^{14}C に対する割合 (%) (括弧内の数値は%TRR)				
	処理後日数				
	3	7	14	21	30
処理葉	78.0 (99.0)	77.9 (99.1)	65.3 (97.3)	58.7 (97.7)	51.6 (92.5)
表面洗浄	62.6 (79.4)	52.9 (67.3)	42.1 (62.7)	27.6 (45.9)	12.4 (22.2)
ジエトフェンカルブ ^a	56.6 (71.8)	49.7 (63.2)	37.6 (56.0)	22.8 (37.9)	7.9 (14.2)
DFC-COOH(抱合体)	0.6 (0.8)	0.6 (0.8)	1.0 (1.5)	1.2 (2.0)	1.3 (2.3)
4-OH-DFC(抱合体)	ND	ND	ND	ND	0.1 (0.2)
3-OH-DFC	0.2 (0.3)	0.1 (0.1)	0.2 (0.3)	0.1 (0.2)	<0.1 (<0.2)
3-OH-DFC(抱合体)	0.3 (0.4)	0.5 (0.6)	0.8 (1.2)	0.7 (1.2)	0.8 (1.4)
DPO ^a	1.2 (1.5)	0.3 (0.4)	0.2 (0.3)	0.2 (0.3)	0.1 (0.2)
原点	2.3 (2.9)	1.0 (1.3)	1.5 (2.2)	1.6 (2.7)	1.7 (3.0)
その他	1.4 (1.8)	0.7 (0.9)	0.8 (1.2)	1.0 (1.7)	0.5 (0.9)
抽出液	12.9 (16.4)	21.9 (27.9)	19.4 (28.9)	25.1 (41.8)	28.9 (51.8)
ジエトフェンカルブ ^a	4.5 (5.7)	11.3 (14.4)	5.6 (8.3)	5.7 (9.5)	2.0 (3.6)
DFC-COOH(抱合体)	2.3 (2.9)	2.6 (3.3)	3.7 (5.5)	5.9 (9.8)	7.8 (14.0)
4-OH-DFC(抱合体)	ND	ND	ND	ND	2.1 (3.8)
3-OH-DFC	0.1 (0.1)	0.1 (0.1)	0.1 (0.1)	0.1 (0.2)	0.1 (0.2)
3-OH-DFC(抱合体)	2.1 (2.7)	2.6 (3.3)	3.4 (5.1)	4.3 (7.2)	5.6 (10.0)
DPO ^a	0.2 (0.3)	0.1 (0.1)	0.1 (0.1)	0.2 (0.3)	0.1 (0.2)
原点	2.4 (3.0)	3.6 (4.6)	4.5 (6.7)	6.2 (10.3)	8.5 (15.2)
その他	1.3 (1.6)	1.6 (2.0)	2.0 (3.0)	2.7 (4.5)	2.7 (4.8)
抽出残渣	2.5 (3.2)	3.1 (3.9)	3.8 (5.7)	6.0 (10.0)	10.3 (18.5)
処理葉以外の地上部	0.7 (0.9)	0.5 (0.6)	1.7 (2.5)	1.0 (1.7)	2.2 (3.9)
抽出液	0.2 (0.3)	0.3 (0.4)	1.2 (1.8)	0.8 (1.3)	1.6 (2.9)
ジエトフェンカルブ ^a	0.1 (0.1)	0.1 (0.1)	0.2 (0.3)	0.2 (0.3)	0.1 (0.2)
その他	0.1 (0.1)	0.2 (0.3)	1.0 (1.5)	0.6 (1.0)	1.5 (2.7)
抽出残渣	0.5 (0.6)	0.2 (0.3)	0.5 (0.7)	0.2 (0.3)	0.6 (1.1)
果実	0.1 (0.1)	0.2 (0.3)	0.1 (0.1)	0.4 (0.7)	2.0 (3.6)
抽出液	0.1 (0.1)	0.2 (0.3)	<0.1 (<0.1)	0.4 (0.7)	1.6 (2.9)
ジエトフェンカルブ ^a	<0.1 (<0.1)	<0.1 (<0.1)	<0.1 (<0.1)	ND	ND
その他	<0.1 (<0.1)	0.2 (0.3)	<0.1 (<0.1)	0.4 (0.7)	1.6 (2.9)
抽出残渣	<0.1 (<0.1)	<0.1 (<0.1)	0.1 (0.1)	<0.1 (<0.2)	0.4 (0.7)
合計	78.8 (100.0)	78.6 (100.0)	67.1 (100.0)	60.1 (100.0)	55.8 (100.0)

ND: 検出せず

^a: DPO は、分析操作中における DFC-COOH の分子内環化反応により生成したと考えられた。

括弧内の数値 (%TRR : 残留放射能に対する割合) は、処理量に対する割合をもとに申請者が計算した。

表2 きゅうりにおける放射能分布（イソプロピル標識体）

	処理 ^{14}C に対する割合 (%) (括弧内の数値は%TRR)				
	処理後日数				
	3	7	14	21	30
処理葉	75.0 (98.8)	69.3 (98.4)	54.7 (98.0)	59.9 (97.7)	46.4 (93.5)
表面洗浄	53.9 (71.0)	44.6 (63.4)	32.7 (58.6)	32.8 (53.5)	13.6 (27.4)
ジエトフェンカルブ ^a	47.4 (62.5)	39.5 (56.1)	28.2 (50.5)	27.1 (44.2)	10.2 (20.6)
DFC-COOH(抱合体)	0.5 (0.7)	0.7 (1.0)	0.7 (1.3)	1.3 (2.1)	0.8 (1.6)
4-OH-DFC(抱合体)	ND	ND	ND	ND	0.1 (0.2)
3-OH-DFC	0.2 (0.3)	0.2 (0.3)	0.3 (0.5)	0.1 (0.2)	<0.1 (<0.2)
3-OH-DFC(抱合体)	0.5 (0.7)	0.7 (1.0)	0.7 (1.3)	1.1 (1.8)	0.7 (1.4)
DPO ^b	1.1 (1.4)	0.8 (1.1)	0.5 (0.9)	0.2 (0.3)	0.1 (0.2)
原点	2.1 (2.8)	1.5 (2.1)	1.1 (2.0)	1.7 (2.8)	1.2 (2.4)
その他	2.1 (2.8)	1.2 (1.7)	1.2 (2.2)	1.3 (2.1)	0.5 (1.0)
抽出液	18.9 (24.9)	20.6 (29.3)	17.7 (31.7)	20.8 (33.9)	26.0 (52.4)
ジエトフェンカルブ ^a	6.6 (8.7)	8.3 (11.8)	4.5 (8.1)	5.1 (8.3)	2.8 (5.6)
DFC-COOH(抱合体)	2.8 (3.7)	3.0 (4.3)	3.6 (6.5)	4.6 (7.5)	6.8 (13.7)
4-OH-DFC(抱合体)	ND	ND	ND	ND	0.7 (1.4)
3-OH-DFC	0.1 (0.1)	0.1 (0.1)	0.1 (0.2)	0.1 (0.2)	0.1 (0.2)
3-OH-DFC(抱合体)	3.4 (4.5)	2.9 (4.1)	3.9 (7.0)	3.7 (6.0)	7.0 (14.1)
DPO ^b	0.1 (0.1)	0.1 (0.1)	0.2 (0.4)	0.2 (0.3)	0.1 (0.2)
原点	3.6 (4.7)	4.5 (6.4)	3.5 (6.3)	5.4 (8.8)	6.2 (12.5)
その他	2.3 (3.0)	1.7 (2.4)	1.9 (3.4)	1.7 (2.8)	2.3 (4.6)
抽出残渣	2.2 (2.9)	4.1 (5.8)	4.3 (7.7)	6.3 (10.3)	6.8 (13.7)
処理葉以外の地上部	0.8 (1.1)	1.0 (1.4)	1.1 (2.0)	1.2 (2.0)	2.7 (5.4)
抽出液	0.6 (0.8)	0.7 (1.0)	0.8 (1.4)	0.9 (1.5)	2.0 (4.0)
ジエトフェンカルブ ^a	0.2 (0.3)	0.1 (0.1)	0.2 (0.4)	0.1 (0.2)	0.3 (0.6)
その他	0.4 (0.5)	0.6 (0.9)	0.6 (1.1)	0.8 (1.3)	1.7 (3.4)
抽出残渣	0.2 (0.3)	0.3 (0.4)	0.3 (0.5)	0.3 (0.5)	0.7 (1.4)
果実	0.1 (0.1)	0.1 (0.1)	<0.1 (<0.2)	0.2 (0.3)	0.5 (1.0)
抽出液	0.1 (0.1)	0.1 (0.1)	<0.1 (<0.2)	0.2 (0.3)	0.5 (1.0)
ジエトフェンカルブ ^a	<0.1 (<0.1)	<0.1 (<0.1)	<0.1 (<0.2)	ND	ND
その他	0.1 (0.1)	0.1 (0.1)	<0.1 (<0.2)	0.2 (0.3)	0.5 (1.0)
抽出残渣	<0.1 (<0.1)	<0.1 (<0.1)	<0.1 (<0.2)	<0.1 (<0.2)	<0.1 (<0.2)
合計	75.9 (100.0)	70.4 (100.0)	55.8 (100.0)	61.3 (100.0)	49.6 (100.0)

ND: 検出せず

^a: DPOは、分析操作中における DFC-COOH の分子内環化反応により生成したと考えられた。

括弧内の数値 (%TRR: 残留放射能に対する割合) は、処理量に対する割合をもとに申請者が計算した。

表3 ぶどうにおける放射能分布(フェニル標識体)

	処理 ¹⁴ Cに対する割合(%) (括弧内の数値は%TRR)							
	処理後日数							
	3	7	14	21	30	45	60	90
処理葉	91.7 (99.8)	86.3 (99.9)	73.2 (97.9)	69.8 (99.3)	61.5 (95.3)	41.6 (96.3)	36.7 (96.6)	30.7 (98.4)
表面洗浄	90.2 (98.2)	82.2 (95.1)	64.7 (86.5)	64.5 (91.7)	56.0 (86.8)	30.7 (71.1)	25.9 (68.2)	21.1 (67.6)
ジエトフェンカルブ ^a	88.7 (96.5)	80.4 (93.1)	63.4 (84.8)	63.0 (89.6)	54.9 (85.1)	28.1 (65.0)	23.4 (61.6)	18.9 (60.6)
DPO ^a	0.4 (0.4)	0.3 (0.3)	0.2 (0.3)	0.3 (0.4)	0.2 (0.3)	0.5 (1.2)	0.6 (1.6)	0.4 (1.3)
原点	0.4 (0.4)	0.2 (0.2)	0.6 (0.8)	0.7 (1.0)	0.5 (0.8)	1.1 (2.5)	1.1 (2.9)	1.0 (3.2)
その他	0.7 (0.8)	1.3 (1.5)	0.5 (0.7)	0.5 (0.7)	0.4 (0.6)	1.0 (2.3)	0.8 (2.1)	0.8 (2.6)
抽出液	1.3 (1.4)	3.2 (3.7)	6.6 (8.8)	4.0 (5.7)	4.2 (6.5)	7.3 (16.9)	7.6 (20.0)	6.0 (19.2)
ジエトフェンカルブ ^a	0.5 (0.5)	0.6 (0.7)	1.3 (1.7)	0.8 (1.1)	0.7 (1.1)	0.3 (0.7)	0.1 (0.3)	0.3 (1.0)
DFC-COOH(抱合体)	0.1 (0.1)	0.5 (0.6)	1.2 (1.6)	0.7 (1.0)	0.8 (1.2)	1.7 (3.9)	1.6 (4.2)	1.1 (3.5)
3-OH-DFC(抱合体)	<0.1 (<0.1)	0.1 (0.1)	0.4 (0.5)	0.2 (0.3)	0.2 (0.3)	0.4 (0.9)	0.4 (1.1)	0.3 (1.0)
原点	0.3 (0.3)	1.3 (1.5)	2.6 (3.5)	1.6 (2.3)	1.8 (2.8)	3.4 (7.9)	3.8 (10.0)	2.6 (8.3)
その他	0.4 (0.4)	0.7 (0.8)	1.1 (1.5)	0.7 (1.0)	0.7 (1.1)	1.5 (3.5)	1.7 (4.5)	1.7 (5.4)
抽出残渣	0.2 (0.2)	0.9 (1.0)	1.9 (2.5)	1.3 (1.8)	1.3 (2.0)	3.6 (8.3)	3.2 (8.4)	3.6 (11.5)
処理葉以外の地上部	0.2 (0.2)	0.1 (0.1)	1.6 (2.1)	0.5 (0.7)	3.0 (4.7)	1.6 (3.7)	1.3 (3.4)	0.5 (1.6)
抽出液	0.2 (0.2)	<0.1 (<0.1)	1.4 (1.9)	0.3 (0.4)	2.7 (4.2)	1.0 (2.3)	0.7 (1.8)	0.2 (0.6)
抽出残渣	<0.1 (<0.1)	0.1 (0.1)	0.2 (0.3)	0.2 (0.3)	0.3 (0.5)	0.6 (1.4)	0.6 (1.6)	0.3 (1.0)
合計	91.9 (100.0)	86.4 (100.0)	74.8 (100.0)	70.3 (100.0)	64.5 (100.0)	43.2 (100.0)	38.0 (100.0)	31.2 (100.0)

a : DPO は、分析操作中における DFC-COOH の分子内環化反応により生成したと考えられた。

括弧内の数値 (%TRR : 残留放射能に対する割合) は、処理量に対する割合をもとに申請者が計算した。

表4 ぶどうにおける放射能分布（イソプロピル標識体）

	処理 $^{\circ}\text{C}$ に対する割合 (%) (括弧内の数値は%TRR)						処理後日数
	3	7	14	21	30	45	
処理葉	96.5 (99.8)	88.2 (99.7)	79.3 (97.5)	64.6 (98.9)	64.5 (96.0)	45.5 (96.2)	40.6 (97.6) 35.7 (97.5)
表面洗浄	94.5 (97.7)	82.9 (93.7)	74.3 (91.4)	60.1 (92.0)	58.6 (87.2)	35.7 (75.5)	34.3 (82.5) 28.0 (76.5)
ジエフエンカルブ*	93.1 (96.3)	81.7 (92.3)	72.9 (89.7)	59.2 (90.7)	57.6 (85.7)	30.8 (65.1)	31.6 (76.0) 25.8 (70.5)
DPO*	0.4 (0.4)	0.4 (0.5)	0.4 (0.5)	0.2 (0.3)	0.2 (0.3)	1.6 (3.4)	0.9 (2.2) 0.6 (1.6)
原点	0.3 (0.3)	0.2 (0.2)	0.4 (0.5)	0.3 (0.5)	0.4 (0.6)	1.2 (2.5)	0.7 (1.7) 0.8 (2.2)
その他	0.7 (0.7)	0.6 (0.7)	0.6 (0.7)	0.4 (0.6)	0.4 (0.6)	2.1 (4.4)	1.1 (2.6) 0.8 (2.2)
抽出液	1.6 (1.7)	4.1 (4.6)	4.1 (5.0)	3.5 (5.4)	4.8 (7.1)	7.3 (15.4)	4.3 (10.3) 5.7 (15.6)
ジエフエンカルブ*	0.5 (0.5)	0.9 (1.0)	0.7 (0.9)	0.6 (0.9)	1.7 (2.5)	0.4 (0.8)	0.7 (1.7) 0.2 (0.5)
DFC-COOH(抱合体)	0.1 (0.1)	0.5 (0.6)	0.8 (1.0)	0.6 (0.9)	0.7 (1.0)	1.4 (3.0)	0.6 (1.4) 1.2 (3.3)
3-OH-DFC(抱合体)	<0.1 (<0.1)	0.1 (0.1)	0.3 (0.4)	0.2 (0.3)	0.1 (0.1)	0.4 (0.8)	0.2 (0.5) 0.4 (1.1)
原点	0.6 (0.6)	1.9 (2.1)	1.7 (2.1)	1.5 (2.3)	1.5 (2.2)	3.3 (7.0)	1.7 (4.1) 2.5 (6.8)
その他	0.4 (0.4)	0.7 (0.8)	0.6 (0.7)	0.6 (0.9)	0.8 (1.2)	1.8 (3.8)	1.1 (2.6) 1.4 (3.8)
抽出残渣	0.4 (0.4)	1.2 (1.4)	0.9 (1.1)	1.0 (1.5)	1.1 (1.6)	2.5 (5.3)	2.0 (4.8) 2.0 (5.5)
処理葉以外の地上部	0.2 (0.2)	0.3 (0.3)	2.0 (2.5)	0.7 (1.1)	2.7 (4.0)	1.8 (3.8)	1.0 (2.4) 0.9 (2.5)
抽出液	0.2 (0.2)	0.2 (0.2)	1.8 (2.2)	0.5 (0.8)	2.6 (3.9)	1.4 (3.0)	0.6 (1.4) 0.6 (1.6)
抽出残渣	<0.1 (<0.1)	0.1 (0.1)	0.2 (0.2)	0.2 (0.3)	0.1 (0.1)	0.4 (0.8)	0.4 (1.0) 0.3 (0.8)
合計	96.7 (100.0)	88.5 (100.0)	81.3 (100.0)	65.3 (100.0)	67.2 (100.0)	47.3 (100.0)	41.6 (100.0) 36.6 (100.0)

a : DPO は、分析操作中における DFC-COOH の分子内環化反応により生成したと考えられた。

括弧内の数値 (%TRR : 残留放射能に対する割合) は、処理量に対する割合をもとに申請者が計算した。

図2 ジエトフェンカルブのきゅうりおよびぶどうにおける推定代謝経路

(3) ジエトフェンカルブのぶどうにおける代謝試験

(資料 II-3)

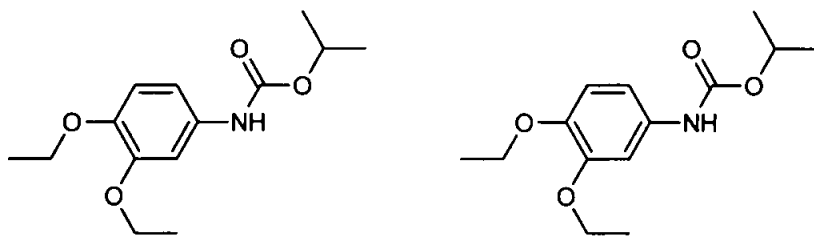
試験機関 : PTRL West, Inc.

[GLP 対応]

報告書作成年 : 2002 年

供試標識化合物 : [フェニル-¹⁴C]ジエトフェンカルブ
[イソプロピル-¹⁴C]ジエトフェンカルブ

構造式 :



* : 標識位置

化学名 : イソプロピル-3,4-ジエトキシカルバニラート

	フェニル標識体	イソプロピル標識体
標識位置		
比放射能		
放射化学的純度		

供試植物 : ぶどう (品種 : Perlette) (屋外栽培)

方法 :

処理液の調製 : 同位体希釆した各標識体と空製剤 (WP) をアセトニトリル/メタノール中で混合した。溶媒を除去した後、水を加え粉碎することにより、処理製剤を調製した。

処理方法 : 調製した処理製剤を 500 g ai/ha (100~400 L/ha) の割合で、収穫 35 日前のぶどうの房およびその周辺の葉に約 12 インチの距離から散布した。実際の処理量は、525 g ai/ha (フェニル標識体) および 609 g ai/ha (イソプロピル標識体) であった。¹⁾

1) 申請者注 : 処理量について

ジエトフェンカルブのぶどうにおける散布処理の単回施用量は 88 g ai/10 a [グッター水和剤 (12.5%) 水和剤、1000~1500 倍希釈、200~700L/10 a、3 回]である。本試験で採用した処理量は 53~61 g ai/10 a であり、単回施用量の 0.6~0.7 倍である。

採取時期：処理 35 日後にぶどう果実（房）を採取した。

分析方法：果実試料の分析方法のスキームを図 1 に示した。

ジエトフェンカルブおよびその代謝物は、表面洗浄液および各抽出液について、それぞれ標準品との HPLC および TLC コクロマトグラフィーを行い同定・定量した。

抽出残渣の一部については、段階的な酵素処理（デキストラナーゼ、セルラーゼ、ペクチナーゼおよびプロテアーゼ）、および化学処理（1% ドデシル硫酸ナトリウム (SDS) 抽出、6 M 塩酸還流抽出および 6 M 水酸化ナトリウム還流抽出）を行った。各抽出液中の放射能は LSC により測定し、最終的な残渣中の放射能について燃焼分析により測定した。

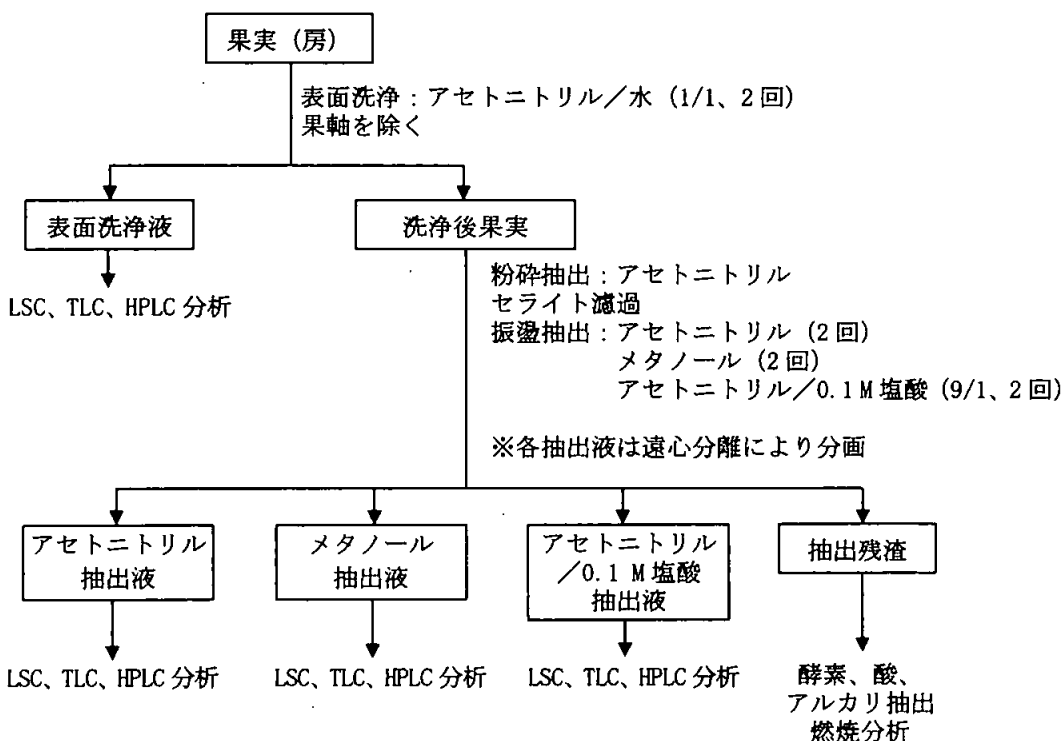


図 1 果実の抽出および分析スキーム

試験結果：

¹⁴C 分布：ぶどう果実の抽出画分における ¹⁴C 分布を表 1 に示した。

ぶどう果実の総残留放射能 (TRR) 濃度は、2.831~5.465 ppm であった。表面洗浄液、抽出液および抽出残渣中の放射能はそれぞれ、20.46~23.34、60.14~63.45 および 13.21~19.39% TRR であった。

抽出残渣について段階的な酵素処理（デキストラナーゼ、セルラーゼ、ペクチナーゼおよびプロテアーゼ）、および化学処理（1%SDS、6 M 塩酸および6 M 水酸化ナトリウム）を実施し、その結果を表2に示した。

フェニル標識体からは、各酵素処理によって1%TRRを超える放射能は抽出されなかったが、化学処理（1%SDS、6 M 塩酸および6 M 水酸化ナトリウム）によって、それぞれ1.1、3.2および2.4%TRRの放射能が抽出され、最終的な抽出残渣中の放射能は14.1%TRRとなった。

表1 ぶどう果実の抽出画分における¹⁴C分布

画分	フェニル標識体		イソプロピル標識体	
	%TRR ^a	ppm ^b	%TRR	ppm
表面洗浄液	20.46	0.579	23.33	1.275
抽出液	60.14	1.703	63.45	3.468
アセトニトリル	58.77	1.664	62.36	3.408
メタノール	1.02	0.029	0.84	0.046
アセトニトリル／塩酸	0.35	0.010	0.25	0.014
抽出残渣	19.39	0.549	13.21	0.722
合計	100	2.831	100	5.465

a: ぶどう果実中の総残留放射能 (TRR) に対する割合 (%)

b: ジエトフェンカルブ換算値

表2 ぶどう果実抽出残渣の段階的抽出の結果

抽出画分	フェニル標識体		イソプロピル標識体 ^c	
	%TRR ^a	ppm ^b	%TRR	ppm
デキストラナーゼ抽出物	0.68	0.019	0.26	0.014
セルラーゼ抽出物	0.21	0.006	0.09	0.005
ペクチナーゼ抽出物	0.08	0.002	0.04	0.002
プロテアーゼ抽出物	0.22	0.006	0.13	0.007
SDS 抽出物	1.10	0.031	0.68	0.037
6 M 塩酸抽出物	3.15	0.089	0.09	0.005
6 M 水酸化ナトリウム抽出物	2.43	0.069	0.82	0.045
最終抽出残渣	14.06	0.398	0.48	0.026

a: ぶどう果実中の総残留放射能 (TRR) に対する割合 (%)

b: ジエトフェンカルブ換算値

c: イソプロピル標識体の抽出残渣の段階的抽出において¹⁴C回収率が低下したのは6M 塩酸および水酸化ナトリウムを用いた加熱還流の際に、揮発性¹⁴C成分が揮散したためと考えられる。

代謝：ぶどう果実における代謝物分析の結果を表3に示した。

主要代謝物は、4-OH-5-(O-Glc-TLA)-DFC および 4-Glc-DFC であり、それぞれ 20.70～21.48 および 14.60～15.47%TRR 検出された。その他に、4-OH-DFC、4-OH-5-TLA-DFC および 4-Glc-5-TLA-DFC が同定されたが、いずれの代謝物も 3.21%TRR 以下であった。

同定された代謝物以外に 23 個の未同定成分が検出されたが、個々の成分はいずれも 10%TRR 未満であった。そのうちの最大成分は、フェニル標識体では 5.76%TRR、イソプロピル標識体では 8.20%TRR であったが、別の溶媒系を用いた HPLC 分析によりさらにいくつかの成分からなることが示された。

表3 ぶどう果実中における代謝物分布^a

化合物	フェニル標識体		イソプロピル標識体	
	%TRR ^b	ppm ^c	%TRR	ppm
DFC	19.92	0.564	23.15	1.265
4-OH-DFC	0.39	0.011	0.86	0.047
4-OH-5-TLA-DFC	3.21	0.091	2.01	0.110
DFC-COOH	trace ^d	trace	trace	trace
4-Glc-DFC	15.47	0.438	14.60	0.798
4-Glc-5-TLA-DFC	1.59	0.045	1.90	0.104
4-OH-5-(O-Glc-TLA)-DFC	21.48	0.608	20.66	1.129

a: 表面洗浄液および各抽出液（アセトニトリル、メタノールおよびアセトニトリル／0.1 M 塩酸）の HPLC 分析結果から求めた。

b: ぶどう果実中の総放射能残留 (TRR) に対する割合 (%)

c: ジエトフェンカルブ換算値

d: trace は痕跡量検出されたことを示す。

推定代謝経路: ジエトフェンカルブのぶどうにおける推定代謝経路を図2に示した。

ジエトフェンカルブはフェニル環 4 位のエトキシ基の脱エチル化を経て、グルコース抱合化、もしくはフェニル環 5 位のグルタチオン由来によるメルカプト乳酸抱合化により代謝された。後者はさらに、フェニル環 4 位もしくはメルカプト乳酸の水酸基がグルコース抱合されると考えられた。また、マイナーな経路としてイソプロピルメチル基が酸化されてカルボン酸を生成する経路も存在した。

図2 ジエトフェンカルブのぶどうにおける推定代謝経路

(4) ジエトフェンカルブのトマトにおける代謝試験

(資料 II-4)

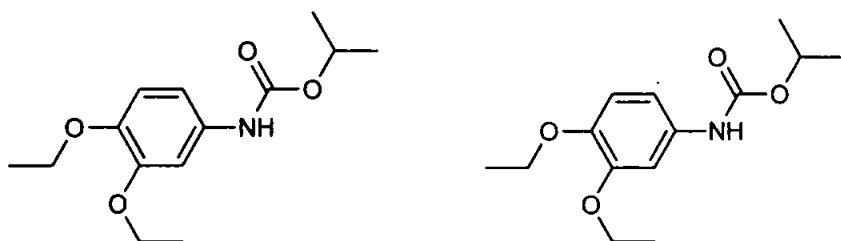
試験機関 : PTRL West, Inc.

[GLP 対応]

報告書作成年 : 2003 年

供試標識化合物 : [フェニル-¹⁴C]ジエトフェンカルブ
[イソプロピル-¹⁴C]ジエトフェンカルブ

構造式 :



* : 標識位置

化学名 : イソプロピル-3,4-ジエトキシカルバミラート

	フェニル標識体	イソプロピル標識体
標識位置		
比放射能		
放射化学的純度		

供試植物 : トマト (品種 : Rio Grand) (屋外栽培)

方法 :

処理液の調製 : 同位体希釆した各標識体と空製剤 (WP) をアセトニトリル中で混合した。
溶媒を除去した後、水を加え粉碎することにより、処理製剤を調製した。

処理方法 : 手動式散布器を用いて、調製した処理製剤を成熟期のトマトに収穫 10 日前
及び 3 日前に、1 回あたり 375 g ai/ha (1000~1500 L/ha) で計 2 回散布した。
実際に処理した量を計算すると、計 752 g ai/ha (フェニル標識体) および 767
g ai/ha (イソプロピル標識体) であった。¹⁾

1) 申請者注 : 処理量について

ジエトフェンカルブのトマトにおける単回施用量は 37.5 g ai/10 a [グッター水和剤
(12.5%)、1000~1500 倍希釆、100~300L/10 a、5 回] である。本試験で採用した処理量
は 37.5~38.9 g ai/10 a/回であり単回施用量と等しい。

採取時期：最終散布 3 日後にトマト果実を採取した。

分析方法：果実試料の分析方法のスキームを図 1 に示した。

ジエトフェンカルブおよびその代謝物は、標品との HPLC および TLC コクロマトグラフィーにより同定・定量した。

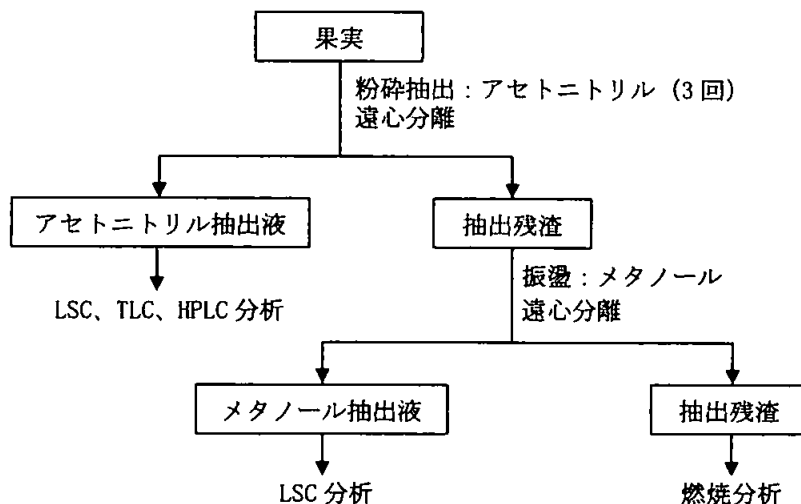


図 1 果実の抽出および分析スキーム

試験結果：

¹⁴C 分布：トマト果実における ¹⁴C 分布を表 1 に示した。

トマト果実における総残留放射能 (TRR) 濃度は、0.085~0.116 ppm であった。94.83~98.82%TRR がアセトニトリル抽出液中に存在し、メタノール抽出液中に検出された放射能はごく微量 (< 0.005%TRR) で、抽出残渣中の放射能は 1.18 ~5.17%TRR であった。

表 1 トマト果実における ¹⁴C 分布

画分	フェニル標識体		イソプロピル標識体	
	%TRR ^a	ppm ^b	%TRR	ppm
アセトニトリル抽出液	94.83	0.110	98.82	0.084
メタノール抽出液 ^c	0.00	0.000	0.00	0.000
抽出残渣	5.17	0.006	1.18	0.001
合計	100	0.116	100	0.085

a : トマト果実中の総残留放射能 (TRR) に対する割合 (%)

b : ジエトフェンカルブ換算値

c : メタノール抽出液中の放射能は、< 0.005%TRR (< 0.005 ppm) であった。

代謝：トマト果実における代謝物分析の結果を表2に示した。

主要残留物は未変化のジエトフェンカルブであり、69.0～72.9%TRR 検出された。代謝物として、4-OH-5-(O-Glc-TLA)-DFC、4-OH-DFC および／あるいは DFC-COOH、4-Glc-5-TLA-DFC あるいは 4-Glc-DFC、および DPO が同定されたが、いずれも 2.6%TRR (0.003 ppm) 以下であった。高極性の未同定代謝物 1 がフェニル標識体から 6.9%TRR (0.008 ppm)、イソプロピル標識体から 11.8%TRR (0.010 ppm) 検出された。他にも未同定代謝物が検出されたが、それぞれ 0.001 ppm 以下であった。

表2 トマト果実における代謝物分布

化合物	フェニル標識体		イソプロピル標識体	
	%TRR ^a	ppm ^b	%TRR	ppm
DFC	69.0	0.080	72.9	0.062
4-Glc-5-TLA-DFC あるいは 4-Glc-DFC	2.6	0.003	ND	ND
4-OH-5-(O-Glc-TLA)-DFC	1.7	0.002	2.4	0.002
4-OH DFC および／あるいは DFC-COOH	2.6	0.003	2.4	0.002
DPO	0.9	0.001	1.2	0.001
未同定代謝物 1 (Rt 3.25 min) ^c	6.9	0.008	11.8 ^d	0.010 ^d
未同定代謝物 2 (Rt 19.25 min)	1.7	0.002	ND	ND
その他の未同定成分	各≤0.9	各≤0.001	各≤1.2	各≤0.001
合計	94.83	0.110	98.82	0.084

ND：検出せず

a：トマト果実中の総残留放射能 (TRR) に対する割合 (%)

b：ジエトフェンカルブ換算値

c：Rt は HPLC 保持時間。

d：未同定代謝物 1 はイソプロピル標識体処理区で 0.010 ppm, 11.8% 検出されているが、報告書の HPLC クロマトグラムの形状からカラムに保持されない複数成分の集合体であると考えられる。

推定代謝経路：ジエトフェンカルブのトマトにおける推定代謝経路を図2に示した。

ジエトフェンカルブはフェニル環 4 位のエトキシ基の脱エチル化を経て、グルコース抱合化、もしくはフェニル環 5 位のグルタチオン由来によるメルカプト乳酸抱合化により代謝された。後者はさらに、フェニル環 4 位もしくはメルカプト乳酸の水酸基がグルコース抱合されると考えられた。また、イソプロピルメチル基が酸化されてカルボン酸を生成し続いて分子内環化する経路も存在した。

図2 ジエトフェンカルブのトマトにおける推定代謝経路

(5) ジエトフェンカルブのレタスにおける代謝試験

(資料 II-5)

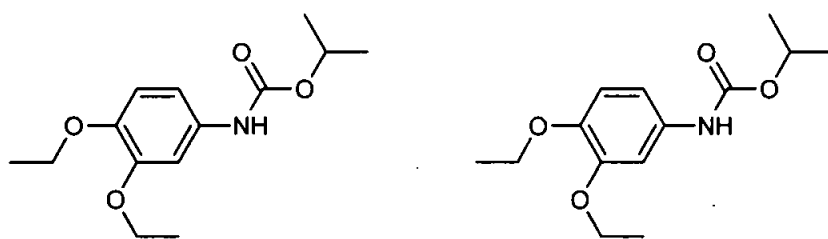
試験機関 : Covance Laboratories Ltd

[GLP 対応]

報告書作成年 : 2006 年

供試標識化合物 : [フェニル-¹⁴C]ジエトフェンカルブ
[イソプロピル-¹⁴C]ジエトフェンカルブ

構造式 :



* : 標識位置

化学名 : イソプロピル-3,4-ジエトキシカルバニラート

	フェニル標識体	イソプロピル標識体
標識位置		
比放射能		
放射化学的純度		

供試植物 : レタス (品種 : Saladin)

プラスティック製容器 (約 35 L 容、表面積 0.2 m²) に播種し、屋外で収穫まで栽培した。標識体処理前に 1 容器あたり 2 本の苗になるように間引きを行った。

方法 :

処理液の調製 : 各標識体をアセトニトリル中で混合して同位体希釈を行った。得られた溶液を窒素気流下で濃縮乾固し、水和剤 (WP) の空製剤を加えた後に水で希釈して処理液を調製した。

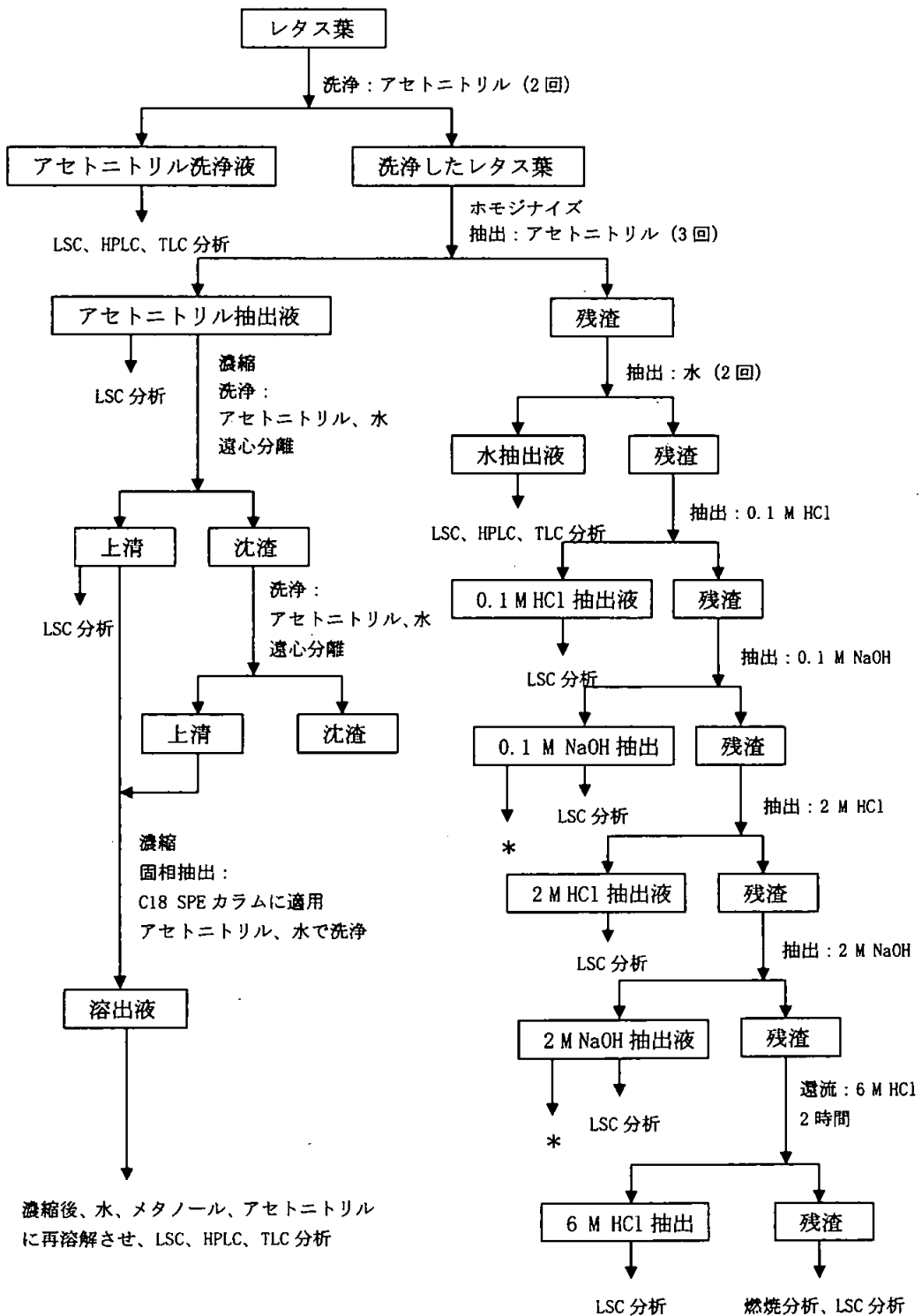
処理方法：調製した処理液（40 mL）をレタスに7日間隔で計5回散布処理した。最終散布は収穫7日前に行い、1回あたりの処理量は約0.38 kg a.i./ha¹⁾であった。

試料採取：最終散布7日後に、成熟したレタス（生育段階BBCH49、播種後78日）を土壤表面から約1cmの茎を切断して収穫した。

分析方法：レタス葉の抽出および分析方法のスキームを次頁に示した。

1)申請者注：処理量について

ジエトフェンカルブのレタスにおける単回施用量は37.5 g ai/10 a [スマブレンド水和剤(12.5%)、1000～2000倍、150～300L/10 a、5回]である。本試験で採用した処理量は38 g ai/10 aであり、単回施用量と等しい。



* : イソプロピル標識体のみ、0.1Mおよび2M水酸化ナトリウム抽出液について、酢酸エチルを用いて分配抽出を行い、水層と有機層に分けてLSC分析を行った。

表面洗浄液、アセトニトリル抽出液および水抽出液は、HPLC および TLC 分析に供し、標品とのクロマトグラフィーにより代謝物の同定を行った。

結果：

¹⁴C 分布：収穫したレタス葉における ¹⁴C 分布を表 1 に示した。

レタス葉の総残留放射能 (TRR) 濃度は、1.76～2.02 ppm であった。残留放射能のうち、44～49%TRR が表面洗浄液中に、32～37%TRR がアセトニトリル抽出液中に、4～5%TRR が水抽出液中に、3～4%TRR が弱酸および弱アルカリ抽出液中に回収された。さらに 2 M の酸およびアルカリを用いた浸漬抽出により、2%TRR が回収され、6 M の酸での還流により 2～4%TRR が回収され、最終的な抽出残渣は 6～9% であった。

表 1 レタス葉における総残留放射能の分布

画分	フェニル標識体		イソプロピル標識体	
	%TRR ^a	(ppm) ^b	%TRR ^a	(ppm) ^b
表面洗浄液	48.9	(0.989)	44.1	(0.776)
アセトニトリル抽出液	31.7	(0.641)	36.5	(0.642)
水抽出液	4.5	(0.090)	4.1	(0.072)
0.1 M 塩酸抽出液	0.7	(0.015)	0.5	(0.009)
0.1 M 水酸化ナトリウム抽出液			3.0	(0.052)
[水層]	2.4	(0.049)	[1.9	(0.033)]
[有機層]			[1.0	(0.018)]
2 M 塩酸抽出液	1.0	(0.020)	0.7	(0.013)
2 M 水酸化ナトリウム抽出液			0.9	(0.015)
[水層]	0.9	(0.017)	[0.6	(0.010)]
[有機層]			[0.3	(0.005)]
6 M 塩酸抽出液	4.3	(0.086)	1.6	(0.028)
抽出残渣	5.7	(0.115)	8.6	(0.151)
合計	100	(2.023)	100	(1.760)

a : 総残留放射能に対する割合

b : ジエトフェンカルブ換算濃度

代謝： レタス葉の表面洗浄液、アセトニトリル抽出液および水抽出液中のジエトフェンカルブおよび代謝物残留量を表 2 に示した。

レタスにおける主要成分は未変化のジエトフェンカルブであり、TRR の 52～57% を占めた。

代謝物として、表面洗浄液中に 4-OH-DFC が、アセトニトリル抽出液中に 4-Glc-DFC、4-Glc-5-TLA-DFC、4-OH-5-TLA-DFC および 4-OH-5-(O-Glc-TLA)-DFC が暫定的に同定された。これら代謝物はいずれも微量 (2%TRR 未満) であった。また、これら代謝物は、両標識体で共通していたことから、カーバメイト結合の開裂はほとんどないと推察された。

他に、アセトニトリル抽出液中には、17 個に及ぶ未同定代謝物が 16~21%TRR (最大成分は 3.6%TRR) 存在し、水抽出液中には、13 個に及ぶ未同定代謝物が 3~4%TRR (最大成分は 1.2%TRR) 存在した。

表 2 レタス葉の表面洗浄液、アセトニトリル抽出液および水抽出液におけるジエトフェンカルブおよび代謝物残留量

化合物	フェニル標識体		イソプロピル標識体	
	%TRR ^a	(ppm) ^b	%TRR ^a	(ppm) ^b
表面洗浄液				
ジエトフェンカルブ	47.3	(0.957)	43.0	(0.757)
4-OH-DFC	0.5	(0.010)	0.3	(0.005)
未同定代謝物	0.6	(0.012)	0.3	(0.006)
分離されない放射能 ^c	0.5	(0.010)	0.5	(0.008)
アセトニトリル抽出液				
ジエトフェンカルブ	9.9	(0.201)	9.0	(0.158)
4-Glc-DFC/4-Glc-5-TLA-DFC	0.9	(0.019)	1.9	(0.033)
4-OH-5-TLA-DFC	0.6	(0.013)	ND	
4-OH-5-(O-Glc-TLA)-DFC	ND		0.6	(0.011)
未同定代謝物 ^d	16.3	(0.330)	21.2	(0.372)
分離されない放射能 ^c	4.0	(0.078)	3.8	(0.068)
水抽出液				
未同定代謝物 ^a	3.1	(0.063)	4.1	(0.071)
分離されない放射能 ^c	1.4	(0.028)	<0.1	(0.001)

ND : 検出せず

a : 総残留放射能に対する割合

b : ジエトフェンカルブ換算濃度

c : Unresolved Background と Undifferential Region の合計値

d : フェニル標識体では 15 成分より構成され、そのうちの最大成分は 0.051 ppm (2.5%TRR)

であった。イソプロピル標識体では 17 成分より構成され、そのうちの最大成分は 0.063 ppm (3.6%TRR) であった。

推定代謝経路：ジエトフェンカルブのレタスにおける推定代謝経路を図1に示した。

ジエトフェンカルブはレタスにおいて、フェニル環の4位のエトキシ基の脱エチル化を経て、グルコース抱合化、もしくはフェニル環5位のグルタチオン由来によるメルカプト乳酸抱合化により代謝された。後者はさらにフェニル環4位もしくはメルカプト乳酸の水酸基がグルコース抱合されると考えられた。

図1 ジエトフェンカルブのレタスにおける推定代謝経路

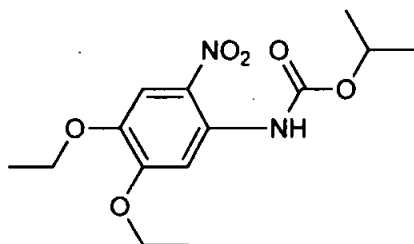
(6) 土壤中分解物 6-NO₂-DFC のきゅうりへの吸收移行試験

(資料 II-6)

試験機関：住友化学工業株式会社
報告書作成年：1988年

供試標識化合物：[フェニル-¹⁴C]6-NO₂-DFC

構造式：



* : 標識位置

化学名：isopropyl 4,5-diethoxy-2-nitrocarbanilate

放射化学的純度：

比放射能：

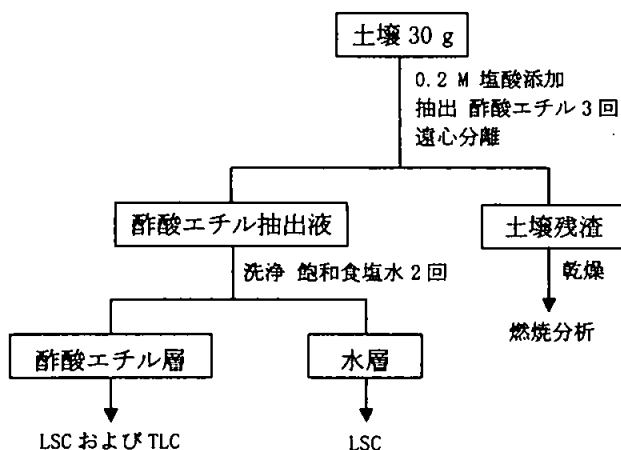
供試植物：きゅうり（温室栽培）

供試土壤：下記の土壤を使用した。

土壤名	宝塚土壤
採取場所	兵庫県宝塚市
土性	砂質壤土
砂 (%)	78
シルト (%)	8
粘土 (%)	14
粘土鉱物	カオリナイト
有機物含量 (%)	1.7
陽イオン交換容量 (meq/100 g 乾土)	4.9
pH (H ₂ O)	5.9
リン酸吸収係数 (g/100 g 乾土)	343
最大容水量 (g/100 g 乾土)	36.8

試験方法：フェニル標識体のメタノール溶液を乾土当り 0.1 ppm (6-NO₂-DFC の土壤残留値 (圃場) の約 5 倍相当濃度) になるように土壤に混和処理した後、第 2 本葉期のきゅうり苗を移植し、収穫期まで (約 2 カ月間) 自然光が入射する温室内で

栽培した。きゅうりは、処理後 58 日および 62 日に、果実および茎葉部に分けて採取し、細断して均一化および風乾後、燃焼分析に供した。土壌は処理直後および処理後 62 日に採取し、次頁のスキームに従い抽出し分析した。



試験結果：きゅうりに移行した放射能量を表 1 に、土壌中の放射能分布を表 2 に示した。

収穫期のきゅうり果実中および茎葉部の放射能濃度はそれぞれ検出限界

(0.0008 ppm) 未満および 0.0027 ppm であり、6-NO₂-DFC は土壌からきゅうりへ殆ど取り込まれないことが示された。収穫期（処理 62 日後）の土壌から 99.2%TAR (%TAR : 処理放射能に対する割合) の放射能が回収された。そのうち 81.1%TAR が 6-NO₂-DFC として残存し、残りの放射能の大部分は土壌残渣に存在した。2 個の未知代謝物が認められたが、いずれも微量であった。

表 1 きゅうり果実および茎葉部の放射能量

	果実	茎葉部*
処理量に対する割合 (%)	< 0.019	0.068
6-NO ₂ -DFC 換算濃度 (ppm)	< 0.0008	0.0027

*数値は 2 連の平均値

表2 処理土壤における放射能分布

画分	処理直後		処理 62 日後	
	処理量に対する割合 (%)	¹⁴ C 濃度 ¹⁾ (ppm)	処理量に対する割合 (%)	¹⁴ C 濃度 (ppm)
酢酸エチル層	102.5	0.1021	84.5	0.0842
6-NO ₂ -DFC	102.0	0.1016	81.1	0.0808
未知代謝物 M-1	<0.1	<0.0001	0.3	0.0003
未知代謝物 M-2	<0.1	<0.0001	0.3	0.0003
その他	0.6	0.0006	2.8	0.0028
水層	<0.1	<0.0001	<0.1	<0.0001
土壤残渣	3.3	0.0030	14.7	0.0147
合計	105.8	0.1051	99.2	0.0989

数値は 2 連の平均値、¹⁾6-NO₂-DFC 換算濃度

3. 土壤中動態に関する試験

(1) ジエトフェンカルブの好気的土壤中動態試験

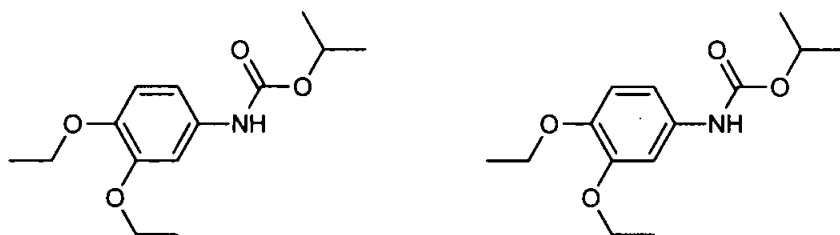
(資料 III-1)

試験機関：住友化学工業株式会社
報告書作成年：1988年

供試標識化合物：[フェニル-¹⁴C]ジエトフェンカルブ

[イソプロピル-¹⁴C]ジエトフェンカルブ

化学構造：



* : 標識位置

化学名：イソプロピル-3,4-ジエトキシカルバニラート

	フェニル標識体	イソプロピル標識体
標識位置		
比放射能		
放射化学的純度		

供試土壤：下表記載の畑地土壤を使用した。

土壤名	牛久土壤	安土土壤
採取場所	茨城県牛久市	滋賀県蒲生郡安土町
土性	壤土	砂壤土
砂 (%)	56.0	70.0
シルト (%)	38.5	17.5
粘土 (%)	5.5	12.5
粘土鉱物	アロフェン	カオリナイト イライト
有機物含量 (%)	3.2	0.8
陽イオン交換容量 (me/100 g 乾土)	21.5	8.1
pH (H ₂ O)	6.9	5.1
最大容水量 (g/100 g 乾土)	125.7	51.5

試験方法：土壤は使用前に2 mmの篩を通した。好気的条件の試料は、土壤30 g（乾土相当）を50 mL容ビーカーに入れ、0.33 barでの容水量の75%に水分調整し、25±2°Cの暗条件下で2週間プレインキュベートした後、各標識体のメタノール溶液100 µLを乾土当たり0.5 ppm¹の濃度となるよう添加して混合することにより調製した。試料にはCO₂を除去した空気を連続通気し、25±2°Cの暗条件下で270日間インキュベートした。揮散性物質はポリウレタンおよび0.5 M水酸化ナトリウム水溶液で捕集し、ポリウレタンはメタノール30 mLで3回抽出して、メタノール抽出液および水酸化ナトリウム水溶液中放射能を測定した。また、水酸化ナトリウム水溶液に1 M塩化バリウム水溶液を添加し、遠心分離後の上清をLSC分析に供することにより¹⁴CO₂を定量した。

滅菌条件下の試料は土壤をオートクレーブ滅菌し、0.33 barでの容水量の75%に滅菌水で水分調整し、アジ化ナトリウムを100 ppmの濃度で添加した後、好気的条件の試料と同様に処理して、25±2°Cの暗条件下で30日間インキュベートした。

嫌気的条件の試料は、0.33 barでの容水量の75%に水分調整し嫌気性システム内、27±2°Cの暗条件下で2週間プレインキュベートした後、嫌気的条件下において、好気的条件の試料と同様に処理して、27±2°Cの暗条件下で60日間インキュベートした。

各試料を以下の日程で採取し、下記のスキームに従って抽出した。代謝分解物の同定および定量はTLC分析を用いて実施した。好気的条件下における推定半減期は最小二乗法により求めた。

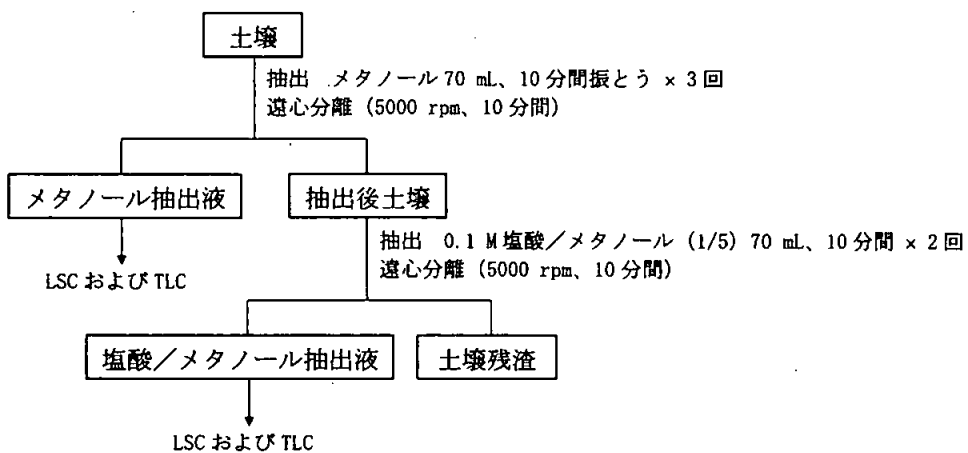
試料採取時期：

好気的条件：処理1、3、7、14、30、60、90、120、180、および270日後

滅菌条件：処理1、3、7、14、および30日後

嫌気的条件：処理1、3、7、14、30、および60日後

¹申請者注：この処理濃度はジエトフェンカルブ含有製剤における最大施用量87.5 g ai/10 a [みかん：ゲッター[®]水和剤(12.5%)、1000倍希釈、700 L/10 a]の0.6倍量に相当する。



好気的条件の試料の土壤残渣は、ヒューミン、フミン酸およびフルボ酸に分画して、結合性 ^{14}C の化学的特徴付けを行った。フルボ酸画分は酢酸エチルで 2 回抽出し、有機層および水層中放射能を測定し、有機層は濃縮後 TLC 分析に供した。

試験結果：各条件下におけるジエトフェンカルブ量の経時変化を表 1 に示した。好気的条件下におけるジエトフェンカルブの推定半減期を表 2 に示した。好気的条件下における放射能分布および代謝分解物の経時変化を表 3-1～3-4 に示した。また滅菌条件下および嫌気的条件下における放射能分布の経時変化を、それぞれ表 4 および表 5 に示した。

好気的条件下におけるジエトフェンカルブの推定半減期は、両標識体とも牛久土壤で 6.2 日、安土土壤で 0.3 日であった。処理 270 日後のジエトフェンカルブの残留量は、牛久土壤で両標識体とも 0.3%TAR (%TAR : 総処理量に対する割合)、安土土壤で両標識体とも 0.1%TAR 未満であった。一方、滅菌条件および嫌気的条件では、最終試料採取日（処理 30 日後および 60 日後）に、それぞれ 86.4～94.8%TAR および 60.0～70.5%TAR が残存していた。分解速度は好気的条件、嫌気的条件、滅菌条件の順に速く、分解は主に好気性土壤微生物によるものと考えられた。

好気的条件下の土壤抽出液中に 6 個の分解物が検出され、標識体間の相異はなかった。安土土壤における主要分解物はフェニル環の 6 位がニトロ化された 6-NO₂-DFC であり、生成量は試験期間中 2.4～4.7%TAR であったが、牛久土壤では試験期間を通して 0.2%TAR 以下であった。他の微量分解物は同定できなかつたが、両標識体で検出されていることからカーバメート部分を有すると考えられ、また土壤への蓄積傾向はみられなかった。揮散性物質量は、両標識体および両土壤中において経時的に増加し、その大部分が CO₂ であり、処理 270 日後の生成量は 30.5～57.0%TAR であった。結合性 ^{14}C は、フェニルおよびイソプロ

ピル標識体について、牛久土壤ではそれぞれ最大 73.5%TAR（処理 60 日後）および 43.2%TAR（処理 30 日後）、安土土壤ではそれぞれ最大 60.6%TAR（処理 7 日後）および 48.3%TAR（処理 3 日後）であった。

滅菌条件下では、ジエトフェンカルブはほとんど分解されず、処理 30 日後において牛久および安土土壤で 86.4～87.4% および 94.0～94.8% が検出された。試験期間を通して、6-NO₂-DFC は 0.2%TAR 以下であり、その他の分解物は合計で 1.2%TAR 以下であった。塩酸／メタノール抽出液中放射能は経時的に増加し、牛久および安土土壤においてそれぞれ処理 30 日後に約 7%TAR および約 3%TAR となった。結合性 ¹⁴C は、牛久および安土土壤においてそれぞれ処理 30 日後に約 5%TAR および約 1%TAR であった。

嫌気的条件下ジエトフェンカルブは処理 60 日後に牛久および安土土壤において 66.2～70.5% および 60.0～60.8% に減少し、試験期間を通じて 6-NO₂-DFC は検出されなかった。結合性 ¹⁴C は、フェニルおよびイソプロピル標識体について、それぞれ 26.4～28.6%TAR および 11.5～12.4%TAR であった。結合性 ¹⁴C がフェニル標識体処理試料でより多く、物質収支はイソプロピル標識試料において徐々に減少したことから、ジエトフェンカルブは嫌気性土壤微生物によっても分解され、揮散性物質はイソプロピル部分から生成すると考えられた。

ジエトフェンカルブの好気的土壤中における推定代謝分解経路を図 1 に示した。ジエトフェンカルブは好気的土壤中で速やかに分解し、フェニル環の 6 位がニトロ化された 6-NO₂-DFC が生成した。また、C-N 結合の開裂に次いで、アニリン部分およびイソプロピル部分が最終的に CO₂ まで無機化されるか、または土壤成分に取り込まれることも示唆された。

表1 各条件下でのジエトフェンカルブ量の経時変化

条件	土壤	標識体	処理量に対する割合 (%)										
			処理後日数										
			0	1	3	7	14	30	60	90	120	180	270
好 気 的	牛 久	フェニル	99.8	89.2	68.6	43.4	21.1	7.4	3.0	2.3	1.6	0.8	0.3
		イソプロピル	99.3	90.2	71.9	42.4	21.1	7.2	3.2	2.1	1.3	0.8	0.3
	安 土	フェニル	95.0	7.9	2.9	0.8	0.5	0.2	0.2	0.1	0.1	<0.1	<0.1
		イソプロピル	92.9	12.6	3.7	1.0	0.6	0.2	0.2	0.1	0.1	<0.1	<0.1
嫌 気 的	牛 久	フェニル	—	95.8	94.0	86.8	78.2	68.8	66.2	—	—	—	—
		イソプロピル	—	96.0	95.0	87.7	83.1	76.3	70.5	—	—	—	—
	安 土	フェニル	—	90.5	87.0	79.2	72.4	61.8	60.8	—	—	—	—
		イソプロピル	—	94.6	86.3	87.2	79.1	68.8	60.0	—	—	—	—
滅 菌	牛 久	フェニル	—	95.1	93.4	92.9	90.6	86.4	—	—	—	—	—
		イソプロピル	—	95.2	94.6	93.2	90.9	87.4	—	—	—	—	—
	安 土	フェニル	—	97.6	97.6	97.4	95.2	94.0	—	—	—	—	—
		イソプロピル	—	98.4	98.5	95.9	96.7	94.8	—	—	—	—	—

数値はメタノール抽出液および塩酸/メタノール抽出液中のジエトフェンカルブ量の合計

—：適用なし

表2 好気的条件下におけるジエトフェンカルブの推定半減期

土壤	推定半減期	
	フェニル標識体	イソプロピル標識体
牛久 ^a	6.2日 ($r^2 = 0.998$) ^c	6.2日 ($r^2 = 0.997$)
安土 ^b	0.3日 ($r^2 = 1.000$)	0.3日 ($r^2 = 1.000$)

^a：表1の0~14日のジエトフェンカルブ量を用いて、最小二乗法により計算。^b：表1の0~1日のジエトフェンカルブ量を用いて、最小二乗法により計算。^c： r^2 は相関係数を示す。

表 3-1 フェニル標識体を処理した好気的条件下の牛久土壤における放射能分布および分解物の経時変化

処理後日数	処理量に対する割合 (%)									
	1	3	7	14	30	60	90	120	180	270
揮散性 ¹⁴ C	<0.1	0.2	1.6	4.2	8.7	18.7	22.0	24.2	28.2	30.7
NaOHトラップ	<0.1	0.2	1.6	4.2	8.7	18.7	22.0	24.2	28.2	30.7
¹⁴ CO ₂	<0.1	0.2	1.6	4.2	8.7	18.7	22.0	24.2	28.1	30.5
その他	<0.1	<0.1	<0.1	<0.1	<0.1	<0.1	<0.1	<0.1	0.1	0.2
ポリウレタントラップ	<0.1	<0.1	<0.1	<0.1	<0.1	<0.1	<0.1	<0.1	<0.1	<0.1
抽出性 ¹⁴ C	91.1	70.8	46.7	24.2	10.4	4.7	3.7	2.9	3.7	1.4
メノール抽出液	89.6	67.8	43.6	22.1	8.8	3.6	2.6	2.2	1.3	1.1
ジエトフェンカルブ	88.5	66.2	41.3	19.8	6.8	2.5	1.6	1.3	0.1	0.3
6-NO ₂ -DFC	0.1	0.1	0.2	0.2	0.1	0.1	0.1	0.1	<0.1	<0.1
M-3	0.2	0.1	0.2	0.1	0.1	0.1	0.1	0.1	<0.1	<0.1
M-5	0.1	0.3	0.3	0.3	0.2	0.1	0.1	0.1	<0.1	<0.1
原点	0.3	0.3	0.5	0.5	0.4	0.4	0.4	0.3	0.1	0.3
その他	0.4	0.8	1.1	1.2	1.2	0.4	0.3	0.3	1.1	0.5
塩酸/メノール抽出液	1.5	3.0	3.1	2.1	1.6	1.1	1.1	0.7	2.4	0.3
ジエトフェンカルブ	0.7	2.4	2.1	1.3	0.6	0.5	0.7	0.3	0.7	<0.1
原点	0.6	0.2	0.4	0.4	0.3	0.4	0.2	0.3	1.1	0.2
その他	0.2	0.4	0.6	0.4	0.7	0.2	0.2	0.1	0.6	0.1
結合性 ¹⁴ C	8.9	25.4	46.8	63.4	69.6	73.5	69.5	68.9	63.4	66.2
ヒューミン	—	7.3	14.5	19.1	21.1	23.9	22.4	22.5	20.7	21.6
フミ酸	—	8.9	17.0	24.7	27.1	26.5	25.0	25.5	23.1	21.6
フルボ酸	—	9.2	15.3	19.6	21.4	23.1	22.1	20.9	19.6	23.0
抽出液	—	3.4	5.4	6.1	6.6	6.5	5.9	5.9	5.3	6.8
ジエトフェンカルブ	—	1.5	1.9	2.2	1.7	1.3	1.2	1.1	0.9	<0.1
その他	—	1.9	3.5	3.9	4.9	5.2	4.7	4.8	4.4	6.8
非抽出性 ¹⁴ C	—	5.8	9.9	13.5	14.8	16.6	16.2	15.0	14.3	16.2
合計 ¹⁴ C	100.0	96.4	95.1	91.8	88.7	96.9	95.2	96.0	95.3	98.3

— : 適用なし

表 3-2 イソプロピル標識体を処理した好気的条件下の牛久土壤における放射能分布
および分解物の経時変化

処理後日数	処理量に対する割合 (%)									
	1	3	7	14	30	60	90	120	180	270
揮散性 ¹⁴ C	0.2	1.1	9.3	17.7	29.1	32.8	37.8	40.6	46.3	49.1
NaOHトラップ*	0.2	1.1	9.3	17.7	29.1	32.8	37.8	40.6	46.3	49.1
¹⁴ CO ₂	0.2	1.1	9.3	17.7	29.1	32.8	37.8	40.3	45.6	48.3
その他	<0.1	<0.1	<0.1	<0.1	<0.1	<0.1	<0.1	0.3	0.7	0.8
ポリウレタントラップ*	<0.1	<0.1	<0.1	<0.1	<0.1	<0.1	<0.1	<0.1	<0.1	<0.1
抽出性 ¹⁴ C	91.8	73.7	44.7	23.6	10.0	4.6	3.4	2.2	1.8	0.9
メタノール抽出液	90.2	70.6	41.6	21.6	8.4	3.6	2.4	1.7	1.2	0.7
ジエトフェンカルブ*	89.4	69.3	40.1	20.1	6.7	2.8	1.7	1.1	0.6	0.3
6-NO ₂ -DFC	<0.1	<0.1	<0.1	<0.1	<0.1	<0.1	<0.1	<0.1	<0.1	<0.1
M-3	0.2	0.2	0.2	0.2	0.1	0.1	0.1	<0.1	<0.1	<0.1
M-5	0.1	0.2	0.3	0.3	0.2	0.1	0.1	0.1	<0.1	<0.1
原点	0.2	0.2	0.4	0.3	0.3	0.3	0.3	0.2	0.1	0.1
その他	0.3	0.7	0.6	0.7	1.1	0.3	0.2	0.3	0.5	0.3
塩酸／メタノール抽出液	1.6	3.1	3.1	2.0	1.6	1.0	1.0	0.5	0.6	0.2
ジエトフェンカルブ*	0.8	2.6	2.3	1.0	0.5	0.4	0.4	0.2	0.2	<0.1
原点	0.7	0.2	0.3	0.6	0.3	0.4	0.5	0.2	0.3	0.2
その他	0.1	0.3	0.5	0.4	0.8	0.2	0.1	0.1	0.1	<0.1
結合性 ¹⁴ C	6.5	16.9	32.6	42.0	43.2	42.4	36.5	36.1	31.1	29.3
ヒューミン	—	4.0	9.6	13.9	15.1	16.9	14.8	14.8	13.5	12.4
フジ酸	—	2.9	6.3	8.6	10.3	10.4	9.0	8.7	8.2	7.7
フルボ酸	—	10.0	16.7	19.5	17.8	15.1	12.7	12.6	9.4	9.2
抽出液	—	4.5	7.3	8.6	8.2	7.5	6.1	6.1	4.3	4.0
ジエトフェンカルブ*	—	2.8	3.1	3.9	3.6	2.7	1.7	1.7	0.9	<0.1
その他	—	1.7	4.2	4.7	4.6	4.8	4.4	4.4	3.4	4.0
非抽出性 ¹⁴ C	—	5.5	9.4	10.9	9.6	7.6	6.6	6.5	5.1	5.2
合計 ¹⁴ C	98.5	91.7	86.6	83.3	82.3	79.8	77.7	78.9	79.2	79.3

— : 適用なし

表 3-3 フェニル標識体を処理した好気的条件下の安土土壤における放射能分布および分解物の経時変化

処理後日数	処理量に対する割合 (%)									
	1	3	7	14	30	60	90	120	180	270
揮散性 ¹⁴ C	5.5	12.4	16.1	21.3	26.6	40.2	43.8	46.6	53.9	58.7
NaOHトラップ*	5.5	12.4	16.1	21.3	26.6	40.2	43.8	46.6	53.9	58.7
¹⁴ CO ₂	5.5	12.3	16.0	21.1	26.3	39.9	43.4	45.9	52.3	57.0
その他	<0.1	0.1	0.1	0.2	0.3	0.3	0.4	0.7	1.6	1.7
ポリウレタントラップ*	<0.1	<0.1	<0.1	<0.1	<0.1	<0.1	<0.1	<0.1	<0.1	<0.1
抽出性 ¹⁴ C	32.6	22.8	17.4	15.4	12.9	12.0	9.6	9.9	10.6	6.6
メノール抽出液	24.3	15.8	11.4	10.3	8.5	7.6	6.1	6.9	7.9	4.2
ジエトフェンカルブ*	7.8	2.8	0.7	0.4	0.2	0.2	0.1	0.1	<0.1	<0.1
6-NO ₂ -DFC	3.8	3.8	4.1	3.7	3.4	3.7	3.0	3.7	4.1	2.4
M-2	<0.1	<0.1	0.2	0.2	0.2	0.2	0.2	0.2	0.2	<0.1
M-3	1.7	0.6	0.2	0.1	<0.1	<0.1	<0.1	<0.1	<0.1	<0.1
M-4	1.5	1.1	0.3	0.2	0.1	0.1	<0.1	0.1	<0.1	<0.1
M-6	1.2	0.3	0.2	0.3	0.2	0.1	0.1	0.1	<0.1	<0.1
原点	5.0	4.3	4.3	3.9	2.9	2.5	2.2	2.1	2.3	1.1
その他	3.3	2.9	1.4	1.5	1.5	0.8	0.4	0.6	1.3	0.7
塩酸/メノール抽出液	8.3	7.0	6.0	5.1	4.4	4.4	3.5	3.0	2.7	2.4
ジエトフェンカルブ*	0.1	0.1	0.1	0.1	<0.1	<0.1	<0.1	<0.1	<0.1	<0.1
6-NO ₂ -DFC	<0.1	0.1	0.1	0.2	0.1	0.2	0.3	0.2	0.3	<0.1
原点	7.5	6.3	5.3	4.2	3.4	3.9	3.0	2.6	1.9	2.2
その他	0.7	0.5	0.5	0.6	0.9	0.3	0.2	0.2	0.5	0.2
結合性 ¹⁴ C	48.5	55.2	60.6	47.5	52.5	43.3	41.4	41.0	29.6	32.7
ヒュミン	7.4	9.1	9.0	7.7	8.3	7.5	7.7	8.2	4.4	5.3
フミン酸	18.9	21.3	26.2	20.5	25.0	19.0	18.8	17.5	12.2	14.2
フルボ酸	22.2	24.8	25.4	19.3	19.2	16.8	14.9	15.3	13.0	13.2
抽出液	7.3	8.4	8.2	5.9	5.9	5.3	4.6	5.0	4.0	4.2
ジエトフェンカルブ*	<0.1	<0.1	<0.1	<0.1	<0.1	<0.1	<0.1	<0.1	<0.1	<0.1
その他	7.3	8.4	8.2	5.9	5.9	5.3	4.6	5.0	4.0	4.2
非抽出性 ¹⁴ C	14.9	16.4	17.2	13.4	13.3	11.5	10.3	10.3	9.0	9.0
合計 ¹⁴ C	86.6	90.4	94.1	84.2	92.0	95.5	94.8	97.5	94.1	98.0

表 3-4 イソプロピル標識体を処理した好気的条件下の安土土壤における放射能分布
および分解物の経時変化

処理後日数	処理量に対する割合 (%)									
	1	3	7	14	30	60	90	120	180	270
揮散性 ¹⁴ C	5.7	13.0	19.9	24.3	29.0	34.4	37.5	39.9	46.1	49.4
NaOHトラップ*	5.7	13.0	19.4	23.7	28.4	33.6	36.7	39.1	45.3	48.6
¹⁴ CO ₂	5.7	11.1	17.5	21.4	25.7	30.7	33.6	35.6	40.8	44.0
その他	<0.1	1.9	1.9	2.3	2.7	2.9	3.1	3.5	4.5	4.6
ポリウレタントラップ*	<0.1	<0.1	0.5	0.6	0.6	0.8	0.8	0.8	0.8	0.8
抽出性 ¹⁴ C	44.8	26.0	18.7	16.6	13.8	13.1	14.2	10.4	9.8	8.2
メタノール抽出液	36.2	19.1	12.4	10.9	9.3	8.6	9.8	7.5	7.0	6.0
ジエトフェンカルブ*	12.5	3.6	0.9	0.5	0.2	0.2	0.1	0.1	<0.1	<0.1
6-NO ₂ -DFC	4.7	3.4	3.6	3.6	3.0	3.0	3.7	2.8	2.5	2.9
M-2	<0.1	<0.1	0.4	0.3	0.3	0.3	0.3	0.2	0.2	<0.1
M-3	2.6	0.9	0.2	0.1	<0.1	<0.1	<0.1	<0.1	<0.1	<0.1
M-4	2.3	1.7	0.4	0.1	0.1	0.1	0.1	0.1	<0.1	<0.1
M-6	2.7	0.6	0.3	0.3	0.2	0.1	0.1	0.1	<0.1	<0.1
原点	6.9	5.5	4.8	4.5	4.2	4.0	4.8	3.7	3.5	2.4
その他	4.5	3.4	1.8	1.5	1.3	0.9	0.7	0.5	0.8	0.7
塩酸／メタノール抽出液	8.6	6.9	6.3	5.7	4.5	4.5	4.4	2.9	2.8	2.2
ジエトフェンカルブ*	0.1	0.1	0.1	0.1	<0.1	<0.1	<0.1	<0.1	<0.1	<0.1
6-NO ₂ -DFC	<0.1	0.1	0.1	0.1	0.1	0.1	0.2	0.2	0.3	<0.1
原点	8.0	6.1	5.6	4.9	3.6	4.0	3.9	2.5	2.2	1.9
その他	0.5	0.6	0.5	0.6	0.8	0.4	0.3	0.2	0.3	0.3
結合性 ¹⁴ C	39.9	48.3	48.2	45.5	48.3	45.9	36.7	35.9	29.3	28.2
ヒューミン	4.3	6.6	7.7	8.4	9.8	11.5	9.3	9.4	5.6	6.1
フシン酸	6.6	8.8	10.7	9.6	11.1	9.9	8.3	9.2	8.7	8.1
フルボ酸	29.0	32.9	29.8	27.5	27.4	24.5	19.1	17.3	15.0	14.0
抽出液	21.2	23.3	20.2	18.0	17.7	15.5	10.9	10.1	7.6	7.1
ジエトフェンカルブ*	<0.1	<0.1	<0.1	<0.1	<0.1	<0.1	<0.1	<0.1	<0.1	<0.1
その他	21.2	23.3	20.2	18.0	17.7	15.5	10.9	10.1	7.6	7.1
非抽出性 ¹⁴ C	7.8	9.6	9.6	9.5	9.7	9.0	8.2	7.2	7.4	6.9
合計 ¹⁴ C	90.4	87.3	86.8	86.4	91.1	93.4	88.4	86.2	85.2	85.8

表4 滅菌条件下における放射能分布

		処理量に対する割合 (%)											
牛久土壤		フェニル標識体			イソプロピル標識体								
処理後日数		1	3	7	14	30		1	3	7	14	30	
抽出性 ¹⁴ C		98.7	98.5	96.7	96.0	93.8		98.7	99.1	97.4	96.3	94.7	
メタノール抽出液		95.8	94.1	93.5	91.0	86.8		95.7	95.0	93.6	91.2	87.8	
ジエトフェンカルブ ⁺		95.1	93.4	92.9	90.6	86.4		95.2	94.6	93.2	90.9	87.4	
6-NO ₂ -DFC		0.1	0.2	0.1	0.1	<0.1		0.2	0.1	0.1	<0.1	<0.1	
原点		0.1	<0.1	<0.1	<0.1	<0.1		0.1	0.1	<0.1	0.1	<0.1	
その他		0.5	0.4	0.5	0.2	0.4		0.2	0.3	0.3	0.3	0.4	
塩酸/メタノール抽出液		2.9	4.4	3.2	5.0	7.0		3.0	4.1	3.8	5.1	6.9	
結合性 ¹⁴ C		1.6	2.2	3.4	3.3	5.3		1.5	2.0	3.3	3.7	5.4	
合計 ¹⁴ C		100.3	100.7	100.1	99.3	99.1		100.2	101.2	100.7	100.0	100.1	
安土土壤		フェニル標識体			イソプロピル標識体								
処理後日数		1	3	7	14	30		1	3	7	14	30	
抽出性 ¹⁴ C		99.3	99.9	100.0	98.2	98.3		100.1	100.8	98.3	99.5	98.9	
メタノール抽出液		98.3	98.1	98.5	96.2	95.2		99.1	99.3	96.8	97.5	95.8	
ジエトフェンカルブ ⁺		97.6	97.6	97.4	95.2	94.0		98.4	98.5	95.9	96.7	94.8	
6-NO ₂ -DFC		0.1	<0.1	0.1	<0.1	<0.1		0.1	0.1	0.1	<0.1	<0.1	
原点		0.1	0.1	0.2	0.1	0.2		0.1	0.1	0.1	0.1	0.1	
その他		0.5	0.7	0.8	0.9	1.0		0.5	0.6	0.7	0.7	0.9	
塩酸/メタノール抽出液		1.0	1.5	1.5	2.0	3.1		1.0	1.5	1.5	2.0	3.1	
結合性 ¹⁴ C		0.2	0.3	0.6	0.7	1.0		0.2	0.3	0.5	0.9	0.8	
合計 ¹⁴ C		99.5	100.2	100.6	98.9	99.3		100.3	101.1	98.8	100.4	99.7	

表5 嫌気的条件下における放射能分布

		処理量に対する割合 (%)											
牛久土壤		フェニル標識体						イソプロピル標識体					
処理後日数		1	3	7	14	30	60	1	3	7	14	30	60
抽出性 ¹⁴ C		96.9	95.4	88.9	80.8	71.9	69.8	96.9	96.0	89.6	84.2	76.9	71.3
メノール抽出液		93.3	88.0	84.0	74.8	66.3	65.1	93.4	88.5	85.1	78.0	71.9	66.6
ジエトフェンカルブ [*]		92.6	87.0	82.5	72.9	63.9	62.1	92.9	88.2	84.8	77.6	71.5	66.1
原点		0.2	0.2	0.2	0.2	0.3	0.4	<0.1	<0.1	<0.1	<0.1	<0.1	0.1
その他		0.5	0.8	1.3	1.7	2.1	0.6	0.5	0.3	0.3	0.4	0.4	0.4
塩酸/メノール抽出液		3.6	7.4	4.9	6.0	5.6	4.7	3.5	7.5	4.5	6.2	5.0	4.7
ジエトフェンカルブ [*]		3.2	7.0	4.3	5.3	4.9	4.1	3.1	6.8	2.9	5.5	4.8	4.4
原点		<0.1	0.2	0.2	0.3	0.3	0.3	<0.1	0.3	1.3	0.3	0.1	0.1
その他		0.4	0.2	0.2	0.3	0.3	0.3	0.4	0.4	0.3	0.4	0.1	0.2
結合性 ¹⁴ C		1.9	3.4	9.1	15.6	23.4	26.4	1.4	1.2	5.5	8.2	11.7	11.5
合計 ¹⁴ C		98.8	98.8	98.0	96.4	95.3	96.2	98.3	97.2	95.1	92.4	88.6	82.8
安土土壤		フェニル標識体						イソプロピル標識体					
処理後日数		1	3	7	14	30	60	1	3	7	14	30	60
抽出性 ¹⁴ C		93.1	91.8	85.3	80.4	69.3	66.6	96.4	94.6	89.9	84.4	72.4	63.3
メノール抽出液		87.3	80.1	74.6	65.8	55.2	53.7	90.3	83.8	78.8	71.2	59.6	52.3
ジエトフェンカルブ [*]		86.2	78.2	72.4	63.3	53.2	51.6	89.4	83.0	77.9	70.4	58.7	51.3
原点		0.2	0.3	0.4	0.5	0.4	0.6	0.1	0.1	0.1	0.1	0.2	0.2
その他		0.9	1.6	1.8	2.0	1.6	1.5	0.8	0.7	1.8	0.7	0.7	0.8
塩酸/メノール抽出液		5.8	11.7	10.7	14.6	14.1	12.9	6.1	10.8	11.1	13.2	12.8	11.0
ジエトフェンカルブ [*]		4.3	8.8	6.8	9.1	8.6	9.2	5.2	3.3	9.3	8.7	10.1	8.7
原点		0.7	1.1	2.1	1.9	2.3	1.4	0.3	4.7	0.5	1.7	1.1	0.4
その他		0.8	1.8	1.8	3.6	3.2	2.3	0.6	2.8	1.3	2.8	1.6	1.9
結合性 ¹⁴ C		1.8	4.7	11.1	15.7	28.7	28.6	1.1	1.4	3.8	5.0	10.6	12.4
合計 ¹⁴ C		94.9	96.5	96.4	96.1	98.0	95.2	97.5	96.0	93.7	89.4	83.0	75.7

図1 ジエトフェンカルブの好気的土壤中における推定代謝分解経路

4. 水中動態に関する試験

(1) ジエトフェンカルブの加水分解動態試験

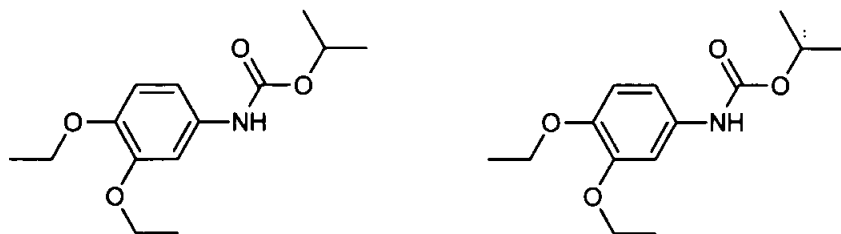
(資料 IV-1)

試験機関：住友化学工業株式会社

報告書作成年：1986年

供試標識化合物： [フェニル-¹⁴C]ジエトフェンカルブ
[イソプロピル-¹⁴C]ジエトフェンカルブ

構造式：



*: 標識位置

化学名：イソプロピル-3,4-ジエトキシカルバニラート

	フェニル標識体	イソプロピル標識体
標識位置		
比放射能		
放射化学的純度		

供試水：5種類（pH 3、5、7、9および11）の緩衝液を使用した。

pH ^a	5.0 M NaCl (mL)	1.0 M グリシン + 1.0 M NaCl (mL)	2.0 M HCl (mL)	2.0 M NaOH (mL)	2.0 M CH ₃ COONa (mL)	3.5 M CH ₃ COOH (mL)	0.5 M Na ₂ HPO ₄ (mL)	0.5 M NaH ₂ PO ₄ (mL)	2.0 M トリ酸 (mL)
3	32	31.6	4.2						
5	32				20.0	3.7			
7	32						22.7	1.6	
9	10 ^b				21.3				25.0
11	32	19.6			10.2				

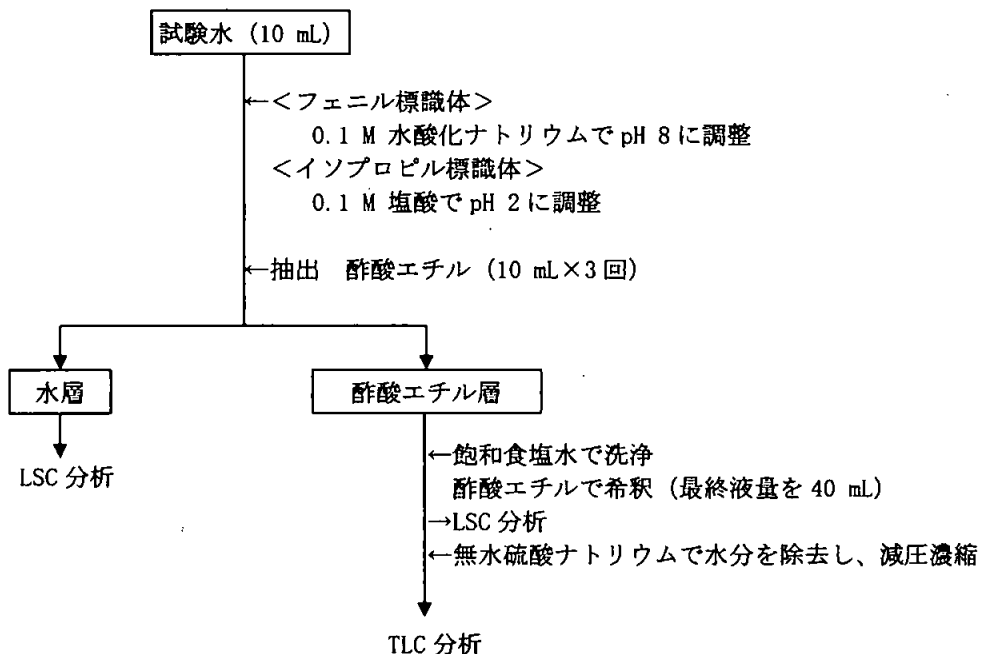
a : イオン強度は0.01に調整した。

調製溶液は蒸留水で希釈して最終液量を2.0 Lとした。

b : NaCl の代わりに KCl を使用した。

調製した各緩衝液は、オートクレーブで130°C、1時間滅菌して使用した。

試験方法：フェニル標識体あるいはイソプロピル標識体のヘキサン／ベンゼン（3/2）溶液を加熱滅菌した100 mL容量の三角フラスコに移し、窒素ガスにより溶媒を除去した。このフラスコに各緩衝液を70 mLずつ添加して密栓し、室温で1時間振盪することにより、ジエトフェンカルプの最終濃度が1 mg/Lとなるように試験水を調製した。各試験水の入ったフラスコを、25±1°C、40±1°Cおよび60±1°Cで30日間、暗条件下で定期的に振盪しながら、インキュベートした。処理直後（0日）、7、14、21および30日後に、各試験水0.5 mLを2連で採取し、LSC分析により試験水中の総放射能を測定後、さらに試験水の一部（10 mL）を下記のスキームに従って抽出、分析した。



ジエトフェンカルプの半減期は最小二乗法により算出した。

試験結果：

¹⁴C分布：各試験水中のジエトフェンカルプおよびその分解物の経時的変化を表1～6に示した。

分解挙動：ジエトフェンカルプはpH 3、5、7および9の緩衝液中で安定であり、25°C、40°Cおよび60°Cにおいて30日経過後で加水分解は僅かしか起こらなかった。pH

11においては、25°Cおよび40°Cで30日経過後の加水分解は極めて僅かであったが、60°Cにおいてのみ加水分解を受け、主要加水分解物として3,4-ジエトキシアニリン(DEA)が最大23.8%検出された。

ジエトフェンカルプの60°CでのpH 11緩衝液中における加水分解経路を図1に示した。

推定半減期：フェニル標識体処理の60°C、pH 11緩衝液の結果から算出したジエトフェンカルプの半減期は30.2日¹であった。pH 3、5、7、9および11緩衝液の25°C、40°Cにおいてジエトフェンカルプは安定であり、自然水中で通常認められるpH 5～9領域において加水分解はほとんど起こらないと考えられる。

1 申請者注：pH 11、60°Cにおける半減期について

本試験報告書中のpH 11、60°Cの半減期について、Summaryでは「28.4日」、Results and Discussionでは「26.4日」と異なる値が記載されている。試験報告書中に記載のデータ([Ph-¹⁴C]ラベル)を使用して再計算を実施したところ半減期は「30.2日」と算出された。

表1 25°C、pH 3、5、7、9、11緩衝液中におけるジエトフェンカルブおよびその分解物の
経時変化(フェニル標識体)

pH	時間 (日)	処理放射能に対する割合 (%)					
		有機抽出層 ¹⁴ C	ジエトフェ ンカルブ	DEA	その他	水層 ¹⁴ C	物質収支
3	0	100.0	100.0	-	<0.1	<0.1	100.0
	7	92.1	89.4	-	2.7	0.2	92.3
	14	103.4	102.4	-	1.0	0.4	103.8
	21	103.3	102.0	-	1.3	0.2	103.5
	30	102.4	102.1	-	0.3	0.1	102.5
5	0	100.0	100.0	-	<0.1	<0.1	100.0
	7	99.2	97.1	-	2.1	<0.1	99.2
	14	100.4	99.2	-	1.2	0.1	100.5
	21	98.9	97.9	-	1.0	0.1	99.0
	30	99.8	99.5	-	0.3	0.1	99.9
7	0	100.0	100.0	-	<0.1	<0.1	100.0
	7	102.1	100.6	-	1.5	0.1	102.2
	14	100.5	99.4	-	1.1	0.1	100.6
	21	102.6	101.7	-	0.9	0.2	102.8
	30	101.5	101.1	-	0.4	0.2	101.7
9	0	100.0	100.0	-	<0.1	<0.1	100.0
	7	101.1	100.0	-	1.1	0.1	101.2
	14	100.4	99.5	-	0.9	0.1	100.5
	21	104.5	103.8	-	0.7	0.2	104.7
	30	102.3	102.1	-	0.2	0.2	102.5
11	0	100.0	100.0	-	<0.1	<0.1	100.0
	7	100.0	99.5	-	0.5	0.1	100.1
	14	100.8	100.3	-	0.5	0.1	100.9
	21	102.4	101.6	-	0.8	0.1	102.5
	30	102.6	102.1	-	0.5	0.1	102.7

表2 40°C、pH 3、5、7、9、11緩衝液中におけるジエトフェンカルブおよびその分解物の
経時変化(フェニル標識体)

pH	時間 (日)	処理放射能に対する割合 (%)					
		有機抽出層 ¹⁴ C	ジエトフェ ンカルブ	DEA	その他	水層 ¹⁴ C	物質収支
3	0	100.0	100.0	-	<0.1	<0.1	100.0
	7	101.2	100.3	-	0.9	0.3	101.5
	14	104.6	104.1	-	0.5	0.2	104.8
	21	105.6	105.2	-	0.4	0.2	105.8
	30	104.8	104.4	-	0.4	0.2	105.0
5	0	100.0	100.0	-	<0.1	<0.1	100.0
	7	95.1	94.1	-	1.0	0.1	95.2
	14	87.6	87.0	-	0.6	0.1	87.7
	21	99.4	99.0	-	0.4	0.1	99.5
	30	95.1	94.6	-	0.5	0.1	95.2
7	0	100.0	100.0	-	<0.1	<0.1	100.0
	7	97.5	96.6	-	0.9	0.2	97.7
	14	99.2	98.5	-	0.7	0.3	99.5
	21	98.8	98.4	-	0.4	0.3	99.1
	30	97.2	96.8	-	0.4	0.4	97.6
9	0	100.0	100.0	-	<0.1	<0.1	100.0
	7	90.4	89.7	-	0.7	0.2	90.6
	14	102.4	102.0	-	0.4	0.2	102.6
	21	96.0	95.6	-	0.4	0.3	96.3
	30	100.1	99.7	-	0.4	0.3	100.4
11	0	100.0	100.0	-	<0.1	<0.1	100.0
	7	97.2	95.9	-	1.3	0.1	97.3
	14	102.0	100.0	-	1.6	0.2	102.2
	21	97.0	94.9	-	1.8	0.2	97.2
	30	102.3	99.4	-	2.5	0.3	102.6

表3 60°C、pH 3、5、7、9、11緩衝液中におけるジエトフェンカルブおよびその分解物の
経時変化(フェニル標識体)

pH	時間 (日)	処理放射能に対する割合 (%)					
		有機抽出層 ¹⁴ C	ジエトフェンカルブ	DEA	その他	水層 ¹⁴ C	物質収支
3	0	100.0	100.0	-	<0.1	<0.1	100.0
	7	90.7	89.8	-	0.9	0.5	91.2
	14	100.2	99.3	-	0.9	0.4	100.6
	21	97.8	97.4	-	0.4	0.3	98.1
	30	99.0	98.5	-	0.5	0.4	99.4
5	0	100.0	100.0	-	<0.1	<0.1	100.0
	7	96.7	95.5	-	1.2	0.1	96.8
	14	97.2	96.7	-	0.5	0.2	97.4
	21	92.6	92.1	-	0.5	0.2	92.8
	30	102.4	101.8	-	0.6	0.2	102.6
7	0	100.0	100.0	-	<0.1	<0.1	100.0
	7	100.3	99.1	-	1.2	0.5	100.8
	14	102.3	101.4	-	0.9	0.8	103.1
	21	100.9	100.2	-	0.7	0.9	101.8
	30	102.4	101.7	-	0.7	1.2	103.6
9	0	100.0	100.0	-	<0.1	<0.1	100.0
	7	99.7	98.6	-	1.1	0.3	100.0
	14	99.8	98.7	0.2	0.9	0.4	100.2
	21	105.1	103.5	-	1.6	0.6	105.7
	30	110.5	108.5	-	2.0	0.9	111.4
11	0	100.0	100.0	-	<0.1	<0.1	100.0
	7	102.4	82.2	3.8	16.4	1.4	103.8
	14	100.2	69.8	9.7	20.7	4.9	105.1
	21	97.5	58.5	10.1	28.9	6.1	103.6
	30	98.5	50.5	23.8	23.9*	10.0	108.5

* 8種の微量分解物から成る。

表4 25°C、pH 3、5、7、9、11 緩衝液中におけるジエトフェンカルブおよびその分解物の
経時変化（イソプロピル標識体）

pH	時間 (日)	処理放射能に対する割合 (%)					
		有機抽出層 ¹⁴ C	ジエトフェンカルブ	DEA	その他	水層 ¹⁴ C	物質収支
3	0	100.0	100.0	-	<0.1	<0.1	100.0
	7	99.1	94.7	-	4.4	<0.1	99.1
	14	96.2	95.4	-	0.8	<0.1	96.2
	21	98.3	94.9	-	3.4	<0.1	98.3
	30	99.6	99.1	-	0.5	<0.1	99.6
5	0	100.0	100.0	-	<0.1	<0.1	100.0
	7	99.8	97.5	-	2.3	<0.1	99.8
	14	101.0	100.3	-	0.7	<0.1	101.0
	21	99.6	95.6	-	4.0	<0.1	99.6
	30	100.3	99.8	-	0.5	<0.1	100.3
7	0	100.0	100.0	-	<0.1	<0.1	100.0
	7	101.6	97.0	-	4.6	<0.1	101.6
	14	101.1	100.4	-	0.7	<0.1	101.1
	21	103.0	99.6	-	3.4	<0.1	103.0
	30	103.0	102.6	-	0.4	<0.1	103.0
9	0	100.0	100.0	-	<0.1	<0.1	100.0
	7	102.4	101.2	-	1.2	0.1	102.5
	14	99.8	99.1	-	0.7	<0.1	99.8
	21	104.3	102.6	-	1.7	<0.1	104.3
	30	104.0	103.6	-	0.4	<0.1	104.0
11	0	100.0	100.0	-	<0.1	<0.1	100.0
	7	99.9	99.1	-	0.8	0.1	100.0
	14	98.5	97.8	-	0.7	<0.1	98.5
	21	99.5	98.8	-	0.7	0.1	99.6
	30	100.4	100.0	-	0.4	0.1	100.5

表5 40°C、pH 3、5、7、9、11緩衝液中におけるジエトフェンカルブおよびその分解物の
経時変化（イソプロピル標識体）

pH	時間 (日)	処理放射能に対する割合 (%)					
		有機抽出層 ¹⁴ C	ジエトフェ ンカルブ	DEA	その他	水層 ¹⁴ C	物質収支
3	0	100.0	100.0	-	<0.1	<0.1	100.0
	7	96.7	95.8	-	0.9	<0.1	96.7
	14	96.9	96.3	-	0.6	<0.1	96.9
	21	96.5	95.3	-	1.2	<0.1	96.5
	30	98.1	97.7	-	0.4	<0.1	98.1
5	0	100.0	100.0	-	<0.1	<0.1	100.0
	7	97.1	95.9	-	1.2	<0.1	97.1
	14	98.3	97.7	-	0.6	<0.1	98.3
	21	99.0	98.5	-	0.5	<0.1	99.0
	30	99.5	99.1	-	0.4	<0.1	99.5
7	0	100.0	100.0	-	<0.1	<0.1	100.0
	7	100.4	99.3	-	1.1	<0.1	100.4
	14	97.5	97.1	-	0.4	<0.1	97.5
	21	98.9	98.4	-	0.5	<0.1	98.9
	30	99.2	98.8	-	0.4	<0.1	99.2
9	0	100.0	100.0	-	<0.1	<0.1	100.0
	7	97.0	95.8	-	1.2	<0.1	97.0
	14	95.4	95.0	-	0.4	0.1	95.5
	21	96.1	95.5	-	0.6	<0.1	96.1
	30	97.3	97.0	-	0.3	<0.1	97.4
11	0	100.0	100.0	-	<0.1	<0.1	100.0
	7	102.4	101.5	-	0.9	0.2	102.6
	14	103.8	103.4	-	0.4	0.3	104.1
	21	102.0	101.6	-	0.4	0.5	102.5
	30	101.6	101.2	-	0.4	0.6	102.2

表6 60°C、pH 3、5、7、9、11緩衝液中におけるジエトフェンカルブおよびその分解物の経時変化(イソプロピル標識体)

pH	時間 (日)	処理放射能に対する割合 (%)					
		有機抽出層 ¹⁴ C	ジエトフェンカルブ	DEA	その他	水層 ¹⁴ C	物質収支
3	0	100.0	100.0	-	<0.1	<0.1	100.0
	7	100.0	98.2	-	1.8	<0.1	100.0
	14	98.2	97.7	-	0.5	<0.1	98.2
	21	101.5	100.7	-	0.8	0.1	101.6
	30	105.4	104.5	-	0.9	0.1	105.5
5	0	100.0	100.0	-	<0.1	<0.1	100.0
	7	102.0	100.8	-	1.2	<0.1	102.0
	14	102.1	101.6	-	0.5	<0.1	102.1
	21	100.0	99.1	-	0.9	0.1	100.1
	30	101.2	100.4	-	0.8	0.1	101.3
7	0	100.0	100.0	-	<0.1	<0.1	100.0
	7	100.1	99.1	-	1.0	<0.1	100.1
	14	97.9	97.4	-	0.5	<0.1	97.9
	21	101.0	100.3	-	0.7	0.1	101.1
	30	107.6	106.8	-	0.8	0.1	107.7
9	0	100.0	100.0	-	<0.1	<0.1	100.0
	7	100.2	99.5	-	0.7	0.1	100.3
	14	100.2	99.7	-	0.5	0.2	100.4
	21	103.1	102.3	-	0.8	0.3	103.4
	30	102.6	101.8	-	0.8	0.5	103.1
11	0	100.0	100.0	-	<0.1	<0.1	100.0
	7	94.6	93.9	-	0.7	3.1	97.7
	14	90.1	89.4	-	0.7	5.8	95.9
	21	84.8	84.3	-	0.5	8.8	93.6
	30	82.7	82.0	-	0.7	9.0	91.7

図1 ジエトフェンカルブの加水分解経路

(2) ジエトフェンカルブの水中光分解動態試験

(資料 IV-2)

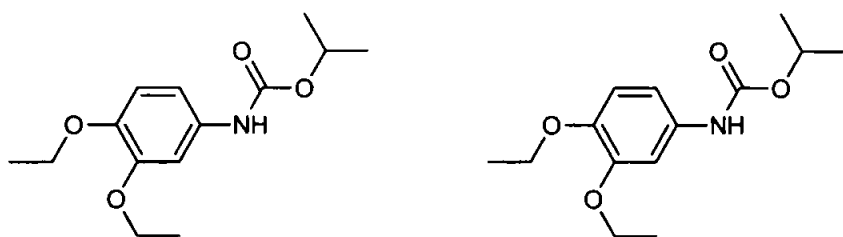
試験機関 : Covance Laboratories Ltd

[GLP 対応]

報告書作成年 : 2006 年

供試化合物 : [フェニル-¹⁴C]ジエトフェンカルブ
[イソプロピル-¹⁴C]ジエトフェンカルブ

化学構造 :



* : 標識位置

化学名 : イソプロピル-3,4-ジエトキシカルバミラート

	フェニル標識体	イソプロピル標識体
標識位置		
比放射能		
放射化学的純度		

供試水 :

純水 : オートクレーブ滅菌した HPLC グレード水を 0.2 μm の滅菌フィルターでろ過滅菌して使用。pH 範囲は 6.2~6.9。

自然水 : 英国 West Yorkshire 州 Chevin Forest Park の川から採取（採取年月日 : 2005 年 4 月 28 日）し、0.2 μm の滅菌フィルターでろ過滅菌して使用。pH 範囲は 7.4 ~8.0。

光源 : キセノンランプ (Suntest CPS+、波長 290 nm 未満の光を遮断するフィルター付き)

光強度 : 約 1.4 MJ/ $\text{m}^2/\text{日}$ = 16.2 W/ m^2 (波長範囲 : 300~400 nm)
東京 (北緯 35 度、4~6 月) の自然太陽光の放射照度 0.672 MJ/ $\text{m}^2/\text{日}$ (波長範

囲 : 300~400 nm) から、試験で使用したキセノンランプ光源人工光の 1 日間の照射は、上記自然太陽光のほぼ 2 日間の照射に相当する。

試験方法：フェニル標識体あるいはイソプロピル標識体のアセトニトリル溶液を各供試水に添加して混合し、ジエトフェンカルブの最終濃度が 1 mg/L となるよう試験水を調製した。溶解助剤としてのアセトニトリル濃度は 1%未満であった。

試験容器にはガラスバイアルを使用した。光照射区用には石英ガラス製の蓋をし、25±2°Cで 15 日間、人工太陽光を照射した。暗対照区用には PTFE 加工したゴム製クリンプキャップで密閉し、25±2°Cの暗条件でインキュベートした。

光照射区のガラスバイアルはエチレングリコールおよび 2M 水酸化ナトリウム水溶液に接続し、揮発性有機物質および CO₂ の捕集を行った。イソプロピル標識体については、0.1 M 硫酸トラップも用いた。イソプロピル標識体については光照射 4、11 および 15 日後に、フェニル標識体については 15 日後に、LSC を用いて捕集した ¹⁴CO₂ を定量した。さらに、イソプロピル標識体については、光照射後 4~11 日の間に捕集されたイソプロピルアルコールを HPLC および GC-MS を用いて測定した。

ジエトフェンカルブおよび分解物の同定・定量は、光照射 1、4、7、10 (イソプロピル標識体については 11 日)、13、および 15 日後に試料を採取し、HPLC を用いた標品とのクロマトグラフィーにより行い、2 次元 TLC あるいは GC-MS により確認した。

ジエトフェンカルブの分解速度定数および半減期は、一次速度式を用いて算出した。

試験結果：

¹⁴C 分布：各試験水中のジエトフェンカルブおよび分解物の経時的变化を表 1~4 に示した。

試験期間中の全試料の物質收支は、処理放射能の 93.6~102.7% の範囲であった。

フェニル標識体およびイソプロピル標識体は、純水中でそれぞれ光照射 15 日後に 87.8% および 88.6% まで減少した。自然水中では、それぞれ 15 日後に 44.4% および 34.7% まで減少した。

分解：光照射による主要分解物は、イソプロピル標識体では N-phenyl 結合の開裂およびカルバモイル基の脱離によって生成したイソプロピルカーバメート (IPC) 並びにイソプロピルアルコール (IPA) であり、フェニル標識体では ¹⁴CO₂ であった。自然水中およびトラップ中において検出された IPA は、光照射 13 日後に最高で処理放射能の 31.7% に達した後、15 日後には 28.4% となった。IPC は経時に増加し、光照射 15 日後には最高で処理放射能の 16.9% に達した。両分解物とも純水中での生成量は試験期間を通じて 5%未満と微量であった。¹⁴CO₂ の発生量は、

フェニル標識体の自然水光照射区において 13 日後に最高で処理放射能の 20.1% に達したが、純水中では最高でも 2.1%と微量であった。イソプロピル標識体からは $^{14}\text{CO}_2$ の発生は認められなかった。 $^{14}\text{CO}_2$ はフェニル環の開裂により生ずると考えられた。

その他の分解物として、フェニル標識体では自然水光照射区に HPLC クロマトグラム上に分析用標品と一致しない 4 種の未同定ピークが検出されたが、それらの生成量は最大でも処理放射能の 7.3% (15 日後) であった。さらに、クロマトグラム上での分離が不十分な帶状に拡散した放射能領域が認められたが、いずれも処理放射能の 3% (15 日後) を超えるものではなかった。この帶状に拡散した放射能領域には、ジエトフェンカルブの N-phenyl 結合の開裂によって生成するアニリン (DEA) やフェノール誘導体の重合体が含まれると考えられた。イソプロピル標識体では、自然水光照射区において 1 種の未同定分解物が検出されたが、その生成量は最高でも処理放射能の 7.2% (13 日後) であった。

ジエトフェンカルブの水中における予想光分解経路を図 1 に示した。

推定半減期：ジエトフェンカルブは光照射により純水および自然水中で分解が促進され、さらにその分解は純水中よりも自然水中においてより速やかに進行した。下表にジエトフェンカルブの各試験区での推定半減期を示した。

供試水	供試化合物	光照射区		暗対照区
		人工太陽光	自然太陽光 ^a	
純水	フェニル標識体	122 日 ^b ($r^2 = 0.775$) ^c	262 日 ^c	安定 ^d
	イソプロピル標識体	121 日 ^b ($r^2 = 0.708$)	256 日 ^c	安定 ^d
自然水	フェニル標識体	10.6 日 ($r^2 = 0.967$)	22.7 日	安定 ^d
	イソプロピル標識体	10.1 日 ($r^2 = 0.978$)	21.3 日	安定 ^d

a : 東京 (北緯 35 度)、春 (4~6 月) の自然太陽光換算値

b : 外挿値

c : 外挿値から算出

d : 暗所対照区では分解が遅く、半減期は算出できなかった。

e : r^2 は相関係数を示す。

表1 純水中におけるジエトフェンカルブおよびその分解物の経時変化（フェニル標識体）

試験区	処理後 日数 (日)	処理放射能に対する割合 (%)					
		試験水				容器洗浄液	揮発性物質 ^c
		合計値	親化合物	未同定化合物 ^a	バックグラウンド ^b		
光照射区	0	99.0	96.6	1.5 (0.7)	0.9	0.3	NA
	1	97.8	93.7	2.5 (1.1)	1.7	0.3	0.2
	4	101.4	97.3	2.4 (0.7)	1.8	0.4	0.2
	7	98.7	93.6	3.9 (0.8)	1.3	0.5	ND
	10	98.5	92.4	4.5 (1.3)	1.6	0.3	0.8
	13	94.6	89.3	3.6 (1.0)	1.8	0.5	1.1
	15	95.1	87.8	6.5 (1.5)	0.8	0.4	2.1
暗対照区	1	101.9	98.7	1.4 (0.7)	1.8	0.4	NA
	4	99.5	97.2	1.8 (0.5)	0.5	0.6	NA
	7	102.0	99.9	1.9 (0.6)	0.2	0.7	NA
	10	100.8	98.1	1.8 (1.0)	0.9	0.4	NA
	13	100.8	97.2	1.9 (0.8)	1.8	0.5	NA
	15	100.9	98.7	0.5 (0.5)	1.7	0.3	NA

ND : 検出されず、NA : 分析に供せず

a : 括弧内の数値は未同定化合物のうちの最大値を示す。

b : その他の主要ピークのない分離不能な放射能画分。

c : 水酸化ナトリウムトラップのみで検出され、その成分は二酸化炭素であった。

表2 自然水中におけるジエトフェンカルブおよびその分解物の経時変化（フェニル標識体）

試験区	処理後 日数 (日)	処理放射能に対する割合 (%)					
		試験水			容器洗浄液	揮発性物質 ^c	物質収支
		合計値	親化合物	未同定化合物 ^a			
光照射区	0	100.8	98.4	1.7 (0.7)	0.6	0.2	NA
	1	98.4	89.4	7.7 (1.2)	1.2	0.3	0.1
	4	91.6	73.5	16.7 (2.5)	1.4	0.5	3.0
	7	86.2	58.7	26.7 (4.5)	0.8	0.2	9.1
	10	81.0	48.9	31.2 (5.7)	1.0	0.3	15.0
	13	73.3	35.6	37.1 (5.5)	0.6	0.2	20.1
	15	77.6	44.4	31.6 (7.3)	1.6	0.2	16.2
暗対照区	1	99.1	96.4	1.2 (0.8)	1.5	0.5	NA
	4	99.5	97.9	1.1 (0.7)	0.5	0.6	NA
	7	99.2	96.6	1.4 (0.6)	1.1	0.4	NA
	10	101.4	99.7	0.8 (0.8)	0.9	0.5	NA
	13	98.2	95.8	0.8 (0.6)	1.6	0.5	NA
	15	99.0	97.7	0.7 (0.7)	0.6	0.5	NA

NA : 分析に供せず

a : 括弧内の数値は未同定化合物のうちの最大値を示す。

b : その他の主要ピークのない分離不能な放射能画分。

c : 水酸化ナトリウムトラップのみで検出され、その成分は二酸化炭素であった。

表3 純水中におけるジエトフェンカルブおよびその分解物の経時変化（イソプロピル標識体）

試験区	処理後 日数 (日)	処理放射能に対する割合 (%)							
		試験水					容器 洗浄液	揮発性物質 ^c	物質収支
		合計値	親化合物	IPA	IPC	未同定化合物 ^a			
光照射区	0	99.2	99.1	ND	ND	ND (NA)	0.1	0.1	99.3
	1	98.5	98.2	ND	ND	0.3 (0.3)	ND	0.2	98.8
	4	99.9	98.2	0.9	ND	0.5 (0.5)	0.4	0.3	100.8
	7	97.4	92.8	ND	ND	2.7 (1.2)	1.9	0.3	98.3
	11	99.0	93.0	1.3	1.2	2.4 (1.5)	1.0	0.5	100.8
	13	100.1	95.5	1.0	1.2	1.7 (1.0)	0.8	0.4	101.8
	15	96.1	88.6	1.8	2.3	2.1 (1.0)	1.2	0.4	99.2
暗対照区	1	100.2	99.4	ND	ND	ND (NA)	0.8	0.2	100.4
	4	99.2	98.8	ND	ND	ND (NA)	0.4	0.2	99.4
	7	100.4	99.5	ND	ND	ND (NA)	0.9	0.1	100.5
	11	101.7	101.2	ND	ND	ND (NA)	0.5	0.4	102.1
	13	99.3	97.2	ND	ND	0.5 (0.5)	1.6	0.2	99.5
	15	100.1	99.1	ND	ND	ND (NA)	1.0	0.3	100.4

ND : 検出されず、NA : 分析に供せず

IPA : イソプロピルアルコール、IPC : イソプロピルカーバメート

a : 括弧内の数値は未同定化合物のうちの最大値を示す。

b : その他の主要ピークのない分離不能な放射能画分。

c : 全種類のトラップに放射能が分布しており、自然水試料の同定に基づき IPA と考えられた。二酸化炭素は検出されなかった。

表4 自然水中におけるジエトフェンカルブおよびその分解物の経時変化（イソプロピル標識体）

試験区	処理後 日数 (日)	処理放射能に対する割合 (%)									
		試験水					容器 洗浄液	揮発性物質 ^a		物質収支	
		合計値	親化合物	IPA	IPC	未同定化合物 ^b		IPA	その他		
光照射区	0	100.5	99.9	ND	ND	ND (NA)	0.6	0.2	NA	NA	100.7
	1	97.1	91.7	3.0	1.3	0.5 (0.5)	0.7	0.3	0.5	ND	97.9
	4	96.4	79.4	7.5	5.8	2.6 (2.3)	1.2	0.3	1.2	ND	97.9
	7	88.9	60.3	10.2	10.0	7.3 (4.3)	1.2	0.7	8.5	0.2	98.3
	11	87.9	53.4	10.7	11.7	10.3 (4.9)	1.8	0.2	10.5	0.7	99.3
	13	78.7	35.4	14.4	13.1	14.7 (7.2)	1.2	0.1	17.3	0.9	97.0
	15	76.1	34.7	10.0	16.9	13.2 (6.9)	1.3	0.2	18.4	1.0	95.7
暗対照区	1	99.9	99.3	ND	ND	ND (NA)	0.6	0.2	NA	NA	100.1
	4	101.1	100.1	ND	ND	ND (NA)	1.0	0.3	NA	NA	101.4
	7	100.4	99.0	ND	ND	ND (NA)	1.4	0.3	NA	NA	100.7
	11	101.7	101.2	ND	ND	ND (NA)	0.5	0.3	NA	NA	102.0
	13	100.2	99.2	ND	ND	ND (NA)	1.0	0.2	NA	NA	100.4
	15	99.5	98.4	ND	ND	0.6 (0.4)	0.4	0.4	NA	NA	99.9

ND : 検出されず、NA : 分析に供せず

IPA : イソプロピルアルコール、IPC : イソプロピルカーバメート

a : 括弧内の数値は未同定化合物のうちの最大値を示す。

b : その他の主要ピークのない分離不能な放射能画分。

c : 全種類のトラップに放射能が分布しており、水酸化ナトリウムおよび硫酸トラップに捕集された放射能は IPA と同定された。二酸化炭素は検出されなかった。

図1 ジエトフェンカルブの水中における推定光分解経路

5. 土壌吸着性に関する試験

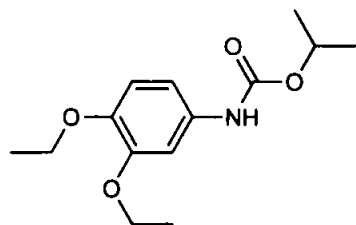
(1) ジエトフェンカルブの土壌吸着試験

(資料 V-1)

試験機関：(株) 化学分析コンサルタント

報告書作成年：1994年（2001年改訂）

供試化合物：ジエトフェンカルブ（非標識化合物）



化学名：イソプロピル=3,4-ジエトキシカルバニラート

純度：

供試土壌：下記の4種類の畑地土壌を用いた。

土壌 No.	No. 11	No. 14	No. 16	No. 20
採取場所	道立十勝農試 植調試験地 河西郡芽室町	日植防研 牛久圃場 牛久市結束町	和歌山県 農業試験場 那賀郡貴志川町	日植防研 宮崎試験場 宮崎郡佐土原町
土壤群名	淡色黒ぼく土	褐色火山灰土壤	洪積埴壤土	砂丘未熟土
土性分類	埴壤土	シルト質埴壤土	軽埴土	砂土
pH (H ₂ O)	6.2	6.8	5.2	5.8
pH (KCl)	5.8	6.9	3.7	6.3
砂 (%)	57.1	26.2	41.7	87.1
シルト (%)	21.5	50.9	29.4	5.7
粘土 (%)	21.4	22.9	28.9	7.2
有機炭素含有率(%)	2.56	4.19	1.33	1.56
陽イオン交換容量 (me/100 g)	11.7	21.4	11.0	7.0
リン酸吸収係数	1330	2000	410	660
粘土鉱物の種類	アロフェン、 バーミキュライト	アロフェン、 バーミキュライト	カオリン鉱物、 バーミキュライト	ハロイサイト

試験方法：OECD ガイドライン 106（吸着／脱着）に準拠した。

4種類の畑地土壤におけるジエトフェンカルブの土壤吸着を検討した。

土壤の調整；各土壤とも風乾細土とした。各土壤試料（乾土 5 g 相当）を遠心管に入れ、純水 5 mL を加えた後一夜放置した（土壤：水スラリー）。

予備試験：

試験溶液の作成；ジエトフェンカルブの一定量を 0.01 M 塩化カルシウム溶液に溶解して、4.22 μg/mL 溶液を調製した。

土壤スラリー調製；各土壤：水スラリーに試験溶液を 20 mL 加えた。

吸着平衡化時間の測定；各遠沈管を密栓後、遮光条件下の恒温槽内（25°C）で 4、6、8、16 および 24 時間連続振盪した。各設定時間終了時に試料を遠心分離し、上清 15 mL をジクロロメタン抽出した後、ガスクロマトグラフィー（NPD）で定量して水相濃度を求めた。同時にコントロール試料（土壤なし）についても実施した。その結果、6～24 時間のいずれの振盪時間においても変化率が 10% 以下であり、平衡状態が保たれていた（表 1）。回収率は、96.8～99.4% であった（表 2）。得られた結果に基づき、平衡化時間を 24 時間とした。

表 1 25°Cでインキュベートした土壤試料の水相中のジエトフェンカルブ残存率 (%)

平衡化時間 (時間) 試料 No.	4	6	8	16	24
No. 11	77.2	76.8	73.6	68.8	68.4
No. 14	57.7	58.1	52.6	50.8	49.4
No. 16	82.3	80.8	84.9	84.1	76.4
No. 20	91.4	90.8	91.2	90.8	91.2

初期添加量：84.40 μg

数値は 2 連の平均値

表 2 平衡化試験におけるコントロール試験の回収率

平衡化時間 (時間) 試料 No.	4	6	8	16	24
コントロール (土壤なし)	97.4	96.8	97.7	96.8	99.4

初期添加量：84.40 μg

数値は 2 連の平均値

本試験：

試験溶液の作成；ジエトフェンカルブの一定量を 0.01 M 塩化カルシウム溶液に溶解して、
0.958 および 4.80 $\mu\text{g}/\text{mL}$ の試験溶液を調製した。更にこの試験溶液を 0.01 M
塩化カルシウム溶液で希釈して 0.0479 および 0.479 $\mu\text{g}/\text{mL}$ の希釈試験溶液
を調製することにより、4 濃度の試験溶液を準備した。

土壤スラリー調製；各土壤：水スラリーに試験溶液をそれぞれ 20 mL 加えた。

吸着操作；各遠沈管を密栓後、遮光条件下の恒温槽内（25°C）で 24 時間連続振盪した。
振盪終了後、試料を遠心分離し、上清 15 mL を分析に供した。

分析方法；上清中のジエトフェンカルブ量は、ジクロロメタンで抽出し、フロリジルカラムクロマトグラフィーで精製した後、ガスクロマトグラフィー（NPD）で測定した。土壤中のジエトフェンカルブ量（4.80 $\mu\text{g}/\text{mL}$ 試験溶液添加試料のみ）
は、メタノール抽出、ジクロロメタン転溶後、フロリジルカラムクロマトグラフィーで精製し、ガスクロマトグラフィー（NPD）で測定した（図 1）。

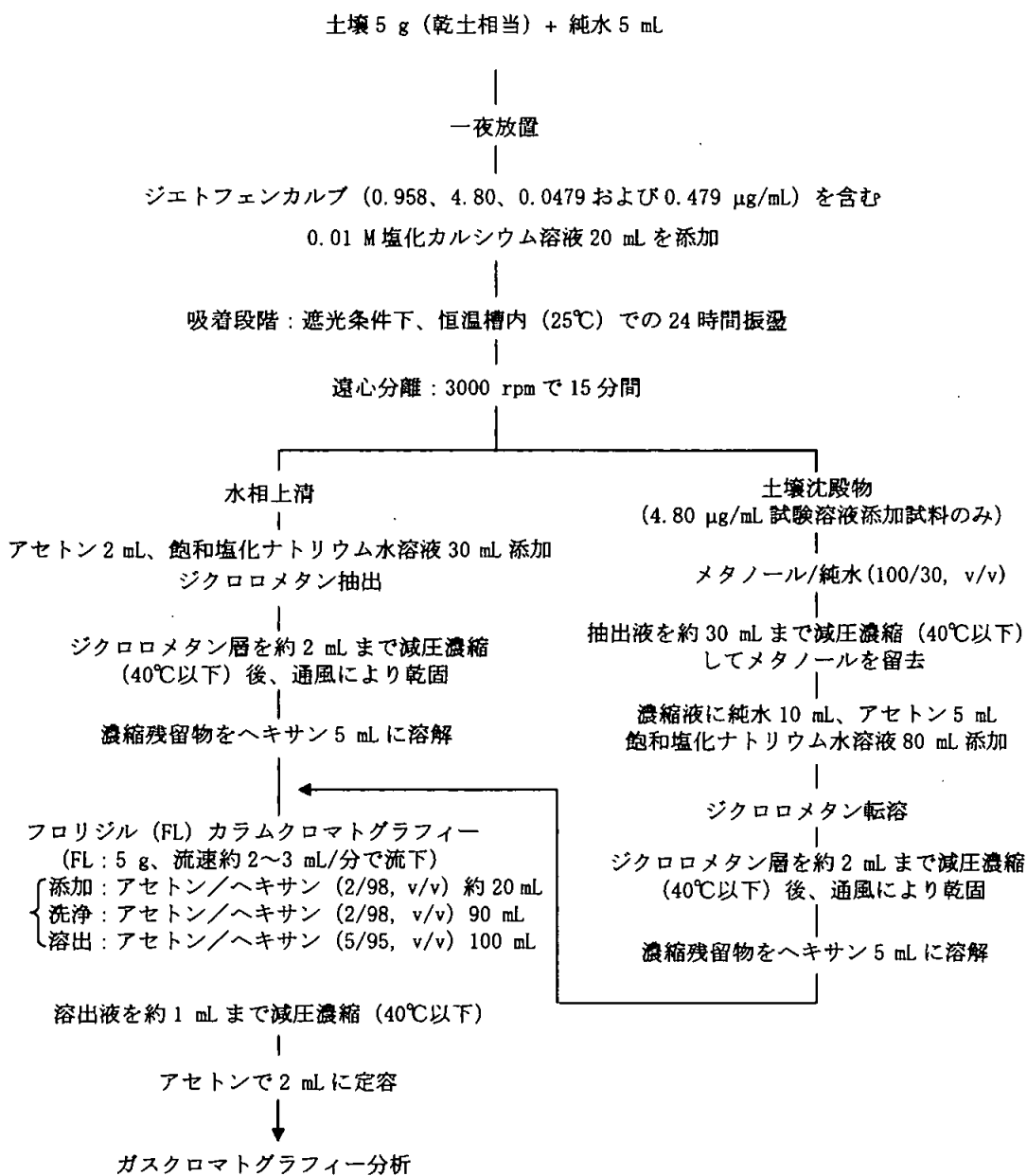


図1 吸着測定のフロースキーム

結果：

添加回収率およびプランク試験；各試験土壤 5 g に 10 µg 添加して添加回収試験を実施した結果、平均回収率は、92.0～97.6%であった（表 3）。なお、各試験土壤の水相および土壤沈殿物のプランク試験の結果は、全て検出限界未満であった（表 3）。

表3 分析操作における添加回収率とプランク値

試料 No.	回収率 (%)	プランク値	
		水相 ($\mu\text{g}/\text{mL}$)	土壤相 ($\mu\text{g}/\text{g}$)
No. 11	97.6	<0.007	<0.02
No. 14	92.0	<0.007	<0.02
No. 16	94.6	<0.007	<0.02
No. 20	94.2	<0.007	<0.02

数値は2連の平均値

物質収支 ; 4.80 $\mu\text{g}/\text{mL}$ 試験溶液添加試料を用いて物質収支を求めた結果、各土壤における平均物質収支は添加量の 85.2~89.8% であった（表4）。

表4 物質収支

土壤 No.	水相中 (μg)	土壤相中 (μg)	物質収支 (%)
No. 11	62.2	24.05	89.8
No. 14	43.75	38.45	85.6
No. 16	70.3	12.55	86.3
No. 20	75.85	6.00	85.2

初期添加量 : 96.0 μg

数値は2連の平均値

土壤吸着 ; ジエトフェンカルブの土壤吸着はFreundlichの吸着等温式によく適合し、 $K_{F,OC}^{ads}$ は 87.2~177 の範囲であり、McCall 等の土壤移動性分類によると、“high” または “medium” に分類された。吸着試験結果を表5に示した。

表5 吸着試験結果

土壤 No.	1/n ¹⁾	$K_{F,OC}^{ads}$ ¹⁾	r ¹⁾	OC% ²⁾	$K_{F,OC}^{ads}$ ³⁾
No. 11	0.833	3.09	0.998	2.56	121
No. 14	0.792	7.41	0.999	4.19	177
No. 16	0.900	2.01	0.999	1.33	151
No. 20	1.02	1.36	0.997	1.56	87.2

1) Freundlich の吸着等温式による定数項と相關係数

2) 土壤中の有機炭素含有率

3) $K_{F,OC}^{ads}$ 値を各土壤の 0% で割り求めた有機炭素吸着係数

6. 分解要因

(1) ジエトフェンカルブの土壤表面光分解試験

(資料 VI-1)

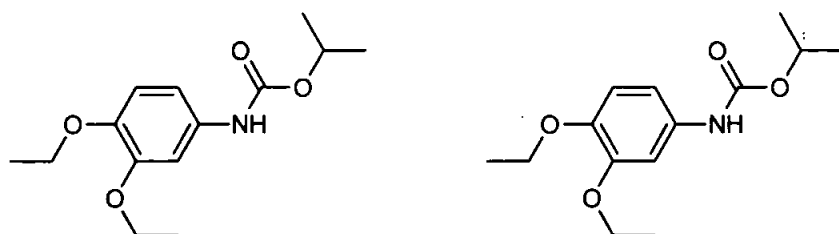
試験機関 : PTRL West, Inc.

[GLP 対応]

報告書作成年 : 2003 年

供試標識化合物 : [フェニル-¹⁴C]ジエトフェンカルブ
[イソプロピル-¹⁴C]ジエトフェンカルブ

構造式 :



* : 標識位置

化学名 : イソブロピル-*n*=3, 4-ジメトキシカルバニラート

	フェニル標識体	イソプロピル標識体
標識位置		
比放射能		
放射化学的純度		

供試土壤 : 以下ドイツ標準土壤を使用した。

採取場所	ドイツ/Rheinland-Pfaltz
土性 ¹⁾	埴土(Clay)
粒径分布 ¹⁾	
<0.002 mm	41.0
0.002~0.05	36.3
0.05~2.0	22.8
有機炭素含量 (%)	2.0
pH (0.01 M CaCl ₂)	6.8
陽イオン交換容量 (meval/100 g)	18
容水量 (g/100 g)	43
容積重 (g/100 mL)	1233
バイオマス (mg CO ₂ /100 g)	44.5

1) USDA 分類に従った。

光源： キセノンランプ (Heraeus Suntest CPS+、波長 290 nm 未満の光を遮断するフィルター付き)

光強度： 551 W/m² (波長範囲 300~800 nm)

試験で使用したキセノンランプ光源人工光の 8.3 時間の光照射は、北緯 40 度、夏季における自然太陽光 (4560 Wh/m²/日) の 1 日間の照射に相当する。

試験方法：乾土 3.1 g 相当の土壤を石英容器に入れ、脱イオン水 (1~3 mL) を添加し、スラリーとした後、風乾して水分含量を最大容水量の 40%になるよう土壤薄層を調製した。濃度約 150~160 mg/L のジエトフェンカルブ各標識体のアセトニトリル溶液 100 μL をガラス製シリングを用いて設定濃度が約 0.5 μg/g (乾土換算) となるように土壤薄層の表面に均一に処理した後、容器を 20±1°C に設定したウォーターバスに入れて、キセノンランプ光を明暗周期 12 時間で 10 日間照射した。パイレックス容器を用いて同様に調製した暗対照区用土壤薄層試料は、容器を着色フィルムで覆って 20±1°C に設定したインキュベーター内に入れ、光照射区と同じ期間、暗条件下で静置した。試験期間中、土壤の水分含量は最大容水量の 40~50%になるように調整した。また、試験期間中に生成した揮発成分を捕集するために、脱イオン水を通した加湿空気を土壤試料上に通気し、二酸化炭素を 2 個の 10% KOH 溶液で、揮発性有機物質をエチレングリコールトラップで捕集した。さらに揮発性有機物質の捕集のために、フェニル標識体処理では活性炭トラップ、イソプロピル標識体処理では DNPH (2,4-ジフェニルヒドラジン誘導体で被覆したシリカ樹脂) トラップを設置した。

試料は以下の時点の明周期の終わりに 2 連で採取した。

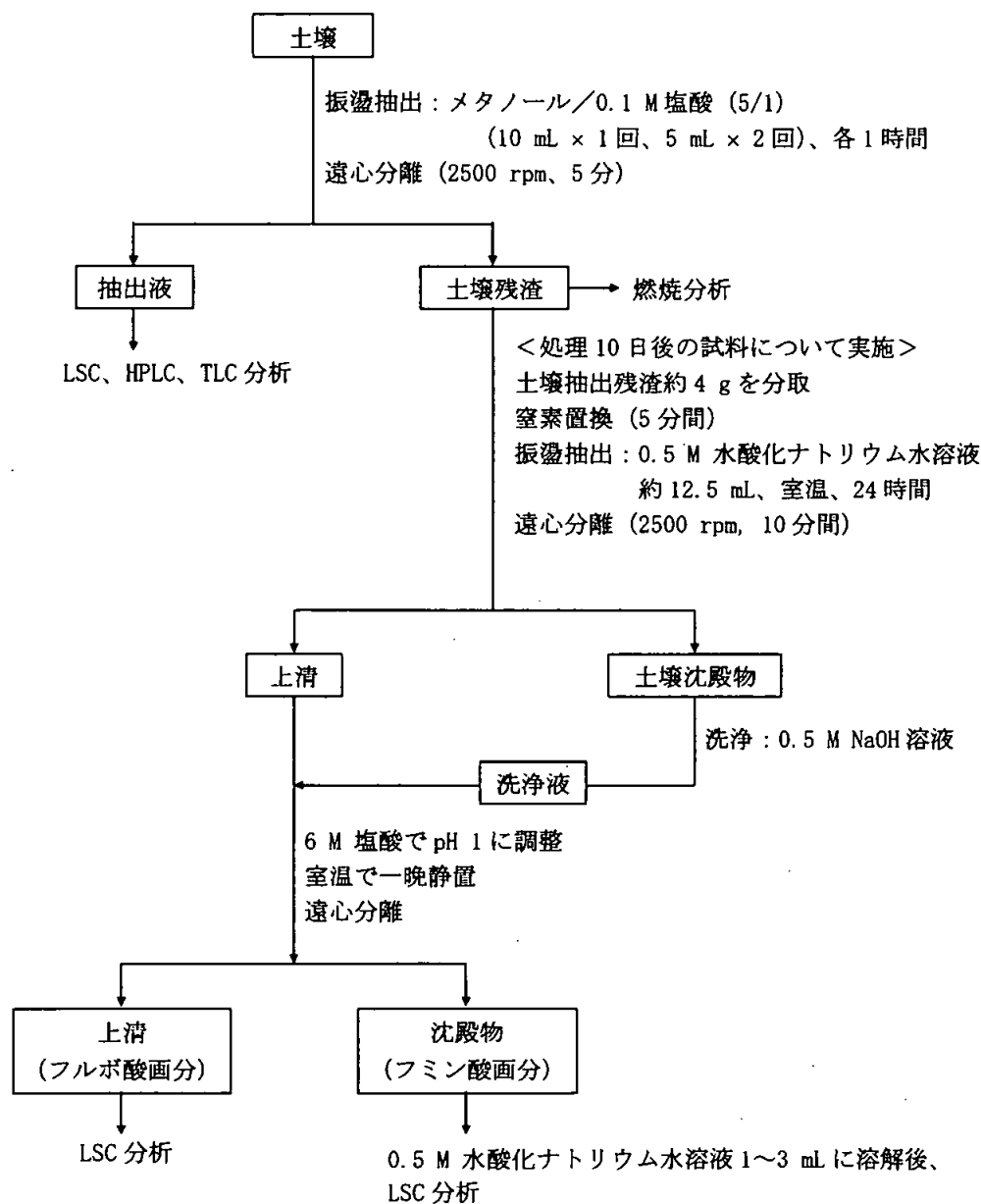
試料採取時点

フェニル標識体：処理直後、11 時間、1、2、4、7 および 10 日後

イソプロピル標識体：処理直後、0.5、1、2、4、7 および 10 日後

採取した試料は次頁のスキームに従って分析し、ジエトフェンカルブおよびその代謝分解物を HPLC および TLC コクロマトグラフィーにより同定・定量した。さらに、一部の土壤残渣については次頁のスキームに従い、アルカリ分画による土壤残渣の化学的特徴付けを行った。

10% KOH およびエチレングリコールトラップ中の放射能は直接 LSC 分析により測定し、活性炭トラップは分析しなかった。DNPH トラップはアセトニトリルで振盪抽出後、LSC により放射能の測定を行った。



土壤残渣中の放射能量からフルボ酸画分およびフミン酸画分の放射能量を差し
引いたものをヒューミン画分の放射能量とした。

ジエトフェンカルブの半減期は、一次速度式を用いて算出した。

試験結果：

¹⁴C 分布：フェニル標識体およびイソプロピル標識体を土壤表面に処理し光照射した試料における放射能分布の経時変化を暗所対照区とともにそれぞれ表 1 および 2 に示した。

試験期間中の物質収支は、処理放射能の 91.3～101.7% の範囲であった。また、試験終了時における抽出液、CO₂ および土壤残渣中の放射能は、光照射区ではそれぞれ処理量の 36.4～40.8%、15.3～16.9% および 34.0～39.2% であり、暗対照区ではそれぞれ 49.5～67.2%、2.0～17.9% および 24.6～27.9% であった。揮発性有機物質の生成は試験期間を通して光照射区が 4.1% 以下、暗対照区が 1.6% 以下と微量であった。

代謝分解：ジエトフェンカルブは光照射により土壤表面上で速やかに分解し、光照射 10 日後において処理放射能の 12.0～12.8% まで減少した。一方、暗対照区ではジエトフェンカルブは処理 10 日後に 40.0～56.2% 残存した。

主要代謝分解物は 6-NO₂-DFC および 4-OH-DFC であった。6-NO₂-DFC は光照射区において、フェニル標識体およびイソプロピル標識体でそれぞれ処理放射能の最大 18.0% (10 日後) および 28.9% (7 日後) 生成し、暗対照区ではそれぞれ最大 2.2% (10 日後) および 15.7% (0.5 日後) 生成した。4-OH-DFC は光照射区においてフェニル標識体およびイソプロピル標識体でそれぞれ最大 9.8% (11 時間後) および 4.4% (0.5 日後) 生成し、暗対照区ではそれぞれ最大 7.0% (処理直後) および 4.1% (4 日後) 認められた。その他、構造未同定の複数の代謝分解物が認められたが、試験期間中の生成量はいずれも 5% 未満と微量であった。

土壤残渣についてアルカリ分画を行った結果、いずれもヒューミン画分に最も多く放射能が存在し (光照射区；19.0～22.5%、暗対照区；13.8～16.2%)、次いでフルボ酸 (光照射区；13.0～13.7%、暗対照区；8.5～9.4%) で、フミン酸に分布した放射能は微量 (3.3% 以下) であった。

表1 土壌表面光分解試験における¹⁴C分布の経時変化(フェニル標識体)

試料採取時点	処理放射能に対する割合(%)						
	0時間	11時間	1日	2日	4日	7日	10日
光照射区							
土壤抽出 ¹⁴ C ^a	98.7	84.9	77.5	71.3	61.6	45.4	36.4
ジエトフェンカルブ	90.5	66.2	61.2	52.9	46.5	18.7	12.0
6-NO ₂ -DFC	0.3	5.0	4.4	12.2	11.7	15.7	18.0
4-OH-DFC	7.0	9.8	3.9	2.2	0.7	0.7	0.9
未同定代謝物1	ND	ND	ND	ND	ND	2.9	2.0
未同定代謝物2	0.9	2.3	3.1	2.6	1.1	3.9	1.5
その他	ND	1.7	5.0	1.4	1.8	3.7	2.1
土壤残渣 ¹⁴ C	3.1	11.1	15.4	20.1	29.6	37.0	39.2
フルボ酸 ^a	NA	NA	NA	NA	NA	NA	13.7
フミン酸 ^a	NA	NA	NA	NA	NA	NA	3.1
ヒューミン ^a	NA	NA	NA	NA	NA	NA	22.5
揮発性物質用トラップ							
KOH(CO ₂)	NA	0.4	1.6	3.4	3.0	11.3	16.9
エチレングリコール	NA	ND	ND	ND	ND	ND	ND
活性炭	NA	NA	NA	NA	NA	NA	NA
物質収支	101.7	96.3	94.5	94.6	94.3	93.6	92.5
暗所対照区							
土壤抽出 ¹⁴ C液 ^a	98.7	89.7	88.8	87.6	79.0	70.3	67.2
ジエトフェンカルブ	90.5	81.0	80.9	82.8	70.3	60.7	56.2
6-NO ₂ -DFC	0.3	1.4	0.1	0.9	1.9	2.1	2.2
4-OH-DFC	7.0	4.8	3.0	3.0	5.7	ND	5.3
未同定代謝物1	ND	ND	ND	ND	ND	ND	ND
未同定代謝物2	0.9	1.4	1.8	0.7	0.5	4.6	1.3
その他	ND	1.2	3.1	0.3	0.7	2.9	2.2
土壤残渣 ¹⁴ C	3.1	6.0	7.3	10.5	17.0	24.6	27.9
フルボ酸 ^a	NA	NA	NA	NA	NA	NA	8.5
フミン酸 ^a	NA	NA	NA	NA	NA	NA	3.3
ヒューミン ^a	NA	NA	NA	NA	NA	NA	16.2
揮発性物質用トラップ							
KOH(CO ₂)	NA	ND	0.2	0.5	1.0	1.8	2.0
エチレングリコール	NA	ND	ND	ND	ND	ND	ND
活性炭	NA	NA	NA	NA	NA	NA	NA
物質収支	101.7	95.7	96.2	98.5	96.9	96.6	97.0

ND: 検出されず、NA: 分析に供せず 数値は2連の平均値

a: 土壌抽出液および土壤残渣画分の数値は申請者が計算。

表2 土壌表面光分解試験における¹⁴C分布の経時変化(イソプロピル標識体)

試料採取時点	処理放射能に対する割合(%)						
	0時間	0.5日	1日	2日	4日	7日	10日
光照射区							
土壤抽出 ¹⁴ C ^a	93.7	85.1	79.9	72.2	62.2	58.5	40.8
ジエトフェンカルブ	88.7	59.8	46.5	37.8	36.3	19.9	12.8
6-NO ₂ -DFC	0.3	16.7	25.5	22.5	16.1	28.9	21.9
4-OH-DFC	2.6	4.4	1.6	2.3	1.7	1.7	ND
未同定代謝物1	0.5	1.0	2.6	4.3	3.7	3.2	1.7
未同定代謝物2	1.1	1.7	2.5	3.7	2.2	1.8	ND
その他	0.7	1.6	1.5	1.7	2.3	3.3	4.4
土壤残渣 ¹⁴ C	2.7	7.7	10.2	17.2	26.9	26.9 ^b	34.0
フルボ酸 ^a	NA	NA	NA	NA	NA	NA	13.0
フミン酸 ^a	NA	NA	NA	NA	NA	NA	2.1
ヒューミン ^a	NA	NA	NA	NA	NA	NA	19.0
揮発性物質用トラップ							
KOH (CO ₂)	NA	0.8	2.8	4.6	8.1	9.6	15.3
エチレングリコール ^a	NA	0.2	0.3	3.8	0.4	0.2	0.6
DNPH ^a	NA	0.1	0.1	0.3	0.3	1.3	0.8
物質収支	96.4	93.8	93.2	98.0	97.7	96.6 ^b	91.3
暗所対照区							
土壤抽出 ¹⁴ C ^a	93.7	91.5	87.9	85.8	78.3	59.0	49.5
ジエトフェンカルブ	88.7	66.8	81.0	80.8	70.1	49.0	40.0
6-NO ₂ -DFC	0.3	15.7	1.0	0.4	2.1	3.9	4.3
4-OH-DFC	2.6	3.0	1.0	2.9	4.1	2.8	1.2
未同定代謝物1	0.5	0.7	0.6	0.7	0.8	0.7	ND
未同定代謝物2	1.1	1.0	0.5	0.5	0.5	0.8	0.3
その他	0.7	4.3	3.9	0.7	0.8	1.9	3.8
土壤残渣 ¹⁴ C	2.7	4.8	5.3	7.5	10.6	20.9 ^b	24.6
フルボ酸 ^a	NA	NA	NA	NA	NA	NA	9.4
フミン酸 ^a	NA	NA	NA	NA	NA	NA	1.5
ヒューミン ^a	NA	NA	NA	NA	NA	NA	13.8
揮発性物質用トラップ							
KOH (CO ₂)	NA	0.1	1.7	2.7	6.6	13.8	17.9
エチレングリコール ^a	NA	ND	0.2	1.2	0.5	0.1	0.2
DNPH ^a	NA	0.1	0.1	0.4	0.4	0.4	0.8
物質収支	96.4	96.3	95.0	97.5	96.4	94.1 ^b	92.9

ND: 検出されず、NA: 分析に供せず 数値は2連の平均値

a: 土壤抽出液、土壤残渣画分、エチレングリコールおよびDNPHの数値は申請者が計算。

b: 報告書中の分解物分布表(Table VIII)の数値に転記誤りがあったため、物質収支表(Table VI)並びにRaw Data (Appendix K)から申請者が計算。

推定半減期：光照射区および暗対照区におけるジエトフェンカルブの消失半減期を下表に示した。ジエトフェンカルブは、光照射区において暗対照区よりも速やかに分解し、半減期は光照射区で3.6～4.1日、暗対照区で9.5～15日であった。本試験系で使用したキセノンランプ光8.3時間の光照射が、代表的な北緯40度における自然太陽光の1日間(24時間)の照射に相当し、試験系では明暗周期12時間で光照射していることから、自然太陽光下(北緯40度、夏季)におけるジエトフェンカルブの半減期は5.2～5.9日と推算された。

供試化合物	光照射区 (試験系)	自然太陽光(北緯40度、夏季) 換算値	暗所対照区
フェニル標識体	3.6日 ($r^2 = 0.9712$) ^a	5.2日	15日 ($r^2 = 0.9559$)
イソプロピル標識体	4.1日 ($r^2 = 0.9307$)	5.9日	9.5日 ($r^2 = 0.8730$)

^a : r^2 は相関係数を示す。

推定光分解経路：ジエトフェンカルブの土壤表面上における予想光分解経路を図1に示した。ジエトフェンカルブの土壤表面における主要分解経路は、フェニル環6位のニトロ化およびフェニル環4位のO-脱エチル化であった。生成した分解物はさらに代謝分解を受け、最終的に土壤残渣となるか、または二酸化炭素にまで無機化されると考えられた。

図1 ジエトフェンカルブの土壤表面における推定光分解経路

7. 土壌溶脱性に関する試験（土壌カラム移行性）

(1) ジエトフェンカルブの土壌リーチング試験

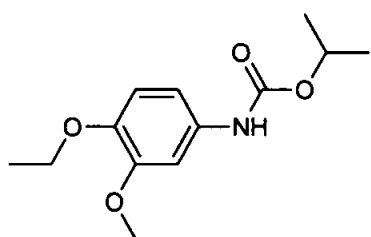
(資料 VII-1)

試験機関：住友化学工業株式会社

報告書作成年：1988年

供試標識化合物：[フェニル-¹⁴C]ジエトフェンカルブ

化学構造：



*: 標識位置

化 学 名：イソプロピル=3,4-ジエトキシカルバミラート

比放射能：

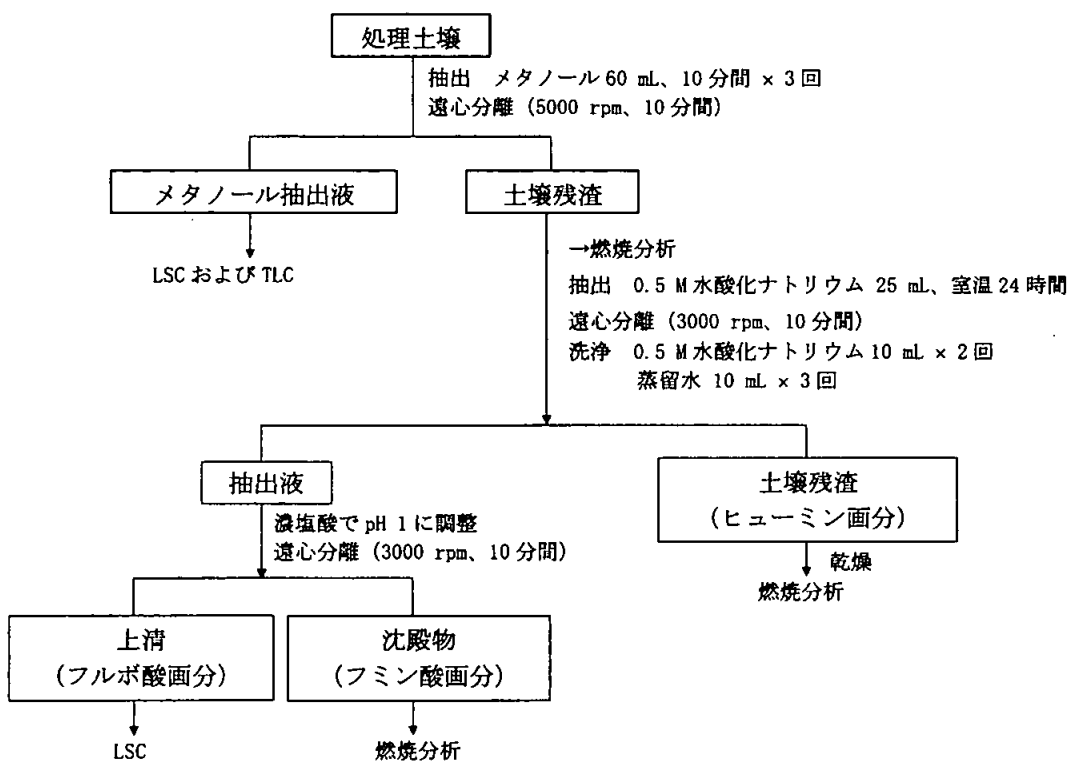
放射化学的純度：

供試土壤：下記の特性を有する4種類の土壤を使用した。

土壌名	牛久土壤	札幌土壤	安土土壤	武庫土壤
採取場所	茨城県牛久市	北海道札幌市	滋賀県蒲生郡 安土町	兵庫県武庫川
土性	壤土	埴壤土	砂壤土	砂土
砂 (%)	56.0	48.0	70.5	97.0
シルト (%)	38.5	28.0	17.5	0.3
粘土 (%)	5.5	24.0	12.0	2.7
粘土鉱物	アロフェン	アロフェン	カオリナイト イライト	—
有機物含量 (%)	3.2	11.6	1.6	0.1
陽イオン交換容量 (me/100 g 乾土)	21.5	39.0	9.8	23.2
pH (H ₂ O)	6.9	5.3	4.6	6.6
最大容水量 (g/100 g 乾土)	125.7	85.7	38.3	51.0

—；測定データなし

試験方法：風乾し 2 mm の篩を通した各土壤を内径 3 cm のガラスカラムに高さ 30 cm となるように充填し（乾土 131~234 g 相当）、溶出液が透明になるまで蒸留水を通して土壤カラムを調製した。また別に、高さ 6 cm 相当（乾土 26~47 g）の各土壤にフェニル標識体のメタノール溶液（60 µL）を乾土当たり 0.5 ppm になるように添加して混合し、この処理土壤を対応する土壤カラムに上乗せした。25±2°C の暗条件下で、蒸留水 350 mL（カラムの高さ 50 cm に相当する）を 2.0 mL/h の速度で滴下して溶出液を分画採取した。揮散性物質は 0.5 M 水酸化ナトリウム水溶液で捕集した。滴下後、土壤を 6 cm 毎に 6 個の画分（処理土壤、0~6 cm、6~12 cm、12~18 cm、18~24 cm、24~30 cm）に等分して燃焼分析に供し、溶出液は 2 連で LSC 分析に供した。武庫土壤の溶出液は、pH 1 に調整後、同容量の酢酸エチルで 3 回抽出し、抽出液を TLC 分析に供した。全土壤について、処理土壤画分を下記のスキームに従い処理し、TLC 分析に供して、ジエトフェンカルプおよび分解物の同定・定量を行った。



試験結果：各土壤の放射能分布について表 1 に示し、武庫土壤の溶出液中の放射能分布について表 2 に示した。

牛久、札幌および安土の各土壤では放射能は処理土壤および 0~6 cm 画分に、それぞれ 44.8~77.4%TAR および 14.3~41.4%TAR が存在し、溶出液中放射能は 0.4%TAR (%TAR : 総処理放射能に対する割合 (%)) 以下であった。有機物含量が 0.1% の武庫土壤では、溶出液中に 68.7%TAR の放射能が検出され、その約半分が 0~80 mL の溶出液画分に含まれていた。揮散性物質は全土壤について 0.1%TAR 未満であった。牛久、札幌および安土土壤の処理土壤の抽出液および武庫土壤の溶出液中の放射能の大部分は未変化のジエトフェンカルブであり、各処理土壤の抽出液中に 6-N₂O-DFC が認められたが、2.8%TAR 以下であった。安土、牛久、および札幌土壤において、17.0~48.4%TAR が結合性 ¹⁴C であり、フミン酸画分よりもヒューミンおよびフルボ酸画分に多く分布していた。

以上の結果から、ジエトフェンカルブは畑地土壤からは容易に溶脱しないと考えられた。

表1 リーチング後の土壤カラムにおける放射能分布

	処理 ¹⁴ Cに対する割合 (%)			
	牛久土壤	札幌土壤	安土土壤	武庫土壤
処理土壤 ¹⁴ C	44.8	68.6	77.4	6.3
抽出液 ¹⁴ C	6.4	20.2	60.4	4.0
ジエトフェンカルブ	5.5	17.2	58.7	0.6
6-NO ₂ -DFC	0.1	2.0	0.9	2.8
その他	0.8	1.0	0.8	0.6
結合性 ¹⁴ C (土壤残渣)	38.4	48.4	17.0	2.3
フルボ酸	14.7	11.4	6.4	1.3
フミン酸	10.1	7.5	2.3	<0.1
ヒューミン	13.6	29.5	8.3	1.0
0~6 cm	41.4	25.0	14.3	4.8
6~12 cm	4.0	0.3	0.6	5.0
12~18 cm	0.5	0.1	0.1	3.7
18~24 cm	0.4	0.1	<0.1	2.6
24~30 cm	0.5	0.1	<0.1	4.1
溶出液	0.4	0.3	<0.1	68.7
揮散性物質	<0.1	<0.1	<0.1	<0.1
合 計 ¹⁴ C	92.0	94.5	92.4	95.2

表2 武庫土壤の溶出液中放射能分布および分解物

	処理 ¹⁴ Cに対する割合 (%)		
	溶出液画分 (mL)		
	0~80	81~199	200~351
有機抽出層 ¹⁴ C	34.1	20.3	10.2
ジエトフェンカルブ	30.5	19.7	9.4
6-NO ₂ -DFC	<0.1	<0.1	<0.1
その他	0.6	0.6	0.8
水層 ¹⁴ C	0.6	1.4	2.2
合 計 ¹⁴ C	34.7	21.7	12.4

ジエトフェンカルブの動植物および環境中における代謝分解

ジエトフェンカルブの哺乳動物、植物、土壤における代謝、分解、残留の要約は下記の通りであり、予想代謝経路を図1に、また、結果の概要を添付の表にまとめた。

動物：

フェニル基の炭素を ^{14}C で均一に標識したジエトフェンカルブを雌雄ラットに経口投与して代謝を調べた。10 mg/kg あるいは 300 mg/kg の割合で単回経口投与すると、投与した放射能のほとんどは投与後 48 時間以内に尿および糞中に排泄された。投与後 7 日間の ^{14}C 排泄率は 99~100% であり、主要排泄経路は尿中排泄(80~88%)であった。血中および各種組織中の ^{14}C 濃度は投与後 0.5 あるいは 1 時間に最高値に達した後に速やかに減少し、 ^{14}C 組織残留は低かった。ジエトフェンカルブの尿中の主要代謝物は 4-OH-DFC の硫酸抱合体および 3-OEt-4-OH-AA の硫酸抱合体であった。また、4 種の含硫黄代謝物 (4-OH-5-MA-DFC、3-OEt-4-OH-5-MA-AA、4-OH-5-SMe-DFC、3-OEt-4-OH-5-SOMe-AA) が検出された。これら含硫黄代謝物の存在により、4-OH-DFC および 3-OEt-4-OH-AA の一部がグルタチオン抱合を受け、さらにシステイン抱合体等を経由して、各種含硫黄代謝物へと代謝されることが示された。フェニル基の炭素を ^{14}C で均一に標識した 4-OH-5-cysteine-DFC とラット肝サイトゾールとの *in vitro* 代謝の結果、4-OH-5-TLA-DFC が生成した。ラット *in vivo* では 4-OH-5-TLA DFC が排泄物中に検出されなかつたが、ラットにはジエトフェンカルブがシステイン抱合体を経て 4-OH-5-TLA DFC へと代謝される経路が存在していると考えられた。ジエトフェンカルブの主要代謝反応は、1) 4-エトキシ基の脱エチル化、2) カーバメート結合の開裂、3) アミノ基のアセチル化、および4) 前記の反応で生成したフェノール類と硫酸あるいはグルクロン酸との抱合体化であった。あらかじめ非標識ジエトフェンカルブを 10 mg/kg/day の割合で 14 日間連続投与しても、 ^{14}C 標識体の代謝に顕著な変化は認められなかつた。いずれの投与群においても代謝に顕著な性差は認められなかつた。

植物：

きゅうり

フェニル基の炭素を ^{14}C で均一に標識したジエトフェンカルブを 28 g ai/10 a の割合できゅうりの果実表面に 1 回塗布処理し、処理 3 日、7 日、10 日および 14 日後に果実を採取した。処理果実からの ^{14}C 回収率は、処理 7 日および 14 日後において 93.3% および 91.9% であった。果実における主要残留物として、未変化のジエトフェンカルブが処理 ^{14}C 量の 70.9~78.1% (76.0~85.0% TRR, TRR: 総残留放射能) 検出された。代謝分解物として 3-OH-DFC (遊離体、抱合体)、DFC-CH₂OH (遊離体、抱合体)、4-OH-DFC (抱合体)、DFC-COOH (抱合体) および DPO (遊離体) が生成したが、いずれも処理 ^{14}C 量の 2.1% (2.1% TRR) 以下であった。

ジエトフェンカルブのきゅうりにおける主要代謝分解経路はイソプロピルメチル基の酸化、フェニル基 3 あるいは 4 位の脱エチル化およびそれらに続く抱合化であった。

きゅうり、ぶどう

イソプロピル基のメチル炭素あるいはフェニル基の炭素を均一に¹⁴Cで標識したジエトフェンカルブを、果実形成期のきゅうり葉面および第7～8葉期のぶどう葉面にそれぞれ1250 µg ai/葉および125 µg ai/葉の割合で1回塗布処理し、それぞれ処理30日および90日後まで経時的に植物全体を採取した。試験系からの¹⁴C回収率は処理30日後のきゅうりで49.6～55.8%、処理90日後のぶどうで31.2～36.6%であった。きゅうりの処理葉（処理30日後）では未変化のジエトフェンカルブは18.0～26.8%TRR残留しており、主要代謝物としてDCF-COOHの抱合体（15.3～16.3%TRR）および3-OH-DFCの遊離体と抱合体（合量値11.6～15.7%TRR）が検出され、その他の微量代謝物として、DPO（遊離体）および4-OH-DFC（抱合体）が生成した。一方、ぶどう処理葉（処理90日後）でのジエトフェンカルブ残存量は61.6～71.0%TRRであり、微量代謝物としてDFC-COOH（抱合体）、3-OH-DFC（抱合体）およびDPO（遊離体）が検出された。

ジエトフェンカルブのきゅうり及びぶどうにおける主要代謝分解経路は、イソプロピルメチル基の酸化、フェニル基あるいは4位の脱エチル化およびそれらに続く抱合化であった。

ぶどう

イソプロピル基のメチル炭素あるいはフェニル基の炭素を均一に¹⁴Cで標識したジエトフェンカルブを、収穫35日前の果実着色期のぶどう果実および葉に50 g ai/10 aの割合で1回散布した。散布35日後の果実における¹⁴C残留濃度は2.831～5.464 ppmであった。未変化のジエトフェンカルブは19.9～23.2%TRR残留しており、主要代謝物として抱合体である4-Glc-DFC（14.6～15.5%TRR）および4-OH-5-(0-Glc-TLA)-DFC（20.7～21.5%TRR）が生成した。また、その他の微量代謝物として4-OH-DFC、4-Glc-5-TLA-DFCおよび4-OH-5-TLA-DFCが検出された。

ジエトフェンカルブのぶどうにおける主要代謝分解経路はフェニル基4位の脱エチル化とそれに続くメルカプト乳酸およびグルコースの抱合化であった。

トマト

イソプロピル基のメチル炭素あるいはフェニル基の炭素を均一に¹⁴Cで標識したジエトフェンカルブを収穫10日および3日前の成熟期のトマト植物に38 g ai/10 aの割合で計2回散布した。最終散布3日後の果実における¹⁴C残留濃度は0.085～0.116 ppmであった。主要残留物は未変化のジエトフェンカルブ（69.0～72.9%TRR）であり、代謝物として4-OH-5-(0-Glc-TLA)-DFC、4-OH-DFC/DFC-COOH、4-Glc-DFC/4-Glc-5-TLA-DFC、4-OH-5-(0-Glc-TLA)-DFCおよびDPOが生成したがいずれも2.6%TRR以下であった。

ジエトフェンカルブのトマトにおける主要代謝分解経路はイソプロピルメチル基の酸化とそれに続く分子内環化、もしくはフェニル基4位の脱エチル化とそれに続くメルカプト乳酸およびグルコースの抱合化であった。

レタス

イソプロピル基のメチル炭素あるいはフェニル基の炭素を均一に ^{14}C で標識したジエトフェンカルプを収穫 35 日、28 日、21 日、14 日および 7 日前に 38 g ai/10 a の割合で計 5 回散布した。最終散布 7 日後の葉における ^{14}C 残留濃度は 1.760~2.023 ppm であった。主要残留物は未変化のジエトフェンカルプ (52.0~57.2%TRR) であり、微量代謝物として 4-OH-DFC、4-Glc-DFC/4-Glc-5-TLA-DFC、4-OH-5-TLA-DFC および 4-OH-5-(O-Glc-TLA)-DFC が生成したが、いずれも 1.9%TRR 以下であった。

ジエトフェンカルプのレタスにおける主要代謝分解経路はフェニル基 4 位の脱エチル化とそれに続くメルカプト乳酸およびグルコースの抱合化であった。

土壤中代謝物 6-NO₂-DFC のきゅうりにおける取込み

フェニル基の炭素を ^{14}C で均一に標識した 6-NO₂-DFC を 0.1 ppm の割合で土壤に混和後、第 2 本葉期のきゅうり苗を移植し、移植 56 日および 62 日後に植物全体（果実および茎葉部）を採取した。62 日後の果実および茎葉部での ^{14}C 濃度は <0.0008 ppm (処理 ^{14}C 量に対して <0.019%) および 0.0027 ppm (同 0.068%) であり、6-NO₂-DFC の土壤からきゅうりへの取込みは殆どなかった。

土壤：

好気的土壤中動態試験

イソプロピル基のメチル炭素あるいはフェニル基の炭素を均一に ^{14}C で標識したジエトフェンカルプを牛久土壤(壤土、pH6.9、有機物含量 3.2%) および安土土壤(砂壤土、pH5.1、有機物含量 0.8%) に乾土あたり 0.5 ppm の割合で添加し、好気条件下 25°C の暗所で水分含量を 0.33 bar 容水量の 75% に調整し、270 日間インキュベーションした。試験期間中の物質収支は 77.0~100.0% であった。ジエトフェンカルプは、牛久土壤および安土土壤でそれぞれ 6.2 日および 0.3 日の消失半減期で速やかに分解された。代謝分解物として 6-NO₂-DFC が最大で処理 ^{14}C 量の 4.7% (イソプロピル標識体、安土土壤、処理 1 日後) 検出され、他の代謝分解物も複数検出されたが、いずれも 8.0% 以下 (最大成分：イソプロピル標識体、安土土壤、処理 1 日後、TLC 原点部分) であった。土壤の抽出残渣中の ^{14}C は処理 3~60 日後に最大 (添加 ^{14}C の 43.2~73.5%) となり 270 日後には 28.2~66.2% に減少した。処理 270 日後に生成した $^{14}\text{CO}_2$ は 30.5~57.0% であった。

ジエトフェンカルプの好気土壤中における主要分解経路は、フェニル基 6 位のニトロ化であり、最終的に二酸化炭素へ無機化あるいは土壤へ強固に吸着された。

土壤表面光分解試験

イソプロピル基のメチル炭素あるいはフェニル基の炭素を均一に ^{14}C で標識したジエトフェンカルプを、ドイツ土壤(埴土)を用いて調製した土壤薄層に 0.5 $\mu\text{g/g}$ の濃度で均一に処理し、20±1°C で 10 日間、波長 290 nm 未満の光をフィルター除去したキセノンランプ

光(551 W/m², 300~800 nm)を明暗周期 12 時間で照射した。試験期間中の物質収支は 91.3% ~101.7%と良好であった。光照射下においてジエトフェンカルブの分解は促進され、自然太陽光下（北緯 40 度）における半減期は 5.2~5.9 日であった。主要分解物は 6-NO₂-DFC (最大 28.9%、7 日後) および 4-OH-DFC (最大 9.8%、11 時間後) であり、その他複数の未同定分解物が認められたが、生成量はいずれも 5%未満と微量であった。光照射区において処理 10 日後までに生成した ¹⁴CO₂ ならびに土壤残渣はそれぞれ処理 ¹⁴C 量の 15.3~16.9% (イソプロピル標識体～フェニル標識体) および 34.0~39.2% (同) であった。土壤残渣についてアルカリ分画による化学的特徴付けを行った結果、いずれもヒューミン画分に最も多く放射能が存在し (光照射区 ; 19.0~22.5%)、次いでフルボ酸 (光照射区 ; 13.0~13.7%) で、フミン酸に分布した放射能は微量 (3.3%以下) であった。

光照射下、ジエトフェンカルブは土壤表面において分解が促進され、その主要分解経路はフェニル基 6 位のニトロ化およびフェニル基 4 位の脱エチル化であり、最終的に二酸化炭素へ無機化あるいは土壤へ強固に吸着された。

土壤吸着性

ジエトフェンカルブの濃度が 0.048、0.48、0.96 および 4.8 μg/mL となるように調整した 0.01 M 塩化カルシウム水溶液 20 mL を 4 種類の標準土壤 [十勝土壤 (埴壌土)、牛久土壤 (シルト質埴壌土)、和歌山土壤 (軽埴土)、宮崎土壤 (砂土)] 各 5 g と純水 5 mL の懸濁試料に加えて、25°C の暗条件下で 24 時間振とうして土壤吸着性試験を実施した。フロイントリッヒ等温式より求めた吸着係数 (K^{ads}_p) および有機炭素吸着係数 ($K^{ads}_{p_{oc}}$) はそれぞれ 1.36~7.41 および 87.2~177 であり、McCall 等による土壤移行度によれば “High~Medium” に分類された。

土壤溶脱性

フェニル基の炭素を均一に ¹⁴C で標識したジエトフェンカルブを 4 種類の土壤 [牛久 (壤土)、札幌 (埴壌土)、安土 (砂壌土)、武庫 (砂土)] に乾土あたり 0.5 ppm となるよう処理した。別途、内径 3 cm のガラスカラムに各土壤を 30 cm の深さに均一に充填して土壤カラムを作成し、その上層に各処理土壤を添加後、直ちに 2.0 mL/時の流速で合計 350 mL の蒸留水を滴下した。有機物含量が 0.1%と極めて低い武庫砂では溶出液に処理 ¹⁴C の 68.7% が検出され、その大部分は未変化のジエトフェンカルブであった。一方、畑地土壤である牛久・札幌・安土土壤では処理 ¹⁴C の大部分が土壤カラム上層部 (処理部および 0~6 cm 画分) に分布し、溶出液中の ¹⁴C は 0.4%以下とわずかであった。土壤抽出液中よりジエトフェンカルブおよび 6-NO₂-DFC がそれぞれ処理 ¹⁴C の 5.5~58.7%、および 0.1~2.0% 検出された。以上のことから、ジエトフェンカルブおよびその代謝分解物の畑地土壤中での下方移行性は低いものと考えられた。

水中：

加水分解試験

イソプロピル基のメチル炭素あるいはフェニル基の炭素を均一に ^{14}C で標識したジエトフェンカルブを pH 3、5、7、9 または 11 の滅菌緩衝液に添加して 1 mg/L の試験水を調製後、 $25\pm1^\circ\text{C}$ 、 $40\pm1^\circ\text{C}$ あるいは $60\pm1^\circ\text{C}$ の暗条件下で 30 日間インキュベーションして加水分解試験を実施した。ジエトフェンカルブは pH 3、5、7 および 9 緩衝液中の各温度、並びに pH 11 緩衝液中の 25°C および 40°C で安定であったが、pH 11、 60°C においてのみ半減期 30.2 日（フェニル標識体処理）で徐々に加水分解を受け、主要分解物として DEA が最大 23.8% (30 日後) 検出された。

ジエトフェンカルブは自然水中で通常認められる pH 5~9 領域では加水分解的に安定であったが、高温度・強塩基性条件下においてはカーバメート結合の開裂により分解した。

水中光分解試験

イソプロピル基のメチル炭素あるいはフェニル基の炭素を均一に ^{14}C で標識したジエトフェンカルブを滅菌した純水 (pH 6.2~6.9) および自然水 (英國 West Yorkshire 州 Chevin Forest Park の河川水、pH 7.4~8.0) に 1%未満のアセトニトリルを溶解助剤として添加して約 1 mg/L の試験水を調製後、 $25\pm2^\circ\text{C}$ で 15 日間、波長 290 nm 未満の光をフィルター除去したキセノンランプ光 (約 16.2 W/m²、300~400 nm) を連続照射した。試験期間中の物質収支は 93.6%~102.7% と良好であった。光照射下においてジエトフェンカルブの分解は促進され、さらにその分解は純水中よりも自然水中においてより速やかに進行し、自然太陽光下 (東京、春) での半減期は純水中で 256~262 日、自然水中で 21.3~22.7 日であった。純水中において処理 ^{14}C 量の 10% を越える分解物は検出されなかったが、自然水中ではイソプロピル標識体から IPC (最大 16.9%、15 日後) および IPA (同 31.7%、13 日後) が主要に認められ、さらにフェニル標識体試料から $^{14}\text{CO}_2$ が最大 20.1% (13 日後) 生成した。

光照射下、ジエトフェンカルブは特に自然水中で分解が促進され、その主要分解経路はカーバメート結合の開裂に続くカルバモイル基の脱離であり、最終的には二酸化炭素へ無機化された。

図1 ジエトフェンカルプの動植物、土壤および水中における代謝分解経路

表1 代謝分解の概要

			投与または処理放射能に対する割合(%)																										
試料			ジエトフェノン	4-OH-DFC	3-OEt-4-OH-AA	DFC-COON	3-OH-DFC	DPO	6-NO ₂ -DFC	DFC-CH ₂ OH	3,4-OEt-6-OH-AA	DEA	IPC	IPA	4-Glc-DFC	4-OH-5-TLA-DFC	4-OH-5-(O-Glc-TLA)-DFC	4-CH-5-SMe-DFC	3-OEt-4-OH-PHO	3-OEt-4-CH-5-SMe-AA	4-CH-5-MA-DFC	3-OEt-4-CH-5-MA-AA	3-OEt-4-OACA-AA	未同定	抽出残渣	揮発性(CO ₂ ほか)	その他	回収率	
動物代謝 ラット	[フェノール]ジエトフェノン、单回経口投与、10 mg/kg (低用量)	0-48時間 尿	ND	F0.1 S19.6 G ^a 5.9	F0.1 S16.9 G2.6	ND	<0.1	<0.1	NA	NA	<0.1	NA	-	-	NA	NA	NA	NA	NA	NA	NA	NA	ND	-	NA	18.0 ^a	83.2		
		0-48時間 糞	1.7	3.7	ND	ND	<0.1	<0.1	NA	NA	<0.1	NA	-	-	NA	NA	NA	NA	NA	NA	NA	NA	ND	4.5	NA	4.9 ^a	14.8		
		0-48時間 尿	ND	F0.1 S27.1 G10.5	F0.1 S14.3 G3.4	ND	<0.1	<0.1	NA	NA	<0.1	NA	-	-	NA	NA	NA	NA	NA	NA	NA	NA	ND	-	NA	16.7 ^a	82.1		
		0-48時間 糞	0.1	3.1	ND	ND	<0.1	<0.1	NA	NA	<0.1	NA	-	-	NA	NA	NA	NA	NA	NA	NA	NA	ND	5.4	NA	7.7 ^a	16.3		
	[フェノール]ジエトフェノン、单回経口投与、300 mg/kg (高用量)	0-48時間 尿	ND	F0.3 S48.7 G6.8	F0.1 S13.6 G2.1	ND	<0.1	<0.1	NA	NA	<0.1	NA	-	-	NA	NA	NA	NA	NA	NA	NA	NA	ND	-	NA	15.3 ^a	86.9		
		0-48時間 糞	0.9	2.4	ND	ND	<0.1	<0.1	NA	NA	<0.1	NA	-	-	NA	NA	NA	NA	NA	NA	NA	NA	ND	3.2	NA	4.6 ^a	11.1		
		0-48時間 尿	ND	F0.7 S41.6 G9.4	F0.1 S9.9 G2.5	ND	<0.1	<0.1	NA	NA	<0.1	NA	-	-	NA	NA	NA	NA	NA	NA	NA	NA	ND	-	NA	17.3 ^a	81.5		
		0-48時間 糞	0.9	3.9	ND	ND	<0.1	<0.1	NA	NA	<0.1	NA	-	-	NA	NA	NA	NA	NA	NA	NA	NA	ND	3.7	NA	6.2 ^a	14.7		
	[フェノール]ジエトフェノン、反復経口投与、10 mg/kg	0-48時間 尿	ND	F0.1 S35.0 G13.1	F0.1 S17.4 G2.4	ND	<0.1	<0.1	NA	NA	<0.1	NA	-	-	NA	NA	NA	NA	NA	NA	NA	NA	ND	-	NA	19.0 ^a	87.1		
		0-48時間 糞	0.3	2.1	ND	ND	<0.1	<0.1	NA	NA	<0.1	NA	-	-	NA	NA	NA	NA	NA	NA	NA	NA	ND	4.2	NA	3.8 ^a	10.4		
		0-48時間 尿	ND	F0.1 S30.0 G15.5	F0.1 S13.2 G2.9	ND	<0.1	<0.1	NA	NA	<0.1	NA	-	-	NA	NA	NA	NA	NA	NA	NA	NA	ND	-	NA	17.5 ^a	79.3		
		0-48時間 糞	0.5	3.8	ND	ND	<0.1	<0.1	NA	NA	<0.1	NA	-	-	NA	NA	NA	NA	NA	NA	NA	NA	ND	6.8	NA	7.4 ^a	18.5		
	[フェノール]ジエトフェノン、单回経口投与、10 mg/kg	0-48時間 尿	ND	S28.6 G12.3	S16.7	NA	NA	NA	NA	NA	NA	-	-	NA	NA	NA	NA	NA	NA	NA	NA	NA	ND	16.1	-	<0.1	3.1	86.6	
		0-48時間 糞	1.0 ^a	3.7	ND	NA	NA	NA	NA	NA	NA	-	-	NA	NA	NA	NA	NA	NA	NA	NA	NA	ND	4.1	4.3	ND	0.3	13.5	
		0-48時間 尿	ND	S37.9 G10.5	S13.5	NA	NA	NA	NA	NA	NA	-	-	NA	NA	NA	NA	NA	NA	NA	NA	NA	ND	16.0	-	NA	5.0	82.9	
		0-48時間 糞	1.5 ^a	3.8	ND	NA	NA	NA	NA	NA	NA	-	-	NA	NA	NA	NA	NA	NA	NA	NA	NA	ND	4.2	5.6	NA	0.3	15.4	
	[(¹⁴ C)ジエトフェノン]、单回経口投与、10 mg/kg	0-48時間 尿	ND	S39.4 G10.6	ND	NA	NA	NA	NA	NA	NA	NA	NA	NA	NA	NA	NA	NA	NA	NA	NA	NA	ND	10.5	-	NA	1.1	61.7	
		0-48時間 糞	0.9 ^a	3.7	ND	NA	NA	NA	NA	NA	NA	NA	NA	NA	NA	NA	NA	NA	NA	NA	NA	NA	ND	3.2	3.4	NA	0.1	11.3	
		0-48時間 呼気	-	-	-	-	-	-	-	-	-	-	-	-	-	-	-	-	-	-	-	-	ND	20.7	-	20.7	-	20.7	
		0-48時間 尿	ND	S38.0 G11.3	ND	NA	NA	NA	NA	NA	NA	NA	NA	NA	NA	NA	NA	NA	NA	NA	NA	NA	ND	9.3	-	NA	0.9	59.5	
		0-48時間 糞	1.3 ^a	4.3	ND	NA	NA	NA	NA	NA	NA	NA	NA	NA	NA	NA	NA	NA	NA	NA	NA	NA	ND	3.7	5.3	NA	0.3	14.6	
		0-48時間 呼気	-	-	-	-	-	-	-	-	-	-	-	-	-	-	-	-	-	-	-	-	ND	19.3	-	19.3	-	19.3	
		0-48時間 尿	ND	F0.5 S3.1 G0.0 S/G ^a 1 S2.1	F0.1 S/G 18.9 ^a	ND	ND	NA	NA	NA	NA	-	-	NA	NA	ND	NA	ND	ND	ND	ND	ND	ND	ND	1.7	2.8	NA	0.8	8.7
		0-48時間 糞	0.3	2.5	ND	0.5	ND	ND	NA	NA	NA	NA	-	-	NA	NA	ND	NA	ND	ND	ND	ND	ND	ND	1.7	2.8	NA	0.8	8.7

表1 代謝分解の概要(続き)

試験	条件	投与または処理終点に対する割合(%)																									
		4-OH-DPC	4-OH-DPC-COOH	3-OEt-4-OH-A	3-OEt-4-OH-IA	DPO	6-NaO-DPC	DPC-CH ₂ OH	3,4-OEt-6-OH-IA	4-OH-5-SMe-TLA-DPC	4-OH-5-SMe-TLA-DRC	4-OH-5-SMe-TLA-DPC	4-OH-5-SMe-TLA-DRC	3-OEt-4-OH-5-SMe-TLA-DPC	3-OEt-4-OH-5-SMe-TLA-DRC	3-OEt-4-OH-5-SMe-TLA-DPC	3-OEt-4-OH-5-SMe-TLA-DRC	3-OEt-4-OH-5-SMe-TLA-DPC	3-OEt-4-OH-5-SMe-TLA-DRC	その他	総回収率						
動物代謝	[7-5-4*]	in vitro 反応液 中生成物	NA	NA	NA	NA	NA	NA	NA	NA	NA	NA	NA	NA	NA	NA	NA	NA	NA	-	-						
動物代謝	[7-5-4-5-DPC 代謝、16時間 反応液、2 mM] 肝臓	[7-5-4- -14C] 果実 ^a * 14日後	76.0 0.9(C*)	1.5(C)	NA	2.0(C)	0.2*	NA	0.2(F) 1.1(C)	NA	NA	NA	NA	NA	NA	NA	NA	NA	NA	4.5*	-	9.0 100					
動物代謝	250 µM ai/ 果実(28 g ai/10 g相当)	[7-5-4- -14C] 果実 ^a * 7日後	35.0 0.7(C)	1.1(C)	NA	1.5(C)	<0.1(F) 0.8(C)	NA	NA	NA	NA	NA	NA	NA	NA	NA	NA	NA	NA	2.2*	2.7	-	6.2 100				
動物代謝	30 日後	[7-5-4- -14C] 植物	18.0 4.0(C)	16.3(C)	NA	0.2(F) 11.4(C)	NA	NA	NA	NA	NA	NA	NA	NA	NA	NA	NA	NA	NA	18.2*	20.3	-	11.3*	100			
動物代謝、1250 µM ai/葉、1回	[7-5-4- -14C] 葉 ^a * 14日後	26.8 1.6(C)	15.3(C)	-	0.2(F) 15.5(C)	0.4*	NA	NA	NA	NA	NA	NA	NA	NA	NA	NA	NA	NA	NA	14.9*	15.1	-	10.0**	100			
動物代謝	90 日後	[7-5-4- -14C] 植物	61.6 ND	3.5(C)	NA	1.0(C)	1.3*	NA	NA	NA	NA	NA	NA	NA	NA	NA	NA	NA	NA	11.5*	12.5	-	8.6 100				
動物代謝	90 日後 全葉 ^a *	[7-5-4- -14C] 植物	71.0 ND	3.3(C)	-	1.1(C)	1.6*	NA	NA	NA	NA	NA	NA	NA	NA	NA	NA	NA	NA	-	9.0*	6.3	-	7.6 100			
動物代謝	35 日後 全葉 ^a *	[7-5-4- -14C] 植物	19.9 (0.564)	0.4 (0.011)	tr ^b 12	NA	NA	ND	NA	NA	NA	NA	NA	NA	NA	NA	NA	NA	NA	NA	22.5 (0.630)	19.4 (0.549)	-	100 (2.831)			
動物代謝	35 日後 全葉 ^a *	[7-5-4- -14C] 植物	23.2 (1.265)	0.9 (0.047)	tr	-	NA	ND	NA	-	NA	NA	NA	NA	NA	NA	NA	NA	NA	NA	14.6 (0.788)	20.7 (0.110)	-	22.7 (1.242)	-	-	100 (5.465)
動物代謝	3 日後 全葉 ^a *	[7-5-4- -14C] 植物	59.0 (0.080)	2.6 (0.003)	-	NA	NA	ND	NA	NA	NA	NA	NA	NA	NA	NA	NA	NA	NA	NA	1.7 (0.003)	2.6 (0.003)	-	8.6 (0.010)	5.2 (0.006)	-	4.5 (0.116)
動物代謝	3 日後 全葉 ^a *	[7-5-4- -14C] 植物	72.9 (0.062)	2.4 (0.002)	-	NA	NA	ND	NA	NA	NA	NA	NA	NA	NA	NA	NA	NA	NA	NA	1.2 (0.011)	1.2 (0.001)	-	11.8 (0.010)	1.2 (0.001)	-	100 (0.085)
動物代謝	7 日後 全葉 ^a *	[7-5-4- -14C] 植物	57.2 (1.158)	0.5 (0.010)	NA	NA	ND	NA	NA	ND	NA	NA	NA	NA	NA	NA	NA	NA	NA	NA	0.9 (0.019)	0.6 (0.013)	-	20.0 (0.405)	5.7 (0.115)	-	5.9 (0.116)
動物代謝	7 日後 全葉 ^a *	[7-5-4- -14C] 植物	32.0 (0.915)	0.3 (0.005)	NA	-	ND	NA	NA	-	ND	NA	NA	NA	NA	NA	NA	NA	NA	NA	1.9 (0.033)	0.6 (0.011)	-	25.6 (0.449)	8.6 (0.151)	-	4.3 (0.077)
動物代謝	7 日後 全葉 ^a *	[7-5-4- -14C] 植物	57.2 (1.158)	0.5 (0.010)	NA	NA	ND	NA	NA	ND	NA	NA	NA	NA	NA	NA	NA	NA	NA	NA	0.9 (0.019)	0.6 (0.013)	-	20.0 (0.405)	5.7 (0.115)	-	5.9 (0.116)
動物代謝	7 日後 全葉 ^a *	[7-5-4- -14C] 植物	32.0 (0.915)	0.3 (0.005)	NA	-	ND	NA	NA	-	ND	NA	NA	NA	NA	NA	NA	NA	NA	NA	1.9 (0.033)	0.6 (0.011)	-	25.6 (0.449)	8.6 (0.151)	-	4.3 (0.077)
動物代謝	7 日後 全葉 ^a *	[7-5-4- -14C] 植物	57.2 (1.158)	0.5 (0.010)	NA	NA	ND	NA	NA	ND	NA	NA	NA	NA	NA	NA	NA	NA	NA	NA	0.9 (0.019)	0.6 (0.013)	-	20.0 (0.405)	5.7 (0.115)	-	5.9 (0.116)

表 1 代謝分解の概要（続き）

試料		投与または処理放射能に対する割合(%)																										
		ジエチレン ガラクトン -1°C	4-OH- DFC	3-OEt- 4-OH- AA	DPC- COOH	3-OH- DFC	DPO	6-NO ₂ - DFC	DFC- CH ₂ OH	3, 4- OEt-6- OH-AA	DEA	IPC	IPA	4-Glc- DPC	4-OH-5- S-TLA- DFC	4-OH-5- (O-Glc- TLA)- DPC	4-OH-5- SMr- DPC	4-OH- PHO	3-OEt- 4-OH-5- SOME-AA	4-OH- 5-MA- DFC	3-OEt- 4-OH-5- 4-OACA- AA	未同定	抽出 残渣	揮発性 (CO ₂ 13 カ)	その他	総回 数		
好気的 条件	牛久土壌、 乾土あたり 0.5 ppm 处理、 25°C、暗所	[ジエチレン ガラクトン -1°C]	7日後	43.4	NA	NA	NA	NA	0.2	NA	NA	NA	NA	NA	NA	NA	NA	NA	NA	NA	NA	1.4	46.8	1.6	1.7	95.1		
		[ジエチレン ガラクトン -1°C]	30日後	7.4	NA	NA	NA	NA	0.1	NA	NA	NA	NA	NA	NA	NA	NA	NA	NA	NA	NA	1.0	69.6	8.7	1.9	88.7		
		[ジエチレン ガラクトン -1°C]	270日後	0.3	NA	NA	NA	NA	<0.1	NA	NA	NA	NA	NA	NA	NA	NA	NA	NA	NA	NA	0.5	66.2	30.7	0.6	98.3		
		[ジエチレン ガラクトン -1°C]	7日後	42.4	NA	NA	NA	NA	<0.1	NA	NA	NA	NA	NA	NA	NA	NA	NA	NA	NA	NA	1.2	32.6	9.3	1.1	86.6		
		[ジエチレン ガラクトン -1°C]	30日後	7.2	NA	NA	NA	NA	<0.1	NA	NA	NA	NA	NA	NA	NA	NA	NA	NA	NA	NA	0.9	43.2	29.1	1.9	82.3		
	安土土壤、 乾土あたり 0.5 ppm 处理、 25°C、暗所	[ジエチレン ガラクトン -1°C]	270日後	0.3	NA	NA	NA	NA	<0.1	NA	NA	NA	NA	NA	NA	NA	NA	NA	NA	NA	NA	0.3	29.3	49.1	0.3	79.3		
		[ジエチレン ガラクトン -1°C]	7日後	0.8	NA	NA	NA	NA	4.2	NA	NA	NA	NA	NA	NA	NA	NA	NA	NA	NA	NA	10.5 ^{**}	60.6	16.1	1.9	94.1		
		[ジエチレン ガラクトン -1°C]	30日後	0.2	NA	NA	NA	NA	3.5	NA	NA	NA	NA	NA	NA	NA	NA	NA	NA	NA	NA	6.8	52.5	26.6	2.4	92.0		
		[ジエチレン ガラクトン -1°C]	270日後	<0.1	NA	NA	NA	NA	2.4	NA	NA	NA	NA	NA	NA	NA	NA	NA	NA	NA	NA	3.3	32.7	58.7	0.9	98.0		
		[ジエチレン ガラクトン -1°C]	7日後	1.0	NA	NA	NA	NA	3.7	NA	NA	NA	NA	NA	NA	NA	NA	NA	NA	NA	NA	11.7 ^{**}	48.2	19.9	2.3	86.8		
土壤中動態	嫌気的 条件	[ジエチレン ガラクトン -1°C]	30日後	0.2	NA	NA	NA	NA	3.1	NA	NA	NA	NA	NA	NA	NA	NA	NA	NA	NA	NA	8.4	48.3	29.0	2.1	91.1		
		[ジエチレン ガラクトン -1°C]	270日後	<0.1	NA	NA	NA	NA	2.9	NA	NA	NA	NA	NA	NA	NA	NA	NA	NA	NA	NA	4.3	28.2	49.4	1.0	85.8		
		[ジエチレン ガラクトン -1°C]	60日後	66.2	NA	NA	NA	NA	ND	NA	NA	NA	NA	NA	NA	NA	NA	NA	NA	NA	NA	0.7	26.4	NA	0.9	96.2		
		[ジエチレン ガラクトン -1°C]	60日後	70.5	NA	NA	NA	NA	ND	NA	NA	NA	NA	NA	NA	NA	NA	NA	NA	NA	NA	0.2	11.5	NA	0.6	82.8		
		[ジエチレン ガラクトン -1°C]	60日後	60.8	NA	NA	NA	NA	ND	NA	NA	NA	NA	NA	NA	NA	NA	NA	NA	NA	NA	2.0	28.6	NA	3.8	95.2		
	牛久土壌、 乾土あたり 0.5 ppm 处理、 27°C、暗所	[ジエチレン ガラクトン -1°C]	60日後	60.0	NA	NA	NA	NA	ND	NA	NA	NA	NA	NA	NA	NA	NA	NA	NA	NA	NA	0.6	12.4	NA	2.7	75.7		
		[ジエチレン ガラクトン -1°C]	pH 3	30日後	98.5	NA	NA	NA	NA	NA	NA	NA	ND	-	-	NA	NA	NA	NA	NA	NA	ND	0.4	NA	0.5	99.4		
		[ジエチレン ガラクトン -1°C]	pH 5	30日後	101.8	NA	NA	NA	NA	NA	NA	NA	ND	-	-	NA	NA	NA	NA	NA	NA	ND	0.2	NA	0.6	102.6		
		[ジエチレン ガラクトン -1°C]	pH 7	30日後	101.7	NA	NA	NA	NA	NA	NA	NA	ND	-	-	NA	NA	NA	NA	NA	NA	ND	1.2	NA	0.7	103.6		
		[ジエチレン ガラクトン -1°C]	pH 9	30日後	108.5	NA	NA	NA	NA	NA	NA	NA	ND	-	-	NA	NA	NA	NA	NA	NA	ND	0.9	NA	2.0	111.4		
加水分解	1 mg/L, 60°C	[ジエチレン ガラクトン -1°C]	pH 11	30日後	50.5	NA	NA	NA	NA	NA	NA	NA	23.8	-	-	NA	NA	NA	NA	NA	NA	ND	10.0	NA	23.9 ^{**}	108.5		
		[ジエチレン ガラクトン -1°C]	pH 3	30日後	104.5	NA	-	NA	NA	NA	NA	NA	-	-	NA	ND	NA	NA	NA	NA	NA	-	ND	0.1	NA	0.9	105.5	
		[ジエチレン ガラクトン -1°C]	pH 5	30日後	100.4	NA	-	NA	NA	NA	NA	NA	-	-	NA	ND	NA	NA	NA	NA	NA	-	ND	0.1	NA	0.8	101.3	
		[ジエチレン ガラクトン -1°C]	pH 7	30日後	106.8	NA	-	NA	NA	NA	NA	NA	-	-	NA	ND	NA	NA	NA	NA	NA	-	ND	0.1	NA	0.8	107.7	
		[ジエチレン ガラクトン -1°C]	pH 9	30日後	101.8	NA	-	NA	NA	NA	NA	NA	-	-	NA	ND	NA	NA	NA	NA	NA	-	ND	0.5	NA	0.8	103.1	
	水中動態	[ジエチレン ガラクトン -1°C]	pH 11	30日後	82.0	NA	-	NA	NA	NA	NA	NA	-	-	NA	ND	NA	NA	NA	NA	NA	-	ND	9.0	NA	0.7	91.7	
		[ジエチレン ガラクトン -1°C]	7日後	93.6	ND	NA	NA	ND	ND	NA	NA	NA	ND	-	-	NA	NA	NA	NA	NA	NA	NA	3.9	-	ND	1.8	99.2	
		[ジエチレン ガラクトン -1°C]	15日後	87.8	ND	NA	NA	ND	ND	NA	NA	NA	ND	-	-	NA	NA	NA	NA	NA	NA	NA	6.5	-	2.1	1.2	97.6	
		[ジエチレン ガラクトン -1°C]	7日後	92.8	ND	-	NA	ND	ND	NA	-	-	ND	ND	NA	NA	NA	NA	NA	NA	NA	-	2.7	-	0.6	2.2	98.3	
		[ジエチレン ガラクトン -1°C]	15日後	88.6	ND	-	NA	ND	ND	NA	-	-	2.3	1.8	NA	NA	NA	NA	NA	NA	NA	-	2.1	-	2.7	1.6	99.2	
水中光分解	純水、試験濃度1 mg/L、セレン光照射	[ジエチレン ガラクトン -1°C]	7日後	58.7	ND	NA	NA	ND	ND	NA	NA	ND	-	-	NA	NA	NA	NA	NA	NA	NA	NA	26.7 ^{**}	-	9.1	1.0	95.5	
		[ジエチレン ガラクトン -1°C]	15日後	44.4	ND	NA	NA	ND	ND	NA	NA	ND	-	-	NA	NA	NA	NA	NA	NA	NA	NA	31.6 ^{**}	-	16.2	1.8	94.0	
		[ジエチレン ガラクトン -1°C]	7日後	60.3	ND	-	NA	ND	ND	NA	-	-	10.0	10.2	NA	NA	NA	NA	NA	NA	NA	-	7.3	-	8.7	(うち IPA 8.5)	1.9	98.3
		[ジエチレン ガラクトン -1°C]	15日後	34.7	ND	-	NA	ND	ND	NA	-	-	16.9	10.0	NA	NA	NA	NA	NA	NA	NA	-	-	13.2 ^{**}	-	1.5	95.7	
		[ジエチレン ガラクトン -1°C]	7日後	60.3	ND	-	NA	ND	ND	NA	-	-	10.0	10.2	NA	NA	NA	NA	NA	NA	NA	-	-	7.3	-	8.7	(うち IPA 8.4)	1.9

本資料に記載された情報に係る権利及び内容の責任は住友化学株式会社にある。

表1 代謝分解の概要（続き）

試料			投与または処理放射能に対する割合(%)																							
分解要因	土壤 表面 に約0.5 µg/g 添加 セシル光照射	[ラジカル - ¹⁴ C]ジメチルオキシナイトリル	4日後	4-OH-DPC	3-OEt-4-OH-AA	DFC-COOH	3-OH-DPC	DPO	6-NO ₂ -DPC	DFC-CH ₂ OH	3,4-OEt-6-OH-AA	DEA	IPC	IPA	4-Glc-DFC	4-OH-5-TLA-DFC	4-OH-5-SMe-4-OH-TLA-DFC	4-OH-5-SMe-4-OH-SOMe-AA	4-OH-5-MA-4-OH-AA	3-OEt-4-OH-5-MA-AA	3-OEt-4-OH-5-OACA-AA	未同定	抽出残渣	揮発性(CO ₂ ほか)	その他	総回収率
			10日後	12.0	0.9	NA	ND	NA	ND	18.0	ND	NA	NA	-	-	NA	NA	NA	NA	NA	NA	NA	NA	NA	NA	

NA: 分析せず、ND: 検出されず、-: 分析対象無あるいは標準位置を含まない代謝物であるため確認できず

#1: F: 遊離体、S: 硫酸抱合体、G: グルクロン酸抱合体、S/C: 硫酸抱合体および/またはグルクロン酸抱合体、C: グルコース抱合体

#2: DFC-COOH グルクロン酸抱合体、DPO, 3-OH-DPC および 3,4-OEt-6-OH-AA を含む (いずれの代謝物も投与量の 0.1%未満)。

#3: 未同定代謝物 (2個) を含む。

#4: 3-OEt-4-OH-AA, DFC-COOH および 3-OEt-4-OH-PHO の合計 (遊離体 0.1%、硫酸抱合体および/またはグルクロン酸抱合体 18.9%)

#5: きゅうり果実中の総残留放射能に対する割合 (%TRR) を示す。

#6: DPO は、分析操作中に DFC-COOH の分子内環化により生成。

#7: TLC 原点に留まる高活性代謝分解物。

#8: きゅうり又はぶどうの処理業と非処理部の合計に対する割合を示す。

#9: 4 個の成分からなり、最大 4.8%TRR。

#10: 4 個の成分からなり、最大 4.5%TRR。

#11: 総残留放射能 (TRR) に対する割合 (%) を示す。括弧内の数値は、ジエトフェンカルブ換算濃度 (ppm) を示す。

#12: 底跡量検出されたことを示す。

#13: 23 個の成分からなり、最大 5.8%TRR (0.163 ppm)。

#14: 23 個の成分からなり、最大 8.2%TRR (0.448 ppm)。

#15: 2 成分 (0.9%TRR, 0.008 ppm, 1.7%TRR, 0.002 ppm) からなる。

#16: HPLC で保持されない複数の高活性代謝分解物の集合体。

#17: 15 個以上の成分からなり、最大 2.5%TRR (0.051 ppm)。

#18: 17 個以上の成分からなり、最大 3.6%TRR (0.063 ppm)。

#19: 6 個の成分からなり、最大 5.3%。

#20: 6 個の成分からなり、最大 5.6%。

#21: 8 個の微量分解物からなる。

#22: 複数成分からなり、最大 4.5%。

#23: 複数成分からなり、最大 7.3%。

#24: 複数成分からなり、最大 6.9%。

#25: 生成速度 [nmol/hr/mg protein] で表示した。

本資料に記載された情報に係る権利及び内容の責任は住友化学株式会社にある。

